

VYSOKÁ ŠKOLA STROJNÍ A TEXTILNÍ V LIBERCI  
nositelka Řádu práce

Fakulta strojní  
Katedra textilních a oděvních strojů

Ing. Le Huu Chien  
NOVÝ ZPŮSOB ODMĚŘOVÁNÍ ÚTKU NA PNEUMATICKÉM  
TKACÍM STROJI  
Kandidátské disertační práce

Vědní obor : 23-03-9 stavba výrobních strojů a  
zařízení stroje-stroje a zařízení  
textilního průmyslu

Školitel : Prof. Ing. Vladimír Prášil, DrSc.  
Vedoucí katedry : Prof. Ing. V. Prášil, DrSc.

UNIVERZITNÍ KNIHOVNA  
TECHNICKÉ UNIVERZITY U LIBERCI



3146088265

Liberec, červen 1989

### P o d ě k o v á n í

Za svoji milou povinnost považuji především poděkovat Prof. Ing. Vladimíru Préšilovi, DrSc., pod jehož vedením jsem tuto práci vypracoval a u něhož jsem vždy nacházel pochopení, příkladnost i pomoc po celou dobu mého studijního pobytu v ČSSR.

Moje poděkování patří rovněž i Ing. Zděnu Vitamvásovi, CSc., který s pochopením a porozuměním mi svými odbornými radami a zkušenostmi pomohl překonat obtížnost a náročnost zpracování kandidátské disertační práce. Dále děkuji i všem ostatním pracovníkům katedry textilních a oděvních strojů fakulty strojní vysoké školy strojní a textilní v Liberci.

Autor

Titulní list	
Poděkování	
OBSAH . . . . .	3
SEZNAM POUŽITÝCH SYMPOLŮ A ZKRATEK . . . . .	5
1. ÚVOD . . . . .	8
2. SOUČASNÝ STAV PROBLEMATIKY . . . . .	10
2.1 Rozbor publikovaných teorií o vzduchovém konfuzo- rovém prohozu útku . . . . .	10
2.11 Charakter prohozního média - volného turbulent- ního proudu vzduchu . . . . .	10
2.111 Charakter rychlostního profilu zaplaveného proudu vzduchu . . . . .	12
2.112 Zékonitost změny osové rychlosti zaplaveného prou- du vzduchu . . . . .	13
2.113 Aproximační zákony o klesání osové rychlosti osově symetrického zaplaveného proudu vzduchu . . . . .	15
2.12 Hlavní charakteristiky dvou technologických vazeb (pro- hozní kanál - prohozní médium, prohozní médium - útek) . . . . .	16
2.121 Charakter proudu vzduchu v konfuzoru . . . . .	16
2.122 Metody pro vyhodnocování konfuzoru . . . . .	17
2.123 Průběh rychlosti proudu vzduchu v konfuzoru . . .	19
2.124 Koeficient čelního aerodynamického odporu útku .	21
2.125 Tahová síla proudu vzduchu působící na útek . . .	29
2.126 Kmitání útku v proudu vzduchu . . . . .	32
2.13 Pohybová rovnice útku . . . . .	33
2.2 Současný stav rozvoje odměřovacího zařízení na pneumatických tkacích strojích . . . . .	35
3. CÍL DISERTAČNÍ PRÁCE . . . . .	38
4. ZVOLENÉ METODY ZPRACOVÁNÍ . . . . .	40
5. ŘEŠENÍ POHYBU ÚTKU PŘI VZDUCHOVÉM PROHOZU S MONO- TRYSKOU A KONFUZOREM . . . . .	41
5.1 Výtokové rychlosti vzduchu z trysky . . . . .	41
5.2 Matematická analýza průběhu rychlosti proudu vzduchu v konfuzoru . . . . .	42
5.3 Sestavení pohybové rovnice útku v konfuzoru . . .	43

5.4	Příklad řešení pohybu útku v konfuzoru . . . . .	45
5.41	Stanovení podmínek a vstupních údajů výpočtu . . . . .	45
5.42	Výpočtené závislosti řešení pohybu útku v konfuzoru . . . . .	47
5.43	Dílčí závěry ke stati 5. . . . .	48
6.	OVĚŘOVÁNÍ NOVÉHO ZPŮSOU ODŘEVOVÁNÍ ÚTKU PRO TKACÍ STROJE PN . . . . .	54
6.1	Princip nového způsobu odřevování útku . . . . .	54
6.2	Popis experimentálního zařízení k reálizaci prohozu útku konfuzorem . . . . .	57
6.3	Konstrukce signálního členu včetně elektronických obvodů k úpravě signálu . . . . .	58
6.4	Konstrukce ovládacího členu včetně elektronických obvodů . . . . .	60
6.41	Experimentální měření doby přítahu elektrodynamického pohonu u nožek čističe příze USTER-TESLA . . . . .	61
6.42	Navrhovaný nový ovládací člen s elektrodynamickým pohonem . . . . .	64
6.5	Výsledky experimentu . . . . .	69
6.51	Ověření funkce samotného prohozního zařízení . . . . .	69
6.511	Měření doby otevření ventilu trysky kyvadlovým zařízením . . . . .	69
6.512	Měření doby průletu čela tlakové vlny vzduchu konfuzorem (bez útku) . . . . .	72
6.513	Prohozená délka útku v závislosti na prohozním tlaku vzduchu ve vzdušníku . . . . .	75
6.514	Výstupní signál signálního členu . . . . .	76
6.52	Ověřování funkce odřevovacího mechanismu . . . . .	77
6.6	Analýza získaných poznatků a konkrétní závěr pro reálizaci . . . . .	91
6.7	Návrh na další postup vývoje . . . . .	91
7.	SHRNUTÍ NOVÝCH POZNATKŮ . . . . .	92
8.	ZÁVĚR . . . . .	94
9.	POUŽITÁ LITERATURA . . . . .	95
10.	SEZNAM PŘÍLOH . . . . .	98

SEZNAM POUŽITÝCH SYMBOLŮ A ZKRATEK

- a - rychlosť zvuku ve vzduchu  $/\text{ms}^{-1}/$   
a - experimentálne stanovený koeficient  $/\text{m}^{-1}/$   
B - magnetická indukcia  $/\text{T}/$   
B - konstanta  $/\text{m}^{-1}/$   
b - experimentálne stanovená konstanta  $/1/$   
b - polotloušťka proudu vzduchu  $/\text{m}/$   
C - experimentálne stanovené konstanta  $/\text{m}/$   
 $C_1$  - experimentálne stanovený koeficient  $/1/$   
 $C_2$  - experimentálne stanovený koeficient  $/1/$   
c - koeficient odporu proti průletu útku médiem  $/\text{kgm}^{-2}/$   
 $c_{vz}$  - koeficient odporu proti pohybu proudu vzduchu konfuzorem  $/\text{kgm}^{-2}/$   
 $c_x$  - koeficient odporu ve směru osy x  $/1/$   
 $c_x$  - koeficient čelního aerodynamického odporu útku  $/1/$   
d - průměr útkové nitě  $/\text{m}/$   
 $E_k$  - kinetické energie útku  $/\text{kgm}^2\text{s}^{-2}/$   
F - tehová síla proudu vzduchu působící na útek  $/\text{N}/$   
F - elektromagnetická síla  $/\text{N}/$   
 $F_a$  - absolutní tahová síla trysky působící na nepohyblivý útek  $/\text{N}/$   
 $F_o$  - odpor odvíječe  $/\text{N}/$   
 $F_{ov}$  - výslednice odporových sil působících proti zanášení útku  $/\text{N}/$   
 $F_k$  - odpor proti průletu útku prohozním médiem  $/\text{N}/$   
 $F_r$  - Tahová síla trysky působící na útek naměřená v místě před vstupem do trysky  $/\text{N}/$   
 $F_x$  - tahová síla v útkové niti  $/\text{N}/$   
 $F_x$  - odporové síla působící ve směru x  $/\text{N}/$   
h - vzdálenost z pólu proudu vzduchu do ústí trysky  $/\text{m}/$   
I - elektrický proud  $/\text{A}/$   
 $I_{tr}$  - impuls proudu vzduchu z trysky  $/\text{kgms}^{-2}/$   
 $i_1$  - entalpie vzduchu v trysce  $/\text{Jkg}^{-1}/$   
 $i_2$  - entalpie vzduchu na výstupu z trysky  $/\text{Jkg}^{-1}/$   
 $k_o$  - koeficient odporu odvíječe  $/\text{kgm}^{-1}/$

L	- indukčnost / H /
L	- délka vodiče v magnetickém poli / m /
l	- délka útku ve proudu vzduchu / m /
$l_0$	- délka počátečního úseku proudu vzduchu / m /
$l_1$	- délka přeletu útku za signální člen / m /
$M_{vst}$	- Machovo číslo pro vstupní průřez útkové trubičky / l /
m	- hmotnost útku / kg /
$m_0$	- hmotnost části útku v trysce / kg /
p	- přetlak / Pa /
$p_a$	- atmosférický tlak / Pa /
$P_{cvst}$	- celkový tlak na vstupním průřezu útkové trubičky / Pa /
$P_{vst}$	- statický tlak na vstupním průřezu útkové trubičky / Pa /
$P_1$	- tlak vzduchu v trysce / Pa /
$P_2$	- tlak vzduchu těsně za tryskou / Pa /
Q	- spotřeba stlačeného vzduchu v atmosférickém podmince za jednotku času / kg s <sup>-1</sup> /
R	- elektrický odpor / Ω /
R	- poloměr krúžnice vepsané vnitřního otvoru konfuzoru / m /
Re	- Reynoldsovo číslo proudění / l /
r	- poloměr ústí trysky / m /
r	- stavové konstanta vzduchu / J kg <sup>-1</sup> deg <sup>-1</sup> /
S	- charakteristická plocha tělesa / m <sup>2</sup> /
T	- absolutní teplota / °K /
$T_1$	- teplota vzduchu v trysce / °K /
$T_2$	- teplota vzduchu těsně za tryskou / °K /
$t_v$	- doba otevření ventilu trysky / s /
$t_{vz}$	- doba průletu tlakové vlny konfuzorem / s /
$t_p$	- doba prohozu útku / s /
U	- elektrické napětí / V /
U	- rychlosť proudu vzduchu v obecném bodě daného průřezu / m s <sup>-1</sup> /
U	- osové rychlosť proudu vzduchu / m s <sup>-1</sup> /
$U_{cc}$	- stejnosměrné elektrické napětí / V /
$U_m$	- maximální rychlosť proudu vzduchu v daném průřezu / m s <sup>-1</sup> /
$U_o$	- max. počáteční rychlosť proudu vzduchu / m s <sup>-1</sup> /

$U_{ok}$	- maximální rychlosť proudu vzduchu na vstupu do konfuzoru / $m s^{-1}$ /
$U_p$	- rychlosť pohybu prostredí / $m s^{-1}$ /
$U_{vst}$	- rychlosť proudu vzduchu na vstupním průřezu útkové trubičky / $m s^{-1}$ /
$U_1$	- rychlosť proudu v trysce / $m s^{-1}$ /
$U_2$	- rychlosť vzduchu na výstupu z trysky / $m s^{-1}$ /
$v$	- rychlosť čela útku / $m s^{-1}$ /
$x$	- odlehlosť od ústí trysky / $m$ /
$x_0$	- dĺžka útku vyčnívajúceho z trysky / $m$ /
$y$	- vzdálosť bodu od osy proudu vzduchu / $m$ /
$\alpha$	- výchylka kyvadla / stupeň /
$\alpha$	- činitel tahu pravidlicího vzduchu na útek / $kg m^{-2}$ /
$\alpha_1$	- experimentálne stanovené konstanta / $m s^{-1}$ /
$\alpha_2$	- experimentálne stanovené konstanta / $m s^{-1}$ /
$\alpha_3$	- experimentálne stanovené konstanta / $m^{1/2} s^{-1/2}$ /
$\beta$	- činitel poklesu rychlosťi proudu vzduchu v konfuzoru / $m^{-1}$ /
$\beta_2$	- experimentálne stanovené konstanta / $m s^{-1}$ /
$\gamma_2$	- experimentálne stanovené konstanta / 1 /
$\eta$	- dynamické väzkość vzduchu / $N s m^{-2}$ /
$\eta$	- účinnosť konfuzoru / 1 /
$\kappa$	- poissonova konstanta vzduchu / 1 /
$\mu$	- měrná délkové hmotnost útkové nitě / $kg m^{-1}$ /
$\lambda$	- kinetická väzkość vzduchu / $m^2 s^{-1}$ /
$\rho_1$	- měrná hmotnost vzduchu / $kg m^{-3}$ /
$\rho_2$	- měrná hmotnost vzduchu v trysce / $kg m^{-3}$ /
$\rho_2$	- měrná hmotnost vzduchu těsně za tryskou / $kg m^{-3}$ /
$I\bar{C}$	- rychlosťní činitel trysky / 1 /
$EM$	- elektromagnet
Konst.-	konstantná veličina (konstanta)
MKO	- monostabilní klopný obvod
OS	- autorské osvědčení
PV	- prihláška vynálezu

## 1. ÚVOD

Dnes se vzduchová tkací technika stala důležitou částí celé tkací techniky. Podle názoru textilních odborníků, že díky podstatnému zvýšení své výkonnosti a hlavně vyšší technologické způsobitosti zůstane vzduchové tkání vedle jehlového rozhodujícím systémem pro období nejbližších dvaceti let.

Se zvyšující se produktivitou současných tkacích strojů a s rostoucími požadavky na kvalitu tkanin dostávají se do předního mimo jiné otázky spolehlivosti a dokonalé činnosti strojů, požadavky nízké energetické náročnosti a vyšší požadavky na kvalitu zpracovávaného materiálu.

Bouřlivý rozvoj neortodoxních tkacích strojů přinaší s sebou i netradiční pohled do konstrukce různých uzel strojů. Prakticky všichni výrobci neortodoxní tkací techniky aplikují na svých strojích elektroniku a mikroprocesory k řízení a kontrole činnosti technologického procesu tkání, sběru technologických a technických dat a k diagnostice tkacího stroje. Využití elektroniky na tkacích strojích může nejen nahrazovat funkce rozumných mechanických částí, ale i vnese do činnosti strojů a obsluhy nové prvky, které ve svých důsledcích zdokonalí činnost tkacích strojů.

S zabezpečováním vysokého výkonu je nutné sledovat i požadavek nízké energetické náročnosti, neboť náklady na energii narůstají se zvětšující se výrobností značně progresivně. V tomto směru je československý systém zanášení útku tryskou a konfuzorem ve skupině vzduchových tkacích strojů energeticky nejvhodnější.

Pro optimalizaci tkacího stroje PN za účelem zvýšení otáček a výkonu stroje má velký význam další prohloubení znalostí, zékonitostí tryskového pneumatického tkání a zejména aplikace elektroniky k ovládání a řízení rozhodujících uzel stroje (zvláště prohozu). Oba problémy v určité míře budou sledovány v disertační práci.

Cílem práce je sestavit na základě dosavadních experimentálních a teoretických výsledků teoretické vztahy popisující pohyb útku, které by mimo informativních hodnot základních

parametrů umožnily stanovit, které z faktorů a jakým způsobem se mají ovlivňovat, aby se docílilo optimálního prohozu jednou tryskou a konfuzorem. Dále je zkoumáno jak teoreticky tak prakticky nové odměřovací zařízení sestávající z identifikace čela útku na doletové straně prošlupu a jeho okamžitého zábrzdění na prohozni straně.

Tento malou prací bych rád přispěl k udržení vedoucí pozice Československa s ohledem na dlouhou dobu a bohatou tradici výroby vzduchových tkacích strojů.

## 2. SOUČASNÝ STAV PROBLEMATIKY

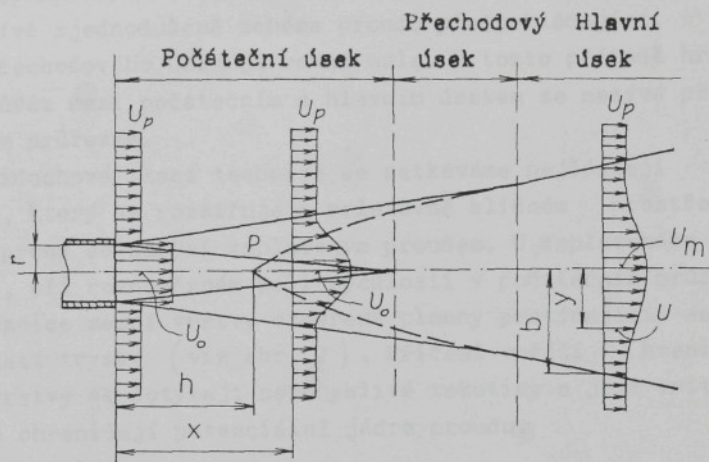
- 2.1 Rozbor publikovaných teorií o vzduchovém konfuzorovém prohozu
- 2.11 Charakterystika prohozního média - volného turbulentního proudu vzduchu

V mnoha případech pohybu tekutiny vznikají tzv. plochy tangenciální přetržitosti. Tečení mezi dvěma takovými plochami se nazývá proudem. Jsou přetržité i různé fyzikální parametry proudu např. rychlosť proudění, teplota, koncentrace příměsi atd., kdežto rozložení statického tlaku se ukazuje spojité.

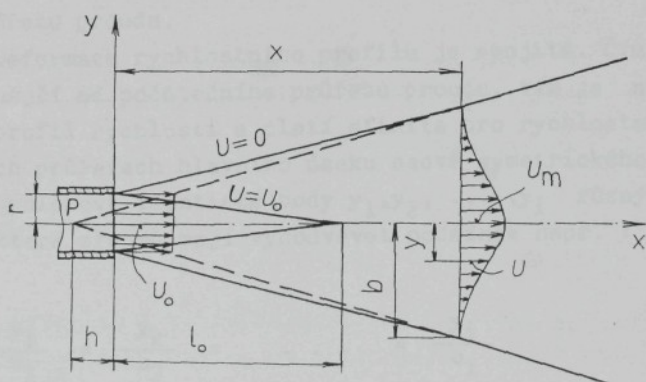
Je známo, že na ploše tangenciální přetržitosti, vzhledem k její nestabilitě vznikají víry, které se neuspořádaně pohybují podél a napříč proudem. Následkem tohoto procesu vzniká výměna hmoty (molekul) tj. příčný přenos hybnosti a tím je na hranici dvou proudů zformována oblast konečné tloušťky se spojitým rozložením rychlosťi, teploty apd.. Tato oblast se nazývá proudovou turbulentní mezní vrstvou. Při velmi malých hodnotách  $Re$  proudová mezní vrstva může být laminální.

Nejjednodušší případ proudové mezní vrstvy je vytvořen prouděním tekutiny s rovnoměrným počátečním polem rychlosťi ( $U_0 = \text{konst.}$ ) v prostředí pohybujícím se rovněž konstantní rychlosťí ( $U_p = \text{konst.}$ ), neboť je v tomto případě tloušťka mezní vrstvy v počátečním průřezu proudu rovná nule. Zesílení tloušťky proudové mezní vrstvy způsobené strhíváním částic obkloupujícího média a zabrzděním vlastních částic přivede jednak ke zvětšení příčného průřezu proudu, jednak k postupnému zmešení potenciálního jádra - oblasti ležící mezi vnitřními hranicemi mezní vrstvy. Principiální schéma proudu je znázorněno na obr. 1.

Část proudu, ve které má proud potenciální jádro se nazývá počátečním úsekem. Jak ukazuje velký počet experimentů, že tlak v potenciálním jádře se nezmění, je proto rychlosť proudu v něm konstantní. V určité vzdálenosti od konce počátečního úseku má proud tvar podobný tečení tekutiny ze zdroje nekonečně malé tloušťky (to je bod v případě osově symetri-



obr. 1 Schéma proudu



obr. 2 Schéma zaplaveného proudu

ckého proudu). Tento úsek se nazývá hlavním úsekem proudu. Mezi hlavním a počátečním úsekem je přechodový úsek. Často se používá zjednodušeně schéma proudu předpokládající, že délka přechodového úsku je rovná nule. V tomto případě hranicí průřez mezi počátečním a hlavním úsekem se nazývá přechodovým průřezem.

Ve vzduchové tkací technice se setkáváme nejčastěji s proudem, který se rozšiřuje v relativně klidném prostředí. Takový proud se nazývá zaplaveným proudem. U zaplaveného proudu, při rovnoramenném poli rychlosti v počátečním průřezu jsou hranice mezní vrstvy otevřené plochy protínající se u hrany ústí trysky (viz obr. 2). Přičemž vnější hranice mezní vrstvy se dotýkají nepohyblivé tekutiny a její vnitřní hranice ohraňují potenciální jádro proudu.

#### 2.111 Charakterystika rychlostního profilu zaplaveného proudu

Jak ukazuje nejen teorie ale i celá řada experimentů, že mají profily rychlosti zaplaveného proudu následující charakteristiky :

1. Příčné složky rychlosti jsou velmi malé (zanedbatelné) ve srovnání s podélnými složkami rychlosti v každém libovolném průřezu proudu.

2. Deformace rychlostního profilu je spojité. Čím je vzdálenější od počátečního průřezu proudu, tím je nižší a širší profil rychlosti a platí afinita pro rychlostní profily ve všech průřezech hlavního úseku osově symetrického proudu.

Pro polohově identické body  $y_1, y_2, \dots, y_i$  různých průřezů, které zřejmě mají vyhovovat podmínce např. :

$$\frac{y_1}{b_1} = \frac{y_2}{b_2} = \dots = \frac{y_i}{b_i} \quad (1)$$

kde  $y_1, y_2, \dots, y_i$  - příčné souřadnice identických bodů příslušných různým průřezům ( $1, 2, \dots, i$ ) proudu,  
 $b_1, b_2, \dots, b_i$  - polotloušťky proudu v příslušném  $i$ -tém průřezu,

platí rovnost velikostí příslušných bezrozměrných rychlostí proudu :

$$\frac{U_1}{U_{1m}} = \frac{U_2}{U_{2m}} = \dots = \frac{U_i}{U_{im}} \quad (2)$$

kde  $U_1, U_2, \dots, U_i$  - rychlosti proudu v příslušných polohově identických bodech,

$U_{1m}, U_{2m}, \dots, U_{im}$  - rychlosti ve středu proudu příslušných průřezů proudu.

Rovnice (1) a (2) ukazují to, že v bezrozměrném souřadničním systému se rychlostní profily všech průřezů proudu zobrazí jedinou křivkou, tzv. univerzální křivkou a pro ni lze napsat obecnou rovnici :

$$\frac{U}{U_m} = f\left(\frac{y}{b}\right) \quad (3)$$

Se zřetelem k platnosti lineárního zékona pro zesílení tloušťky proudu :

$$b = \text{konst. } x \quad (4)$$

kde  $x$  - podélná souřadnice průřezu proudu

$b$  - polotloušťka proudu v příslušném průřezu,

lze převést vztah 3 na následující tvar :

$$\frac{U}{U_m} = f\left(\frac{y}{x}\right) . \quad (5)$$

Tím je dokazáno i to, že bezrozměrné rychlostní izochory ( $U/U_m$ ) jsou polopřímkami, které se protínají v jednom bodě a ten bod se nazývá pólem proudu.

2.112 Zákonitost změny osové rychlosti zaplaveného proudu vzdachu

Statický tlak v proudu, jak ukazují experimenty prakticky se nezmění a je rovný tlaku obkloupujícího prostředí. Díky tomu je celková hybnost sekundové hmoty vzduchu ve všech průřezech proudu konstantní.

$$\int_0^m U dm = \int_0^S \rho U^2 dS = \text{konst.} \quad (6)$$

kde  $U$  - rychlosť proudu

$dm$  - element hmoty vzduchu protékajícího elementem

průřezu proudu za jednotku času

$dS$  - element plochy průřezu.

Pro případ proudu kruhového průřezu (osově symetrického) podmínu konstantnosti hybnosti je možno napisat v následujícím tvaru :

$$U_m^2 x^2 \int_0^{b/x} \left( \frac{U}{U_m} \right)^2 \frac{y}{x} \frac{dy}{x} = \text{konst.} \quad (7)$$

kde  $U_m$  - rychlosť proudu ve středu průřezu

$U$  - rychlosť proudu v obecném bodě  $[x,y]$

$x$  - vzdálenost daného průřezu od pólu proudu

$y$  - příčné souřadnice uvažovaného bodu v daném průřezu proudu

$b$  - polotloušťka proudu v daném průřezu proudu.

Vzhledem k univerzálnosti rychlostních profilů proudu je bezrozměrná rychlosť  $(U/U_m)$  pouze funkcí bezrozměrného argumentu  $(y/x)$  (viz vztah (5)) a z rovnice (4) plytne  $b/x = \text{konst.}$ , bude integrál z rovnice 7 rovný rovněž konstantě .

$$\int_0^{b/x} \left( \frac{U}{U_m} \right)^2 \frac{y}{x} \frac{dy}{x} = \text{konst.} \quad (8)$$

Použitím vztahu (8) k vyloučení integrálu ze vztahu (7) a po úpravě dostaneme

$$U_m = \frac{\text{konst.}}{x} . \quad (9)$$

Je tedy osová rychlosť osově symetrického zaplaveného proudu nepřímoúmerná vzdálenosti od pólu proudu.

2.113 Aproximační zákony o klesání osové rychlosti osově symetrického zaplaveného proudu vzduchu

Mezi četnými approximacemi zákona o klesání osové rychlosti osově symetrického zaplaveného proudu (dále proudu vzduchu) je v sovětské literatuře nejrozšířenější rovnice ABRAMOVICHE [1]

$$U_m = U_o \frac{0,96}{\frac{ax}{r} + 0,29} \quad (10)$$

kde  $U_m$  - osova rychlosť proudu vzduchu

$U_o$  - počáteční rychlosť proudu

$x$  - vzdálenost odečtena z ústí trysky

$r$  - poloměr trysky

$a$  - experimentálně stanovený koeficient

(pro válcovou trubku  $a = 0,07 \div 0,08$ ) .

Přitom délka počátečního úseku (délka potenciálního jádra) proudu je

$$l_o = 0,67 \frac{r}{a} \quad (11)$$

a vzdálenost z pólu proudu do ústí trysky (viz obr. 2) je

$$h = 0,29 \frac{r}{a} . \quad (12)$$

Při analýze proudu vzduchu v prošlupu tkacích strojů , DUXBURY [5] uvažuje rozložení rychlosti proudu vzduchu takové, že hladina konstantní rychlosti se začíná v určité poloze uvnitř trysky a končí po osmi průměrech ústí trysky ve směru proudu. Po této vzdálenosti předpokládá exponenciální pokles rychlosti podle následujícího vztahu :

$$U_m = U_o e^{-\frac{x}{C}} \quad (13)$$

kde  $U_m$  - osová rychlosť proudu vzduchu

$U_o$  - počáteční rychlosť proudu

$x$  - vzdálenosť odečtena z konca počátečního úseku proudu

$C$  - experimentálně stanovená konstanta.

Vztahy (10, 13) děvají určitý charakter (hyperbolický nebo exponenciální) změny osové rychlosti proudu vzduchu. experimentální metodou zjistili zmínění autoři hodnoty konstant (a nebo  $C$ ), stanovili dokonce matematický popis celého průběhu, což umožňuje další teoretické vyšetření celého procesu průhodu útku prudem vzduchu. Chybí jim však zahrnutí do těchto zákonů vlivu důležité součásti moderního pneumatického průhodního ústrojí - vzduchového kanálu.

#### 2.12 Hlavní charakteristiky dvou technologických vazeb (prohozní kanál - prohozní médium a prohozní médium - útek )

#### 2.121 Charakteristiky proudu vzduchu v konfuzoru

Vnitřní vzduchový kanál - konfuzor na vzduchovém tkacím stroji je vytvořen řadou lamel, které se po dobu průhodu zasunou do osnovy. Otvory v jednotlivých lamelách konfuzoru ve směru průchodu proudu vzduchu se kuželovitě zužují . Pomocí konfuzorů se udrží soustředný proud vzduchu na značné vzdálenosti.

Proud vzduchu v konfuzoru pneumatického tkacího stroje je vlastně kombinací dvou druhů proudění : volného proudění a

proudění omezeného pevnými stěnami kanálu. Experimentální měření různých autorů např. PILIPENKO [23] potvrzují následující charakteristiky proudu vzduchu v konfuzoru :

1. Statický tlak v proudu vzduchu v konfuzoru se prakticky neliší od atmosférického tlaku. To znamená, že pohyb vzduchu v konfuzoru se děje pouze setrválostí díky počátečnímu impulu. Stejně jako u volného proudu dochází zde k turbulentnímu míšení s obkloupujícím vzduchem prostřednictvím mezer a podélné štěrbiny konfuzoru a tím dochází též k předání části pohybové energie obkloupujícímu vzduchu. Ovšem ztráta počátečního impulsu není v tom případě tak velká jako u volného proudu.

2. Rozbor experimentálních křivek ukazuje, že platí i pro případ proudu vzduchu v konfuzoru známé univerzálnost rychlostních profilů. To znamená, že zákon o klesání rychlosti proudu vzduchu v konfuzoru je též nezávislý na počáteční rychlosti proudu stejně jako u volného proudu vzduchu.

## 2.122 Metody pro vyhodnocování konfuzoru

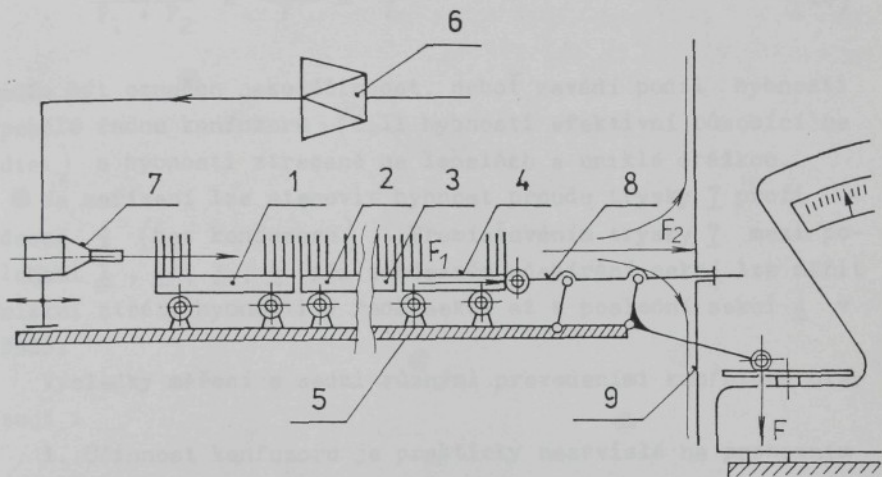
Vyhodnocení ztrát pohybové energie proudu vzduchu v konfuzoru je možno provést např. měřením rychlostních profilů, event. dynamických tlaků proudu vystupujícího z konfuzoru. Rozložení ztrát podél konfuzoru vyžaduje velice pracné měření, spojené s následnou integrací rychlostních profilů, je nutno provádět v několika osových rovinách.

HRUŠ [8] navrhuje měřicí metodu založenou na současném měření ztrát hybnosti projevující se silovými účinky proudícího vzduchu působícími na konfuzor a silovými účinky proudu vystupujícího z konfuzoru.

Princip měření tak rozděluje celkový impuls na :

1. Efektivní, působící na útek
2. Ztracený, působící na konfuzor ve směru prohozu, rovný ztrátě hybnosti.

Vzájemný vztah těchto hodnot se zavádí jako účinnost konfuzoru.



obr. 3 Schéma měřicího zařízení pro měření hybnosti proudu vzduchu v konfuzoru podle HRUŠE

Měření se provádí na zařízení, jež je znázorněno na obr.3. Jednotlivé sekce konfuzoru 1, 2, 3, 4 jsou uloženy ve valivé dráze 2. Na jednom konci měřidla je umístěna tryska 7. Na druhém konci měřidla je umístěn čtyřkloubový přímo-vodný mechanismus 8. Při otevření trysky profukuje vzduch (o tlaku seředitelném redukčním ventilem 6 na zvolenou hodnotu), řadou sekcí konfuzoru. Ztráta hybnosti se projeví silou  $F_1$ , působící na těhlici mechanismu v její ose. Efektivní část proudu prochází konfuzorem a hybnost vystupujícího se projevuje silou  $F_2$ , působící po dopadu proudu na rovinou kruhovou desku 9 umístěnou na těhlici mechanismu 8.

Výsledná síla  $F = F_1 + F_2$  jež je velice blízké impulsu proudu vystupujícímu z trysky se přes úhlovou páku 1:2 přenáší na véhy, jež ukažují měřený údaj jako sílu. Zabrzděním poslední ze sekcí konfuzoru se eliminuje síla  $F_1$  (ztráta), síla  $F_2$  však dále působí na desku. Poměr :

$$\frac{F_2}{F_1 + F_2} = \frac{F_2}{F} = \gamma \quad (14)$$

může být označen jako účinnost, neboť zavádí podíl hybnosti prošlé řadou konfuzoru (čili hybnosti efektivní působící na útek) a hybnosti ztracené na lamelách a uniklé dréžkou.

Na zařízení lze stanovit hybnost proudu trysky  $\gamma$  proti desce  $\varrho$  (bez konfuzoru). Přemístováním trysky  $\gamma$  mezi polohami  $1, 2, 3, 4$  při současném odebírání sekcí lze měřit místní ztráty hybnosti v řadě sekcí až k poslední sekci  $4$  v řadě.

Výsledky měření s sedmi různými provedeními konfuzoru ukazují :

1. Účinnost konfuzoru je prakticky nezávislá na prohozním tlaku.

2. Účinnost konfuzoru, jež je funkcí provedení se mění pouze s délkou. S klesající délkou  $x \rightarrow 0$  se poměr  $F_2 / (F_1 + F_2) \rightarrow 1$ . Průběh závislosti  $\gamma^{1/2} = f(x)$  je blízký linearitě a lze ho v prvém přibližení nahradit funkcí

$$\gamma^{\frac{1}{2}} = ax + b . \quad (15)$$

Pro  $x = 0$  je  $\gamma^{1/2} = 1 = b$  a hledaný koeficient je roven

$$a = \frac{\gamma^{1/2} - 1}{x} . \quad (16)$$

## 2.123 Průběh rychlosti proudu vzduchu v konfuzoru

Na základě známého impulsu můžeme stanovit maximální výtokovou rychlosť z trysky a její další průběh v konfuzoru (viz obr. 4).

Je ovšem třeba předpokládat, že rychlostní profil blízký obdélníkovému, že po vstupu do konfuzoru je brzo vyvinut a během postupu v konfuzoru se zachovává (vzhledem k vysokému číslu Re v trysce i konfuzoru je předpoklad blízký skutečnosti).

Impuls proudu z trysky je možno vyjádřit :

$$I_{tr} = 2\pi \rho \int_0^r r U_o^2 dr = \pi \rho r^2 U_o^2 \quad (17)$$

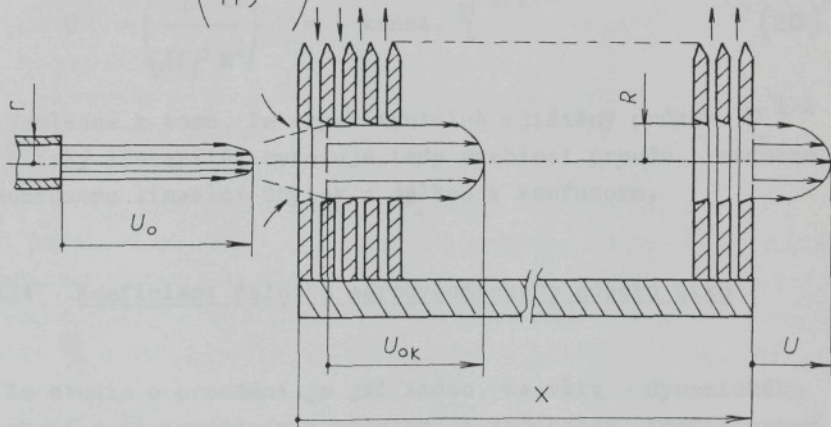
kde  $r$  - poloměr ústí trysky

$U_o$  - výtoková rychlosť proudu vzduchu z trysky

$\rho$  - měrná hmotnost vzduchu.

Z výrazu (17) plytne výtoková rychlosť

$$U_o = \left( \frac{I_{tr}}{\pi \rho r^2} \right)^{1/2} \quad (18)$$



obr. 4 Schematické znázornění rychlosťí proudu vzduchu v konfuzoru

Ze shodnosti impulsu mezi tryskou a konfuzorem platí na vstupu do konfuzoru :

$$\begin{aligned} I_{tr} &= \pi \rho R^2 U_{ok}^2, \quad z \text{ toho} \\ U_{ok} &= \left( \frac{I_{tr}}{\pi \rho R^2} \right)^{1/2} \end{aligned} \quad (19)$$

kde  $U_{ok}$  - rychlosť proudu vzduchu na vstupu do konfuzoru  
 $R$  - polomer kružnice vepsane otvoru konfuzoru.

Další prubeh rychlosťi proudu vzduchu v konfuzoru se určí v zavislosti na  $\eta$  z výrazu (14)

$$\eta = \frac{I_{ef}}{I_{tr}} = \frac{\pi \rho R^2 U^2}{I_{tr}}, \quad z \text{ toho}$$

$$U = \left( \frac{\eta I_{tr}}{\pi \rho R^2} \right)^{1/2} = \text{konst. } \eta^{1/2} \quad (20)$$

Vzhledem k tomu, že experimentálne zjištenej prubeh  $\eta^{1/2}$  je blízky linearite, vykazuje tedy rychlosť proudu vzduchu v konfuzoru lineárni úbytek s délkou  $x$  konfuzoru.

## 2.124 Koeficient čelného aerodynamického odporu útku

Ze studia o proudení je již známo, že vliv dynamického pôsobenia mezi proudením a tlesem je zhodnocen koeficientom odporu, ktorý je vyjedren vzťahem (21), tj. pomereom odporové sily a součinu rychlosního náporu a charakteristické plochy tlesa

$$C_x = \frac{F_x}{\frac{1}{2} \rho U^2 S} \quad (21)$$

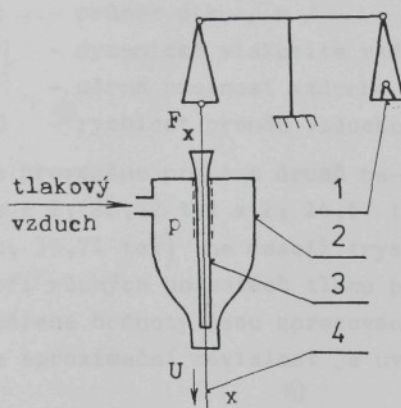
- kde       $C_x$  - koeficient odporu ve směru osy  $x$  [ 1 ]  
 $F_x$  - odporové síla působící ve směru osy  $x$  [ N ]  
 $\frac{1}{2} \rho U^2$  - rychlostní nápor [ kg m<sup>-1</sup> s<sup>-2</sup> ]  
 $U$  - rychlosť proudění [ m s<sup>-1</sup> ]  
 $\rho$  - měrná hmotnost tekutiny [ kg m<sup>-3</sup> ]  
 $S$  - charakteristická plocha tělesa [ m<sup>2</sup> ]

Při obtékání útku proudem vzduchu, koeficient čelního odporu  $C_x$  je závislý nejen na čísle Re (tj. na proudicím režimu) ale také na geometrickém tvaru povrchu útku. Při zkouškách prováděných v ústavu pro konstrukci textilních strojů při vysoké škole technické v Curychu [14] bylo zjištěno, že mezi účinky proudu na různé povrhy útku jsou velmi značné rozdíly. Útek z vláken určitého průměru se z toho hlediska chovají daleko lépe, jsou-li chlupaté než útek z jemných hladkých filamentů. V případě tvarovaných nití umožnuje jejich otevřená struktura vyšší účinek proudu vzduchu na útek. Velký vliv na koeficient  $C_x$  má teké průměr nitě. Čím je menší průměr nitě daného druhu, tím je větší hodnota koeficientu  $C_x$  při stejných hodnotách rychlosti  $U$ .

Stanovením závislosti  $C_x(U)$  pro různé materiály se zabývala celá řada autorů, např. POPOV a kolektiv [25 + 28], ANDERSON [3], SELWOOD [31], UNO [17] atd.

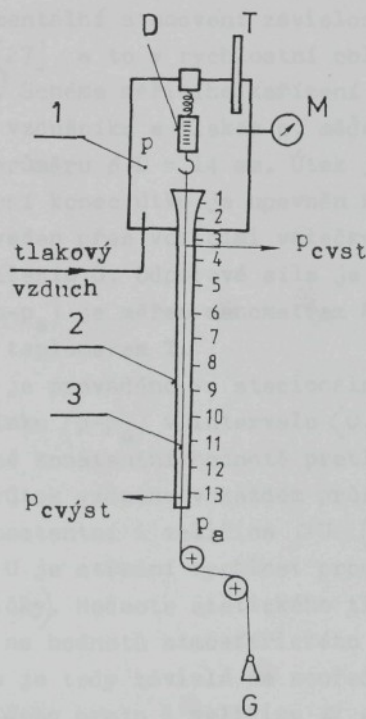
V práci [25] jsou uváděny výsledky měření odporové síly při podélném obtékání útku proudem vzduchu v útkové zkušební trubičce vnitřního průměru  $\phi 1,8$  mm. Délka útku v proudu vzduchu  $l = 120$  mm (Vzdálenost od vstupu do útkové trubičky po dolní konec útku ve volném proudu vzduchu). Schéma měřicího zařízení je znázorněno na obr. 5. Na speciální trysce s možností změny polohy útkové trubičky ve vertikálním směru se autorovi citované práce podařilo měřit odporovou sílu  $F_x$  při různých hodnotách rychlosti proudu vzduchu v intervalu  $\langle 120 + 400 \rangle$  metrů za sekundu. Výsledný vztah je popsán ve tvaru :

$$F_x = C_1 d \gamma U + C_2 0,5 \rho U^2 d^2 \quad (22)$$



obr. 5

- 1 - váha
- 2 - tryska
- 3 - útková trubička
- 4 - útek



obr. 6

- 1 - vzdušník
- 2 - útková trubička
- 3 - útek

- kde  $C_1$ ,  $C_2$  - bezrozměrové koeficienty / 1 /  
 $d$  - průměr útku / m /  
 $\gamma$  - dynamická viskozita vzduchu / N s m<sup>-2</sup> /  
 $\rho$  - měrná hmotnost vzduchu / kg m<sup>-3</sup> /  
 $U$  - rychlosť proudu vzduchu / m s<sup>-1</sup> /

Měření je prováděno pro osm druhů ba-nitě (15,38 tex x 2; 20,83 tex x 2; 22,22 tex x 2; 16,67 tex; 25 tex; 29,41 tex; 33,33 tex; 35,71 tex) na deseti tryskách různého vnitřního průměru při různých hodnotách tlaku p v intervalu <0,05÷0,2> MPa. Naměřené hodnoty jsou zpracovány metodou nejmenších čtverců a approximační závislost je uvedena následující :

$$F_x = 3,66 \cdot 10^{-3} U + 2,27 \cdot 10^{-5} U^2 \quad (23)$$

Experimentální stanovení závislosti  $C_x$  též popisuje POPOV v práci [27] a to v rychlostní oblasti <40 ÷ 300> metrů za sekundu. Schéma měřicího zařízení je na obr. 6. Zařízení se skládá ze vzdušníku s tlakem p, měřené trubičky délky l = 2420 mm, průměru ø D = 14 mm. Útek je uložen podél osy trubičky. Horní konec útku je upevněn k dynamometru D, dolní konec je veden přes vodicími válečky a připojen k misce s malým zatížením G. Odporová síla je měřena dynamometrem D. Přetlak ( $p-p_a$ ) je měřen manometrem M. Teplota ve vzdušníku je měřena teplomerem T.

Měření je prováděno ve stacionální podmince pro různé hodnoty přetlaku ( $p-p_a$ ) v intervalu <0,005 ÷ 0,16> MPa.

Při dané konstantní hodnotě přetlaku je podle rovnice kontinuity průtok vzduchu v každém průřezu trubičky konstantní, čímž je konstantní i veličina  $\rho U$  (kde  $\rho$  je měrná hmotnost vzduchu a U je střední rychlosť proudu vzduchu v daném průřezu trubičky). Hodnota statického tlaku postupně klesá z hodnoty p na hodnotu atmosférického tlaku  $p_a$ . Výška statického tlaku je tedy závislá na souřadnici x podél osy útkové trubičky. Jsou proto i veličiny  $\rho$  a U závislé také na souřadnici x ( $p(x)$ ,  $\rho(x)$ ,  $U(x)$ ).

Proudění je v tomto případě považováno za izotermické.

Je to vysvětlováno tím, že klesání tlaku a měrné hmotnosti vzduchu podél trubičky sice způsobuje ochlazení, ale to je kompenzováno ohřátím následkem tření vzduchového proudu o stěnu útkové trubičky a její dobrou tepelnou vodivostí.

Statické tlaky  $P(x)$  jsou měřeny soustavou U-tvarových lichových manometrů prostřednictvím 13 malých otvorů vhodně uspořádaných na stěnách vzdušníku a útkové trubičky (viz obr.6). Kromě toho, prostřednictvím otvoru 3, trubičkou Pitotovou se měří celkový tlak na vstupním průřezu válcové části útkové trubičky  $P_{cvst}$ .

Rychlosť proudu vzduchu na vstupním průřezu je určen pomocí čísla Macha pro vstupní průřez, a to podle následujících vztahů :

$$U_{vst} = M_{vst} \cdot a \quad (24)$$

$$M_{vst} = \sqrt{\frac{2}{\mathcal{H}-1} \left[ \left( \frac{P_{cvst}}{P_{vst}} \right)^{\frac{\mathcal{H}-1}{\mathcal{H}}} - 1 \right]} \quad (25)$$

kde  $a = \sqrt{\mathcal{H} r T}$  - rychlosť zvuku ve vzduchu  $(26)$

$U_{vst}$  - rychlosť proudu vzduchu na vstupním průřezu

$M_{vst}$  - Machovo číslo pro vstupní průřez

$\mathcal{H} = 1,402$  - Poissonova konstanta vzduchu

$r = 287 \text{ J} \cdot \text{kg}^{-1} \text{deg}^{-1}$  - plynové konstanta

$T$  - absolutní teplota  $[^{\circ}\text{K}]$

$P_{cvst}$  - celkový tlak na vstupním průřezu

$P_{vst}$  - statický tlak na vstupním průřezu.

Ze známé naměřené hodnoty  $p(x)$  se může vypočítat  $\rho(x)$  podle stavové rovnice a to :

$$\rho(x) = \frac{p(x)}{r T} \quad (27)$$

Dále z podmínky konstantního průtoku na každém průřezu útkové trubičky ( $\rho U = \text{konst.}$ ) se může určit příslušné hodnoty  $U(x)$  z vypočítané hodnoty  $\rho(x)$  podle vztahu :

$$U(x) = \frac{\text{konst.}}{\rho(x)} . \quad (28)$$

Elementální odporová síla proudu vzduchu působící na útek průměru  $\varnothing d$  a délky  $dx$  je

$$dF_x = C_x(x) \cdot 0,5 \rho(x) U^2(x) d \cdot dx \cdot \pi , \quad (29)$$

a celková odporová síla naměřená dynamometrem D je

$$F_x = 0,5 \pi d \rho U \int_0^l C_x(x) U(x) dx . \quad (30)$$

Ve vztahu (30) jsou známé funkce  $F_x(x)$ ,  $\rho(x)$ ,  $U(x)$ , kdežto  $C_x(x)$  je neznámá funkce, která má být určena. Řešení tedy vede na integrální rovnici I. druhu.

Rovnici (30) je možno řešit podle autora citované práce třemi způsoby a jeden z nich je následující :

Řešení spočívá na tom, že převedl rovnici (30) v soustavu algebraických rovnic následujícím způsobem. Interval  $(0, l)$  je rozdělen na  $n$  malých intervalů (v případě na obr. 6 je  $n = 13$ ) a v každém z nich je  $C_x$  považován za konstantní. Příslušné hodnoty  $\rho_i$ ,  $U_i$ ,  $F_{xi}$  ( $i = 1, 2, \dots, n$ ) jsou určeny experimentálně. Přitom  $F_{xi}$  je měřena při různých délkách útku v proudu vzduchu za daného řežimu proudění  $(p - p_a)$ . Měřením bylo zjištěno, že  $F_x$  téměř lineárně stoupá s délkou útku v útkové trubičce. Výsledná soustava algebraických rovnic je ve tvaru :

$$C_{xi} = \frac{2 F_{xi}}{\rho_i U_i^2 d \prod l_i} \quad (31)$$

kde  $i = 1, 2, \dots, n$ .

POPOV a kolektiv uskutečnili také zvláštní měření pro oblast malé rychlosti proudu vzduchu ( $3 \div 50$ ) metrů za sekundu. Jejich výsledky jsou uváděny v příci [26]. Měření je prováděno pro ba-nitě různých hrubostí (35,71 tex ; 29,41 tex ; 22,22 tex ; 20,83 tex x 2 ; 16,67 tex). Naměřené hodnoty jsou zpracovány metodou nejmenších čtverců a approximační křivka je následující :

$$C_x = \frac{0,669}{U + 3} + 0,021 , \quad (32)$$

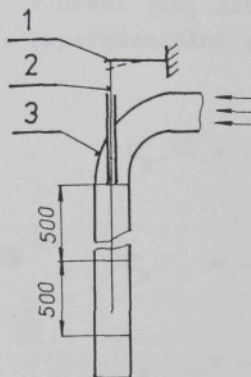
má tedy závislost  $C_x(U)$  hyperbolický tvar.

Koefficient odporu útku v oblasti malé rychlosti proudu vzduchu je zkoumán také jinými autory, např. UNO [17]. Autor prováděl měření pro PAN-nitě hrubosti 19,23 tex x 2 zavřené vertikálně ve zvláštní měřicí trubičce znázorněné na obr. 7. Po zpracování naměřených hodnot uvedl autor experimentální vztah pro výpočet koeficientu  $C_x$  v oblasti rychlosti  $U \leq 20$  metrů za sekundu

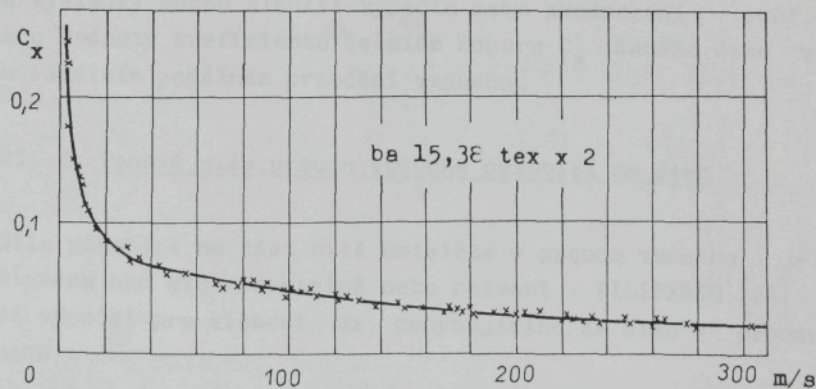
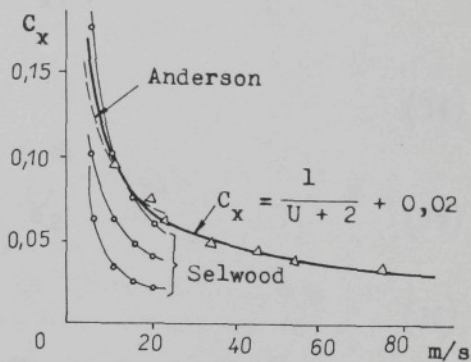
$$C_x = \frac{1}{U + 2} + 0,02 . \quad (33)$$

Závislost (33) je znázorněna na obr. 8 společně se zkoumanými výsledky autorů ANDERSON [3], SELWOOD [31]. Oba prováděli své měření pro monofilové nitě.

Na obr. 9 je typická závislost  $C_x(U)$  pro ba-nit 15,38 tex x 2 získané z řešení rovnice (30) s doplněním výpočtu  $C_x$  podle (32) pro oblast malé rychlosti proudu vzduchu. Z obrázku je jasně vidět, že v oblasti malé rychlosti  $U$ , hodnoty  $C_x$  se mění značně a při velkých hodnotách rychlosti  $U$  se  $C_x$  mění málo. V oblasti zvláště velkých hodnot rychlosti  $U$  je závislost  $C_x(U)$  možné approximována přímkou.



obr. 7 Měřicí trubička  
podle UNO  
1 - snímací nosník  
2 - útek  
3 - zkušební trubička



obr. 9 Závislost koeficientu čelního odporu  $ba$  - útku  
15,38 tex x 2 na rychlosti proudu vzduchu podle  
POPOVA

V práci [28] jsou uvedeny různé formy analytické approximace experimentální závislosti  $C_x(U)$ :

$$C_x = \frac{\alpha_1}{U} , \quad (34)$$

$$C_x = \frac{\alpha_2}{U + \beta_2} + \gamma_2 , \quad (35)$$

$$C_x = \frac{\alpha_3}{\sqrt{U}} , \quad (36)$$

kde  $\alpha, \beta, \gamma$  jsou konstanty s příslušnými rozměry a jsou určeny experimentálně pro daný rozsah rychlosti proudu vzduchu.

Vzhledem k tomu, že nejsou zatím k dispozici ani tabulka ani vzorce podle kterých by bylo možno stanovit  $C_x$  pro jednotlivé materiály, je proto nutno před vlastním výpočtem síly  $F_x$  experimentálně určit koeficient  $C_x$ . Autoři výše uvedených prací [25 ÷ 28], [3], [31] stanovili závislost  $C_x(U)$  na základě experimentů pro různé druhy útku ve velkém intervalu rychlosti proudu vzduchu od 3 do 300 metrů za sekundu. Získané výsledky mohou sloužit výpočtu nebo zhodnocení popř. odhadu hodnoty koeficientu čelního odporu  $C_x$  daného útku v stacionálním podélném proudění vzduchu.

#### 2.125 Tahová síla proudu vzduchu působící na útek

Síla působící na část nitě umístěnou v proudu vzduchu je zjištována buď experimentálně nebo početně. PILIPENKO [21] uvádí výpočet pro element  $dx$  pohybujícího se útku v proudu vzduchu:

$$dF = \frac{1}{2} \rho \Pi d C_x(x) [U(x) - v(x)]^2 dx \quad (37)$$

Tahová síla proudu vzduchu je dána integrálem dílčích sil podle obtékané délky útku l

$$F = \frac{1}{2} \rho \Pi d \int_0^l c_x(x) [U(x) - v(x)]^2 dx \quad (38)$$

kde  $c_x(x)$  - koeficient čelního odporu útku  $[1]$

$\rho$  - měrná hmotnost vzduchu  $[kg\ m^{-3}]$

$l$  - délka útku v proudu vzduchu  $[m]$

$d$  - aerodynamický průměr útkové nitě  $[m]$

$[U(x) - v(x)]$  - relativní rychlosť mezi proudem vzduchu a útkem  $[m\ s^{-1}]$

Proud vzduchu vytvořený tryskou tkacího stroje má v některém případě velmi složitou strukturu. vytvoří se v něm prstencový točený proud. Na struktuře proudu závisí nejen jeho osové rychlosť ale i charakter dynamického působení mezi proudem vzduchu a útkem. To se projevuje především ve tvaru a intenzitě kmitání útku. Ohebná útková nit zanášena turbulentním proudem vzduchu po celou dobu kmitá. Kmitání útku, jak ukázalo pozorování, má zcela národný charakter. Tahová síla proudu vzduchu působící na útek je závislá tedy podstatně na tvaru a intenzitě jeho kmitání v proudu vzduchu.

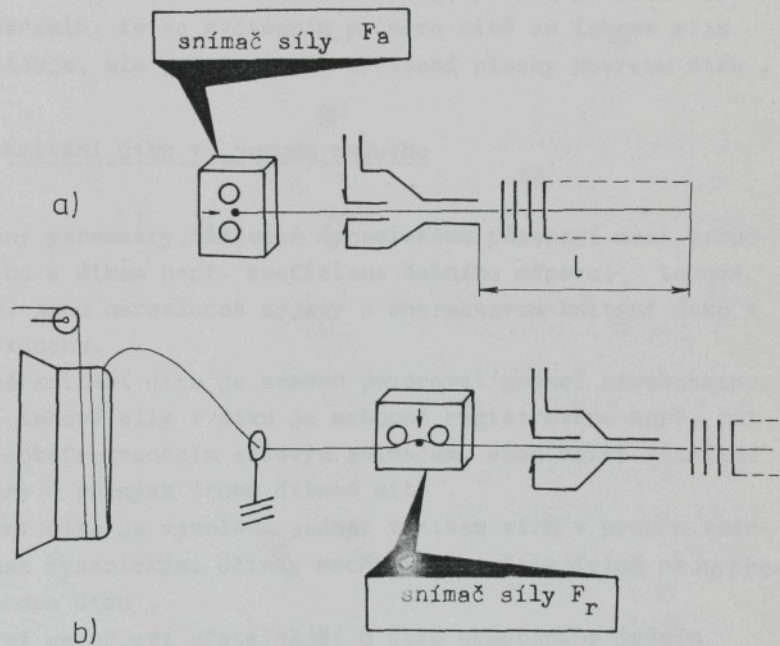
Při experimentálním měření odporové síly působící na těleso v proudění se obvykle předpokládají ekvivalentnost podmínek obtékání dvou následujících případů :

1. Obtékání tělesa stacionálním proudem s rychlosťí U

2. Těleso se rovnoměrně pohybuje v proudu s toutéž rychlosťí. Ale to přesně neplatí u případu pohybu útku, kde charakter kmitání je určen nejen relativní rychlosťí ale též absolutní rychlosťí útku. Proto experimentální měření síly působící na nepohyblivý útek dovolí jen přibližně zhodnotit tahovou sílu proudu vzduchu působící na útek.

V praxi se tahová síla působící na nepohyblivý útek (uchycený jedním koncem (viz obr. 10a)) považuje za komplexní charakter útkové nitě a kvality trysky a nazývá se někdy "absolutní" tahovou silou dané trysky  $F_a$ . Síla  $F_a$  je měřena jako

síla v nepohyblivém útku při dané spotřebě stlačeného vzduchu  $Q$  a dané délce útku  $l$  v proudu vzduchu. Naměřená závislost  $F_a(Q)$  je vlastně charakteristikou dynamického působení mezi proudem vzduchu a daným útkem u dané trysky. Zkušenosti však ukázaly, že naměřené hodnoty  $F_a$  nejsou tak stabilní; jsou totiž závislé na charakteru kmitání útku v proudu vzduchu. Podle PILIPENKO [21] je mnohem stabilnější veličina  $F_r$  - tahové síla v útku měřená v místě před vstupem do trysky



obr. 10 Umístění snímače k měření tahové síly  
 $F_a$  ,  $F_r$

při tzv. volném podávání útku v proud vzduchu . Umístění snímače k měření síly  $F_r$  je znázorněno na obr. 10b . Síla  $F_r$  je měřena např. tenzometrem a registruje vlastně celkový odpor na útkové dráze. Velmi zajímavé je to, že při různých hodnotách  $Q$  je poměr  $F_a / F_r$  velmi stabilní a tímto

poměrem by umožnilo vyhnout se hrubým chybám při experimentálním měření síly  $F_a$ .

Tahovou sílu ovlivňuje také počet filamentů v útkové niti. Jak ukázalo měření pro viskozové a acetátové nitě s různými počty filamentů, že se zvětšením počtu filamentů, zvětšuje se též tahová síla. Tahová síla je závislá též na průměru nitě, přičemž vliv tloušťky nitě se projeví ve dvou formách. Se zvětšením průměru nitě daného druhu: za prvé se zmenšuje koeficient čelního odporu, za druhé se zvětšuje plocha povrchu útku. Měření ukázalo, že se zvětšením průměru nitě se tahová síla vždy zvětšuje, ale pomaleji než zvětšení plochy povrchu útku.

#### 2.126 Kmitání útku v proudu vzduchu

Všechny parametry vzájemně dynamického působení mezi proudem vzduchu a útkem např. koeficient čelního odporu, tahové síle apd. jsou nerozlučně spjaty s charakterem kmitání útku v proudu vzduchu.

Příčné kmitání útku je snadno pozorovat pomocí stroboskopu. Kolísání tahové síly v útku je schopně registrováno např. citlivým vysokofrekvenčním silovým snímačem. Jsou velmi rozdílné charakterystiky u různých druhů útkové nitě.

Kmitání útku je vyvoláno jednak vznikem vírů v proudu vzduchu jednak dynamickými účinky mechanismů podílejících se na procesu prohozu útku.

Kmitání se objeví zřetelnější u útku uchyceného jedním koncem. Jeho intenzita je závislá na délce útku v proudu. U některého druhu nitě zvláště u nitě z chemických vláken při krátké délce v proudu vzduchu se prudce zvyšuje kmitání s velkou amplitudou.

Již předpokládali někteří autoři, že charakter kmitání útku v proudu vzduchu závisí též na jeho geometrickém povrchu a ohebnosti. Ovšem tento problém by zasluhoval vyšetření.

Vlnový tvar kmitajícího útku způsobuje zřejmě negativní vlivy při procesu prohozu útku např. smyčky, nedolety, zvětšení schopnosti dotyku s překážkami v prošlupu apd. Tím se zmenšuje spolehlivost procesu prohozu útku.

Takže kmitání útku v proudu vzduchu je doprovázeno řadou jevů, např. zkreslení tvaru útku od přímky, absorpcie energie vzduchového proudu, zhoršení podmínky přenosu tahové síly atd. Všechny způsobují větší složitost technologického procesu.

Míra kmitání útku je závislá na vlastnosti útkové nitě, na charakteru proudu vzduchu, tj. na konstrukci, technologicko-výrobní a montážní kvalitě trysky. Z toho důvodu má být zaručeno konstrukcí a kvalitou trysky co nejmenší kmitání útku.

## 2.13 Pohybové rovnice útku

Řešení pohybu útku v proudu vzduchu v obecném případě je poněkud obtížné a nevychází ve tvaru elementálních funkcí. Lze však nalézt přibližné něhradní vyjádření z něhož nakonec plyne rychlosť útku.

Tímto problémem se zabývají mnozí autoři [5], [11], [12], [13], [17], [20], [21]. Jednotlivé práce se liší především ve zvolení metody analýzy a zejména množstvím zjednodušujících předpokladů, které umožní odvodit některé teoretické řešení.

V roce 1959 uveřejnil DUXBURY [5] rovnici pohybu útku ve volném proudu vzduchu, kdy rozhodující úlohu přisuzoval pouze trysce. PILIPENKO a kolektiv [21] aplikovala rovnici Meščer-ského pro pohyb tělesa s měnicí se hmotou na pohyb útku v proudu vzduchu. Řešení je prováděno ve třech oblastech: počáteční rozbaň, pokračování rozbaňu, brzdění útku. Výsledné diferenciální rovnice pohybu útku odvozené i při zahrnutí řady zjednodušujících předpokladů jsou složité. Přímá aplikace na konkrétní prohozní ústrojí je problematická, neboť získané diferenciální rovnice obsahují řadu konstant, které je nutné zjistit. V roce 1961 v práci UNO [17] zavádí úcelenější pohled na prohoz útku, ve kterém je zahrnut vliv odporových sil odměřovacího zařízení a prohozního kanálu. Rovnice je uvažována ve tvaru:

$$\frac{d(m\dot{x})}{dt} = \int dF - F_{ov} \quad (39)$$

kde  $m$  - hmotnost útku  $\text{[kg]}$   
 $\dot{x}$  - rychlosť útku  $\text{[m s}^{-1}\text{]}$

$dF$  - elementální tahové síla proudu vzduchu působící na útek  $\text{[N]}$

$F_{ov}$  - výslednice odporových sil působících proti zanášení útku  $\text{[N]}$

V poslední době se vzduchovým prohozem zabýval NOSEK [20] a KOLOC [1]. NOSEK použil k analýze Lagrangeovou rovnici II. druhu

$$\frac{d}{dt} \left( \frac{\partial E_k}{\partial v} \right) - \frac{\partial E_k}{\partial x} + F_o + F_k = F \quad (40)$$

v ní je :

$$E_k = \frac{1}{2}(m_0 + \mu x) v^2 - \text{kinetická energie útku } \text{[kg m}^2 \text{s}^{-2}\text{]}$$

$$F_o = k_o v^2 - \text{odpor odvíječe } \text{[N]}$$

$$F_k = c x v^2 - \text{odpor proti průletu útku prohozním médiem } \text{[N]}$$

$$F - \text{tahové síla proudu vzduchu působící na útek } \text{[N]}$$

$$m_0 - \text{hmotnost části útku v trysce } \text{[kg]}$$

$$\mu - \text{měrné délkové hmotnost útku } \text{[kg m}^{-1}\text{]}$$

$$x - \text{délka útku ve proudu vzduchu } \text{[m]}$$

$$v - \text{rychllosť útku } \text{[m s}^{-1}\text{]}$$

$$k_o - \text{koeficient odporu odvíječe } \text{[kg m}^{-1}\text{]}$$

$$c - \text{koeficient odporu proti průletu útku prohozním médiem } \text{[kg m}^{-2}\text{]}$$

a nakonec odvodil autor citované práce za určitých zjednodušujících předpokladů následující teoretické řešení :

$$v = U_0 \sqrt{\frac{\alpha}{\beta \mu}} \sqrt{\frac{1 - e^{-2\beta(x-x_0)} [1 + 2\beta(x-x_0)e^{-2\beta x_0}]}{2\beta(x-x_0)}} \quad (41)$$

kde  $\alpha$  - činitel tahu proudícího vzduchu na útek  $[kg m^{-2}]$   
 $\beta$  - činitel poklesu rychlosti proudu vzduchu v prohozním  
kanálu  $[m^{-1}]$   
 $U_0$  - počáteční rychlosť proudu vzduchu  $[m s^{-1}]$   
 $x_0$  - délka útku vyčnívajícího z trysky  $[m]$

Je vidět, že pro svou jednoduchost do rovnice (41) není zahrnut ani vliv odporu odvíječe ani vliv odporu prohozního méda.

KOLOC [13] se zaměřil především na rozbor odporových sil vzniklých odvíjením nitě z povrchu odvíječe. Uvedl také svou diferenciální rovnici popisující pohyb útku, je však dost komplikované a její řešení nevychází zřejmě ve tvaru elementálních funkcí.

## 2.2 Současný stav rozvoje odměřovacího zařízení útku na pneumatických tkacích strojích

Jsou známy různé způsoby odměřování útků na pneumatických tkacích strojích. Na těchto strojích se odměřování provádí za účelem přípravy zásoby útkové nitě pro prohoz, který je prováděn v tomto případě proudem vzduchu, tedy prostředkem, který útkovou nit nedrží pevně ale unese ji třecími silami.

K odměřování se používají odměřovače. Na pneumatických tkacích strojích jsou odměřovače velmi důležitou součástí prohozu, která ovlivňuje strojní i textilně - technologické parametry strojů.

Na odměřovače útkové nitě vyžaduje se, aby útkové nit v zásobě byla konstantní délky a bylo ji možno s malým odporem vytahovat ze zásoby při prohozu. V poslední době bylo zjištěno ještě, že způsob ovládání útkové nitě při odměřování a případné kontrola nitě během prohozu má značný vliv na průlet útkové nitě prošlupem a následující děje .

V dnešní době ex-istuje celé řada odměřovacích zařízení . Od roku 1959 do roku 1977 pracovaly některé firmy např. RÜTI, NISSAN velmi intenzivně v oblasti různých šachtových zásobníků . Byly řešeny různé systémy šachet, které zaručují dobré vytváření smyčky, odstraňují lepení na kolečka , zajišťují odměření plné délky útku před prohozem, umožňují míchání útku atd..

Od roku 1968 začíná nové etapa, projevily první typy rotačních odměřovačů .

Od roku 1973 začíná poslední etapa . Směr rozvoje je zřejmě přejít na rotační odměřovače a dále na kontrolovanou dodávku útku do trysky, které by umožnila případnou vícebarevnou zéměnu .

Odměřovací zařízení u moderních tkacích strojů je možné rozdělit do tří skupin podle způsobu použití :

U hladkých jednobarevných strojů byly použity křídlové odměřovače a alternativně i odměřovače kotoučové nebo adhezní

U strojů vybavených barevnou zéměnu nebo míchaní útků byly použity odměřovače pracující na principu odvíječů s předzásobou útku, převážně od italské fy ROJ - ELEKROTEX nebo švédské fy IRO .

Vystavované odměřovací zařízení na ITMĚ 1987 v Paříži se vyznačovala především důsledně oddělovanými jednotlivými oviny nitě na navíjecích bubnech, nízkou a regulačnou tahovou sílou nitě, k jejímuž posuvu po navíjecím bubnu není třeba vyšší tahové síly . Směr otáčení je možno měnit podle zákrutu nitě , odměřovací rychlosť lze plynule měnit i během provozu, rovněž tak intenzitu brzdění nitě na vstupu i na výstupu ze zařízení . Plynule měnitelný za provozu je také úhel úkosu navíjecího prvku . K odměřovačům jsou dodávána elektronické

zařízení pro jejich řízení, např. pro vícebarevné záměny. Moderně řešený odměřovač útku je dnes neodmyslitelnou součástí každého pneumatického tkacího stroje.

Výše uvedené systémy odměřování útku mají však i své omezené možnosti. Především v tom, že vlastní odměření délky útku je nutno řešit před prohozem, což omezuje možnost delšího zvyšení otáček stroje. Mají navíc i jiné nevýhody, např. způsobují větší složitost stavby strojů. Z technologických a výkonových požadavků vyplývá i výrobní, montažní, cenové a energetická náročnost této součásti stroje. Proto se myšlenka pokusit se o návrh nového způsobu odměřování útku při jeho průletu proslupem popsána v PV 2952-84 zdá přitažlivá a je skutečně jedním směrem vývoje této oblasti. Pokusem o realizaci tohoto způsobu odměřování útku se bude zabývat v další části této práce.

### 3. CÍL DISERTAČNÍ PRÁCE

Další prohloubení znalostí a zákonitostí vzduchového try-skového prohozu a širší použití elektroniky k ovládání a řízení prohozu umožňuje rozšiřovat použitelné paprskové šíře, ekonomicky zvýšovat výkon tkacích strojů. V tomto směru je disertační práce především zaměřena na teoretické řešení pohybu útku při vzduchovém prohozu s monotryskou a konfuzorem. Další převážné část práce je zaměřena na ověření nového způsobu odměřování útku pro pneumatické tkací stroje PN založené na principu popsaném v PV 2952-84 (AO 251623) .

Předložené disertační práce si klade následující cíle :

1. Posoudit různé charakteristiky prohozního ústrojí pneumatického tkacího stroje.
2. Provést matematické řešení pohybu útku při vzduchovém prohozu s monotryskou a konfuzorem.
3. Experimentálně ověřit nový způsob odměřování útku na pneumatickém tkacím stroji.

Vlastním cílem práce bude mj. přispět k dalšímu rozvoji každé z uvedených částí novými poznatkami. Konkrétním cílem práce bude proto v části teoretického řešení vzduchového prohozu analyzovat různé charakteristiky jednotlivých prvků prohozního ústrojí a jejich technologických vazeb. Podrobnejší jsou rozebrány následující problémy :

- + Charakter volného proudu vzduchu.
- + Charakter proudu vzduchu v konfuzoru.
- + Dynamické vzájemné působení mezi proudem vzduchu a útkem .

Nakonec bude sestavena pohybové rovnice útku za určitých přijatelně zjednodušených předpokladů . Jsou provedeny teoretické propočty týkající se rychlosti proudu vzduchu v konfuzoru, rychlosti čela útku, tahové síly proudu vzduchu působící na útek , odporové síly proti průletu útku prohozním médiem, doby prohozu v závislosti na prohozní délce . Správnost početního řešení je ověřena experimentálním měřením jiných autorů, např. EGRTA [6], VAŠÍČKA [34], ŠKOPA [33] .

V části ověření nového způsobu odměřování útku pro pneumatické tkací stroje PN je zkoumáno jak teoreticky tak prakticky nové odměřovací zařízení sestávající z identifikace čela útku na doletové straně stroje a jeho okamžitého zabrzdění na prohozní straně. Jsou prověděny konstrukční návrhy a shrnutý výsledek praktických zkoušek odměřovacího mechanismu.

#### 4. ZVOLENÉ METODY ZPRACOVÁNÍ

Ze zkušenosti zkoumání vzduchového prohozu útku vyplývá, že čistě teoretické řešení jeho jednotlivých prvků nedávají zcela jednoznačně výsledky v praxi. Je proto v části řešení pohybu útku v konfuzoru zvolena metoda teoretickoexperimentální. Tj. řešit matematické modely popisující proces prohozu útku při současném experimentálním stanovení potřebných konstant, pracovních charakteristik, popř. obecných zákonitostí jednotlivých prvků prohozního ústrojí (trysky, vzduchového proudu, konfuzoru) a jejich rozhodujících technologických vazeb (tryska - vzduchový proud, vzduchový proud - konfuzor, proud vzduchu v konfuzoru - útek). Nakonec správnost výsledků je opět ověřena experimentálním měřením.

V části ověření nového způsobu odměřování útku na pneumatickém stroji je zvolena metoda experimentální. Tato metoda byla zvolena s ohledem na nevyzkoušenost zcela nového systému odměřovacího zařízení a slouží k ověření funkční schopnosti nových, námi navržených konstrukcí nového odměřovacího mechanismu založeného na principu popsaném v PV 2952 - 84.

Aby jednotlivé analýzy a matematické formulace odpovídaly současné úrovni techniky, jsou při zkoumání výše uvedených problémů využity všechny potřebné a dostupné prostředky na VŠST.

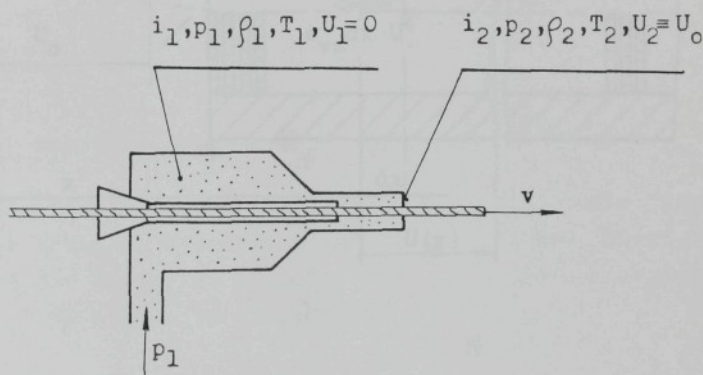
Matematické operace jsou prováděny na počítači EC 1033 s jeho grafickým výstupem. K získání experimentálních výsledků pro ověření funkční schopnosti nového navrženého odměřovacího mechanismu je používán číslicový paměťový osciloskop TEKTRONIX 2230 a grafický zážnam průběhu je získán přepisem zážnamu z paměti osciloskopu souřadnicovým zapisovačem BAK 5T. Výsledky měření jsou graficky zpracovány jako histogramy.

## 5. ŘEŠENÍ POHYBU ÚTKU PŘI VZDUCHOVÉM PROHOZU S MONOTRYSKOU A KONFUZOREM

Cílem statě je sestavit co nejpřehlednější pohybovou rovnici útku zahrnující i vliv odprných sil. Na základě zkušenosti a zjištěných výzkumných výsledků dokáže autor nalézt přibližně matematický popis pohybu útku a z něhož by mohly plytnout různé parametry potřebné pro řízení celého procesu prohozu. Na konci je proveden příklad numerického výpočtu pro případ prohozu s ba-útkem hrubosti 28 tex.

### 5.1 Výtoková rychlosť vzduchu z trysky

Zde při adiabatické expanzi je výtoková rychlosť vzduchu z trysky funkcí přetlaku a podle [2] je dán vztahem :



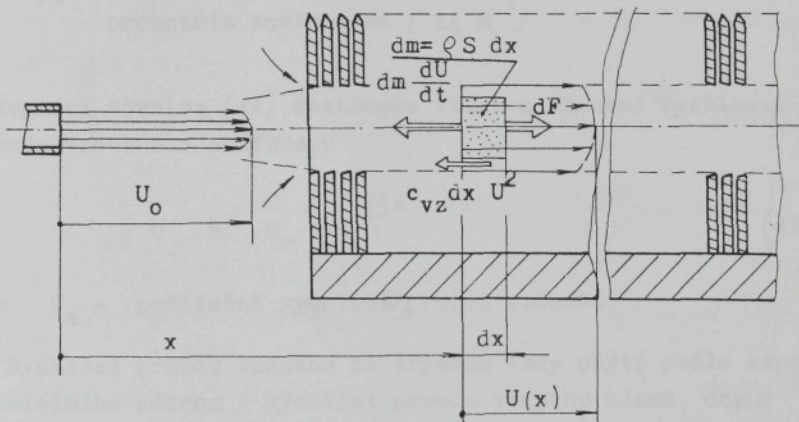
obr. 11 Termomechanické bilance vzduchu v trysce  
a těsně za tryskou .

$$U_0 = U_2 = \varphi \sqrt{2 \frac{\gamma}{\gamma-1} r T_1} \sqrt{1 - \left( \frac{p_2}{p_1} \right)^{\frac{\gamma-1}{\gamma}}} \quad (42)$$

kde  $\varphi = 0,7 \div 0,8$  - rychlostní součinitel u trysky  
 $r = 287 \text{ J kg}^{-1} \text{ deg}^{-1}$  - stavová konstanta vzduchu  
 $T_1 = 303 \text{ }^{\circ}\text{K}$  - teplota vzduchu v trysce  
 $\mathcal{H} = 1,402$  - Poissonova konstanta pro vzduch.

5.2 Matematická analýza průběhu rychlosti proudu vzduchu v konfuzoru

Průběh rychlosti proudu vzduchu v konfuzoru lze odhadnout experimentálním měřením různých autorů nebo využít pohybové rovnice pro částici vzduchu v konfuzoru .



obr. 12 Schematické znázornění sil působících na částici vzduchu v konfuzoru

Na částici vzduchu  $dm = \rho S dx$  působí síly (viz obr. 12): setrvačné síla  $dm dU/dt$ , odporové síla způsobena prohozním kanálem  $c_{vz} dx U^2$ , tahová síla působící na útek  $dF$  (v tomto případě  $dF = 0$ ). Pohybová rovnice částice vzduchu bude mít

tvar :

$$dF - c_{vz} dx U^2 - \rho S dx \frac{dU}{dt} = 0 \quad (43)$$

dostaneme po úpravě

$$\frac{d(U^2)}{dx} + 2 \beta U^2 = 0 \quad (44)$$

kde  $\beta = \frac{c_{vz}}{\rho S}$  - činitel poklesu rychlosti proudu vzduchu v konfuzoru  $\text{m}^{-1}$

$S$  - zvolené příčné plocha elementu vzduchu  $\text{m}^2$

$c_{vz}$  - koeficient odporu proti pohybu vzduchu prohozním konfuzorem  $\text{kg m}^{-2}$

Integrací rovnice (44) dostaneme zákon o klesání rychlosti proudu vzduchu v konfuzoru

$$U = U_0 e^{-\beta x} \quad (45)$$

kde  $U_0$  - počáteční rychlosť proudu vzduchu.

Rychlosť proudu vzduchu za tryskou tedy ubývá podle exponenciálního zákona. Rychlosť proudu vzduchu klesá, dokud  $Re$  neklesne pod kritickou hodnotu ( $Re_{krit}$ ) dělou provedením konfuzoru, kdy dochází k rozpadu vzduchového proudu.

### 5.3 Sestavení pohybové rovnice útku v konfuzoru

Útek se v proudu vzduchu urychluje na svou prohozní rychlosť podle zákona vyplývajícího např. z energetické analýzy jeho pohybu. K analýze lze použít Lagrangeovou rovnici II. druhu (viz vztah (40)).

V praxi lze proti ostatním silám zanedbat odpor odvíječe, který má být co nejmenší a setrvačný vliv hmoty kousku útku v tryisce na začátku foukání. Je tedy

$$F_0 = 0, \quad m_0 = 0 \quad (46)$$

Kinetická energie útku v případě  $m_0 = 0$  bude

$$E_k = \frac{1}{2} \mu x v^2 \quad (47)$$

kde  $\mu$  - měrná délkové hmotnost útkové niti [ $\text{kg m}^{-1}$ ]  
 $x$  - délka útku ve proudu vzduchu [ $\text{m}$ ]  
 $v$  - rychlosť čela útku [ $\text{m s}^{-1}$ ].

Odpor proti průletu útku prohozním médiem v důsledku zachycování odstávajících vláken, turbulence vzduchu atd. je vyjádřen vztehem

$$F_k = c x v^2 \quad (48)$$

kde  $c$  - koeficient odporu proti průletu útku prohozním médiem [ $\text{kg m}^{-2}$ ].

Tah vzduchu je dén součtem dílčích sil podél obtékané délky útku  $x$ , tj. podél délky útku, která zatím vstoupila do proudu vzduchu. Lze předpokládat, že nejenom při rozbití útku platí  $U \gg v$  a vzhledem k vysoké rychlosti proudu vzduchu je možné approximovat koeficient aerodynamického čelního odporu útku  $C_x$  konstantou. Tahové síla vyjádřena vztehem (38) je tedy

$$F = \frac{1}{2} \rho \pi d C_x \int_0^x [u(\xi) - v(\xi)]^2 d\xi$$

a vzhledem k předpokladu  $U \gg v$  bude  $F$  mít tvar

$$F = \alpha \int_0^x [u(\xi)]^2 d\xi \quad (49)$$

kde  $\alpha = \frac{1}{2} \rho \prod c_x$  - činitel tahu proudícího vzduchu  
působící na útek [ $\text{kg m}^{-2}$ ]

Použitím vztahu (45) ve vztahu (49) a integrováním dostaneme

$$F = \frac{\alpha}{2\beta} U_0^2 \left( 1 - e^{-2\beta x} \right) \quad (50)$$

Použitím vztahu (46), (47), (48), (50) v rovnici (40) a po úpravě dostaneme diferenciální rovnici popisující pohyb útku v konfuzoru

$$(v^2)' + \left( \frac{1}{x} + \frac{2c}{\mu} \right) v^2 = U_0^2 \frac{\alpha}{\mu \beta} \frac{1 - e^{-2\beta x}}{x} \quad (51)$$

Integrací rovnice (51) s počáteční podminkou  $x = 0, v = 0$  dostaneme konečnou závislost rychlosti útku na prohozní délce

$$v(x) = U_0 \sqrt{\frac{\alpha}{\mu \beta}} \sqrt{e^{-Bx} \left[ \frac{1 - e^{(B - 2\beta)x}}{(B - 2\beta)x} - \frac{1 - e^{Bx}}{Bx} \right]} \quad (52)$$

$$\text{kde } B = \frac{2c}{\mu}$$

#### 5.4 Příklad řešení pohybu útku v konfuzoru

##### 5.4.1 Stanovení podmínek a vstupních údajů výpočtu

Jsou přijaty následující vlastnosti útkové nitě :

1. Materiál útku je bavlnářský o hrubosti 28 tex .
2. Měrná délková hmotnost útku je tedy  $\mathcal{U} = 28 \cdot 10^{-6} \text{ kg/m}$ .
3. Aerodynamický průměr útku je dán podle MACKA [16]

$$d = \frac{1}{25,8 \sqrt{EcC}} \quad \text{[Palec]}$$

kde EcC je anglické číslo bavlnářské nitě (ba-niž hrubostí 28 tex je ekvivalentní s anglickým číslem 21,09). Aerodynamický průměr útku je tedy

$$d = \frac{25,4 \cdot 10^{-3}}{25,8 \cdot \sqrt{21,09}} = 0,2144 \cdot 10^{-3} \text{ m.}$$

4. Koeficient čelního aerodynamického odporu útku je možné vzhledem k velké relativní rychlosti ( $U - v$ ) approximovat konstantou. Je approximován v tomto případě  $C_x = 0,02$ .

Přijaty podmínky a parametry vzduchového proudu :

5. Měrná hmotnost vzduchu  $\rho = 1,205 \text{ kg/m}^3$  (při teplotě  $20^\circ\text{C}$  a  $p_a = 0,10133 \text{ MPa}$  ).

6. Výpočetní výsledky výtokové rychlosti vzduchu v závislosti na hodnotě jeho přetlaku v trysce dané vztahem (42) s předpokladem, že tlak prostředí  $p_2 = 0,1 \text{ MPa}$ , rychlostní součinitel trysky  $\varphi = 0,7$  jsou uvedeny v následující tab.1

Tab. 1

$p_2 = 0,1 \text{ MPa}, \varphi = 0,7$				
$p_1 (\text{MPa})$	0,20	0,30	0,40	0,50
$U_o (\text{m/s})$	231,80	283,83	312,70	331,96

Dále jsou přijaty následující geometrické rozměry a aerodynamické vlastnosti prohozního ústrojí :

7. Konfuzor použit ze stroje PN , poloměr kružnice vepsané vnitřního otvoru R = 10 mm.

8. Kovové tryska délky 50 mm , poloměr jejího ústí r = 3,5mm.

9. Největší prohozní délka x = 2 m.

10. Činitel poklesu rychlosti proudu vzduchu v konfuzoru je zvolen  $\beta = 0,5$ .

11. Koeficient odporu proti průletu útku prohozním médiem je zvolen c =  $1,4 \cdot 10^{-4}$  .

Nakonec přijaty pro výpočet další konstanty :

12. Činitel tahu proudícího vzduchu působícího na útek

$$\alpha = \frac{1}{2} \rho \Pi d C_x = \frac{1}{2} \cdot 1,205 \cdot 3,14 \cdot 0,2144 \cdot 10^{-3} \cdot 0,02 =$$

$$\alpha = 8,1123 \cdot 10^{-6} .$$

13. Konstanta

$$B = \frac{2 c}{\alpha} \quad (\text{viz vztah (52)})$$

$$B = \frac{2 \cdot 1,4 \cdot 10^{-4}}{28 \cdot 10^{-6}} = 10 .$$

#### 5.42 Výpočtené závislosti řešení pohybu útku v konfuzoru

Numerické výpočty jsou prováděny na počítači EC 1033 pro následující závislosti :

$$1. U(x) = U_0 e^{-\beta x} \quad (\text{viz vztah (45)}),$$

$$2. F(x) = U_0^2 \left( 1 - e^{-2\beta x} \right) \quad (\text{viz vztah (50)}),$$

$$3. v(x) = U_0 \sqrt{\frac{\alpha}{\mu \beta}} \sqrt{e^{-Bx} \left[ \frac{1 - e^{-(B-2\beta)x}}{(B-2\beta)x} - \frac{1 - e^{Bx}}{Bx} \right]} \quad (\text{viz vztah (52)}),$$

$$4. \quad F_k(x) = c_x v^2(x) \quad (\text{viz vztah (48)}),$$

$$5. \quad t(x) = \int_0^x \frac{1}{v(\xi)} d\xi - \text{závislost doby prohozu na prohozní délce}.$$

Hodnoty  $x \in \langle 0 \div 2 \rangle$  metry, hodnoty počáteční rychlosti proudu vzduchu  $U_0$  jsou z tabulky 1. Výsledky výpočtu jsou graficky zaznamenány na obr. 13, 14, 15, 16.

Na obr.13 jsou uvedeny výsledky řešení pohybu útku 28 tex při prohozním tlaku ve vzdušníku  $p = 0,2$  MPa.

Na obr.14 jsou uvedeny výsledky řešení pohybu útku 28 tex při prohozním tlaku ve vzdušníku  $p = 0,3$  MPa.

Na obr.15 jsou uvedeny výsledky řešení pohybu útku 28 tex při prohozním tlaku ve vzdušníku  $p = 0,4$  MPa.

Na obr.16 jsou uvedeny výsledky řešení pohybu útku 28 tex při prohozním tlaku ve vzdušníku  $p = 0,5$  MPa.

#### 5.43 Dílčí závěry ke statii 5.

Účelem statě bylo odvodit matematické vztahy popisující pohyb útku při vzduchovém prohozu s konfuzorem. Při řešení byla přijata některá zjednodušení, jako jsou :

1. Zanedbání odporu odvječe ( $F_0 = 0$ );

2. Zanedbání setrvačného vlivu hmoty kousku útku v trysce ( $m_0 \ll Mx$ ) ;

3. Předpoklad, že rychlosť proudu vzduchu je mnohem větší než rychlosť útku ( $U \gg v$ ) ;

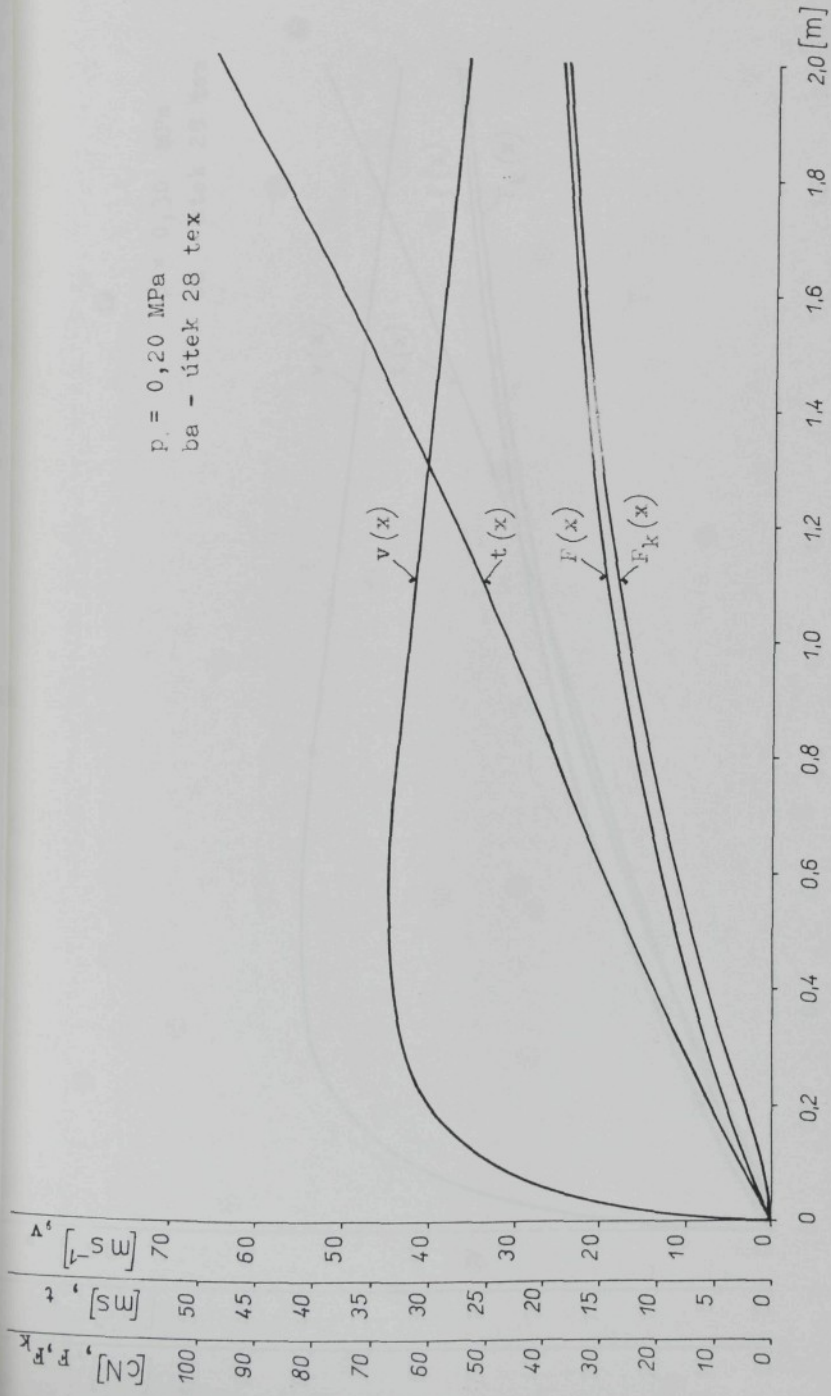
4. Aproximace koeficientu aerodynamického čelního odporu útku konstantou ( $C_x = 0,02$ ) ,

které usnadnila odvození matematického modelu, ale na druhé straně ovlivnila přesnost. V některých případech mají zjednodušení menší vliv, v jiných větší. Při posuzování různých prohozních ústrojí je nutné brát zřetel na tuto okolnost.

Zahrnutí i vlivu odporné síly prohozního média je

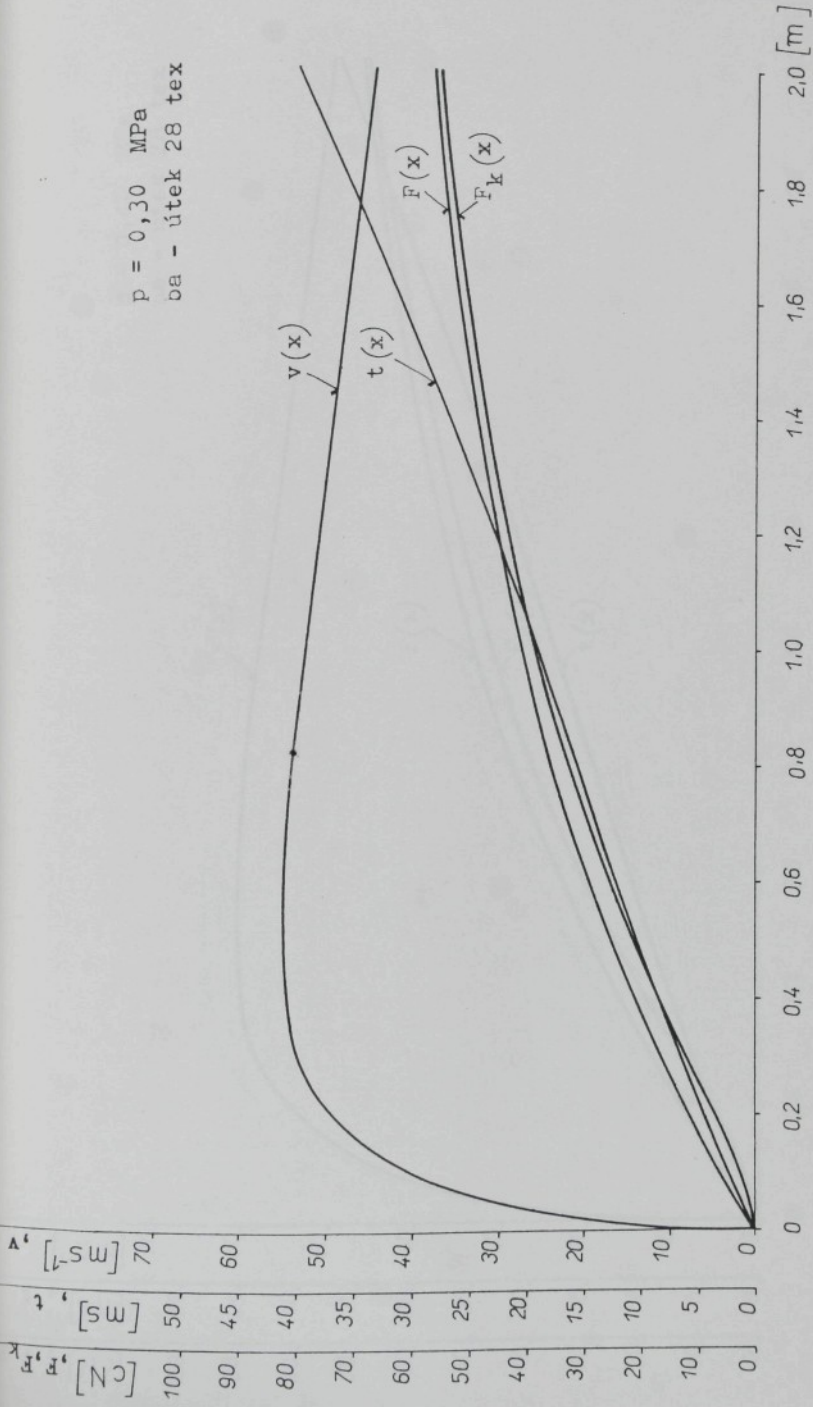
zřejmou předností výše odvozených vztahů před rovnicí (41) . Výsledný vztah (52) obsahuje pouze dvě konstanty, které jsou nutně experimentálně zjistit tj.  $\beta$  (činitel poklesu rychlosti proudu vzduchu v konfuzoru) a  $c$  (koeficient odporu proti průletu útku prohozním médiem) proto se dají aplikovat na konkretní prohozní ústrojí .

Výsledky numerického výpočtu pro případ prohozu s ba-útkem o hrubosti 28 tex (viz obr. 13, 14, 15, 16) odpovídají naměřeným hodnotám jiných autorů např. VAŠÍČKA [34] , ŠKOPA [33] a hodnotám vlastního měření autora (viz stať 6.52 - část měření doby prohozu pro ba-útek 28 tex při prohozním tlaku ve vzdušníku  $p = 0,2 \text{ MPa}$ ) .

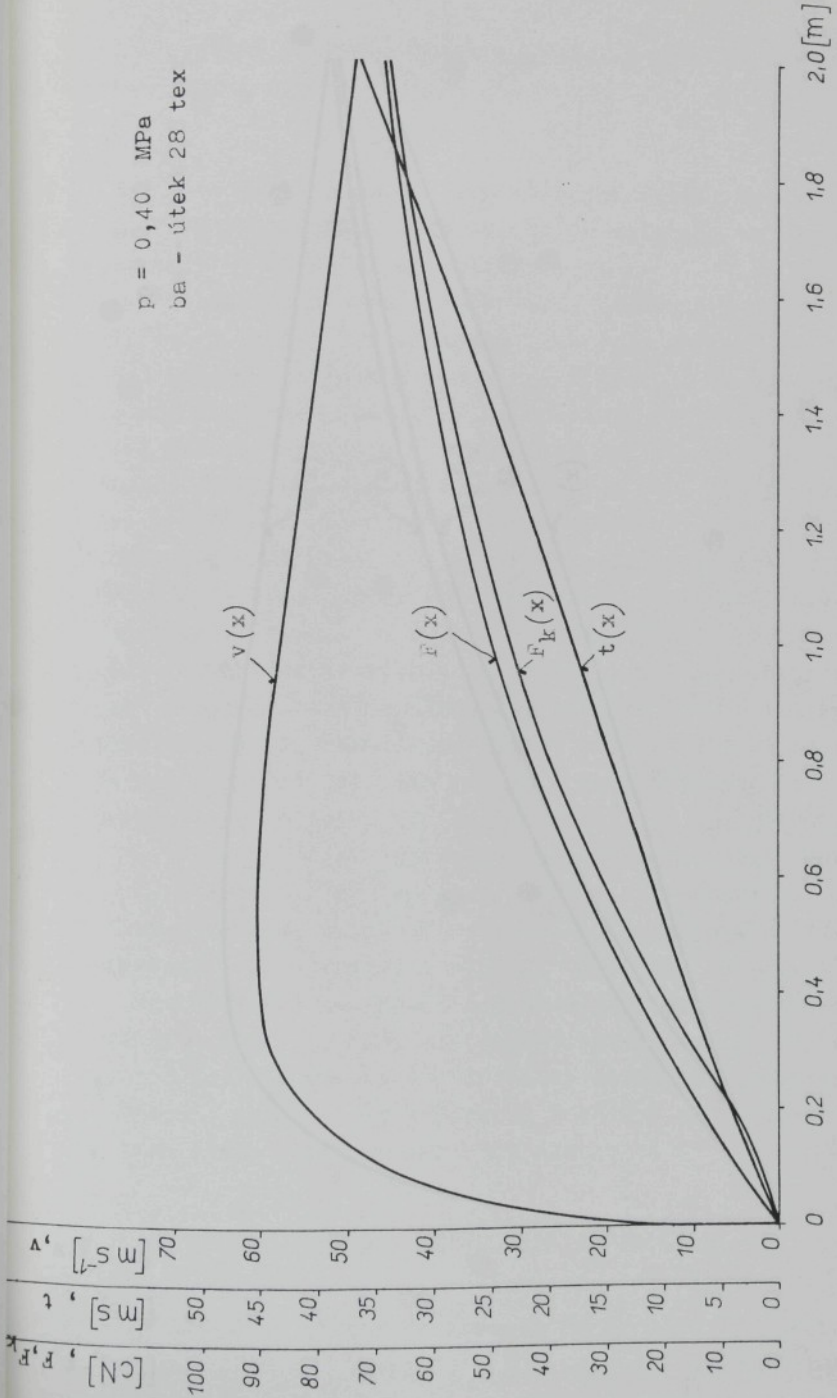


obr. 13 Rychlosť čela útku, doba prohozu, tahová síla proudu vzduchu působící na útek, odporová síla proti pohybu útku v závislosti na prohozni délce.

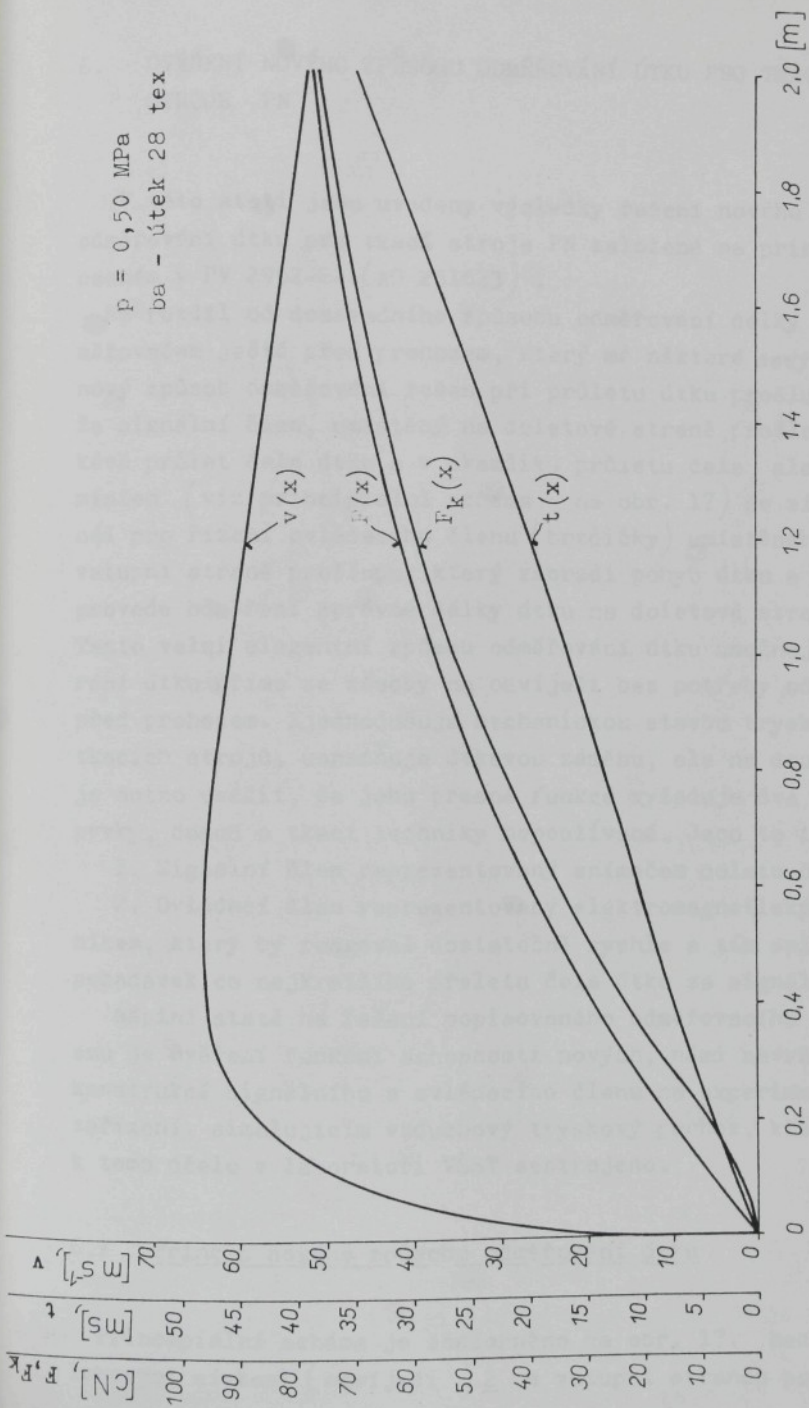
$p = 0,30 \text{ MPa}$   
da = útek 28 tex



obr. 14 Rychlosť čela útku, doba prohozu, tahová síla proudu vzduchu pôsobiací na útek, odporová síla proti pohybu útku v závislosti na prohoznej dĺžke.



obr. 15 Rychlosť čela útku, doba prohozu, tahová síla proudu vzduchu pôsobiací na útek, odporová síla proti pohybu útku v závislosti na prepoznej dĺžke.



obr. 16 Rychlosť čela útku, doba prohozu, tahová síla proudu vzduchu pôsobiací na útek, odporová síla proti pohybu útku v závislosti na prohoznej dĺžke.

## 6. OVĚŘENÍ NOVÉHO ZPŮSOBU ODMĚŘOVÁNÍ ÚTKU PRO TKACÍ STROJE PN

V této statí jsou uvedeny výsledky řešení nového způsobu odměřování útku pro tkací stroje PN založené na principu popsaném v PV 2952-84 (AO 251623).

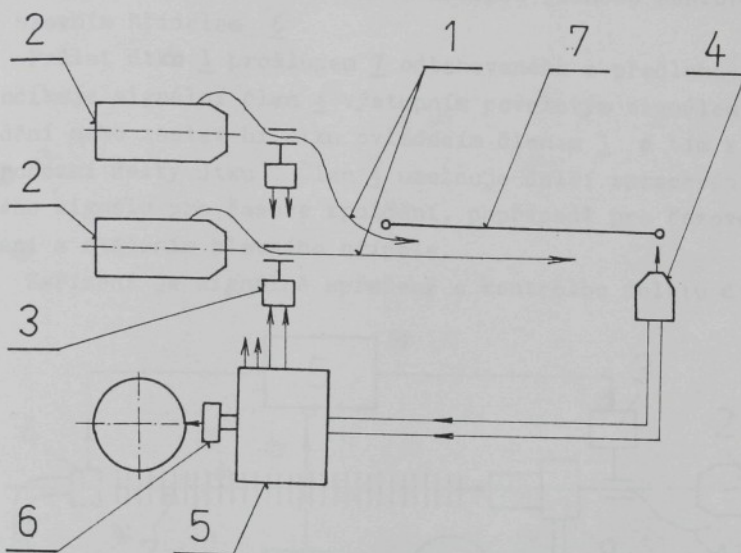
Na rozdíl od dosavadního způsobu odměřování délky útku odměřovačem ještě před prohozem, který má některé nevýhody, je nový způsob odměřování řešen při průletu útku prošlupem tak, že signální člen, umístěný na doletové straně prošlupu, očekává průlet čela útku a v okamžiku průletu čela sledovaným místem (viz principiální schéma na obr. 17) se získé signál pro řízení ovládacího členu (brzdičky) umístěného na vstupní straně prošlupu, který zabrzdí pohyb útku a tím se provede odměření správné délky útku na doletové straně osnovy. Tento velmi elegantní způsob odměřování útku umožnuje odebírání útku přímo ze zésoby na odvíječi bez potřeby odměřování před prohozem. Zjednoduší mechanickou stavbu tryskových tkacích strojů, usnadňuje útkovou zéměnu, ale na druhé straně je nutno uvést, že jeho přesné funkce vyžaduje dva nové prvky, dosud u tkací techniky nepoužívané. Jsou to :

1. Signální člen reprezentovaný snímačem doletu čela útku.
2. Ovládací člen reprezentovaný elektromagnetickým převodníkem, který by reagoval dostatečně rychle a tím splňoval požadavek co nejkratšího přeletu čela útku za signální člen.

Náplní statě na řešení popisovaného odměřovacího mechanismu je ověření funkční schopnosti nových, němi navržených konstrukcí signálního a ovládacího členu na experimentálním zařízení, simulujícím vzduchový tryskový prohoz, které je k tomu účelu v laboratoři VŠST sestrojeno.

### 6.1 Princip nového způsobu odměřování útku

Principiální schéma je znázorněno na obr. 17. Mezi předlohouvými cívkami (odvíječi)  $\Sigma$  a vstupní stranou prošlupu  $\Sigma$



obr. 17 Principiální schéma nového způsobu odměřování útku během prohozu

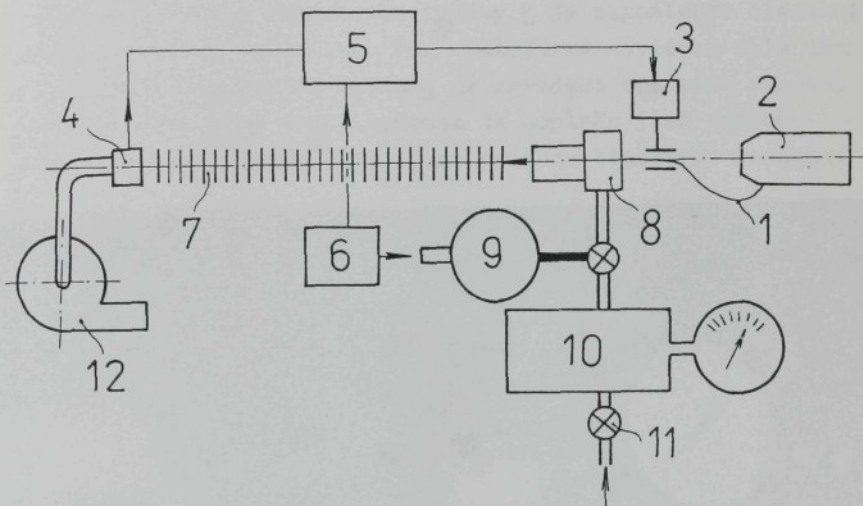
- 1 - útky
- 2 - zásoby útku odvíječe
- 3 - ovládací člen
- 4 - signální člen
- 5 - elektronika úpravy signálu
- 6 - snímač polohy hřídele tkacího stroje
- 7 - Prošlup

procházejí útky 1 ovládacími členy 3, např. elektromagnetickými brzdičkami. Na doletové straně prošlupu je umístěn signální člen 4, např. fotoelektrický senzor, jehož výstup je připojen na první vstup zpoždovacího členu 2, vytvořeného

nepř. elektronickými číslicovými obvody TTL nebo CMOS, přičemž výstup člena 5 je připojen na vstup ovládacího člena 3 a jeho druhý vstup je prostřednictvím alespoň jednoho senzoru ve styku s hlavním hřídelem 6.

Průlet útku 1 prošlupelem 7 odtahovaného z předlohouvé cívky 2 indikuje signální člen 4 výstupním povelovým signálem k zabrzdění nebo zastavení útku ovládacím členem 3 a tím k odměření prohozní délky útku. Člen 4 umožnuje další zpracování povelového signálu pro časové zpoždění, popřípadě pro fázové porovnání s otěčením hlavního hřídele.

Zařízení je signálně spřažené s kontrolou doletu útku a fun-



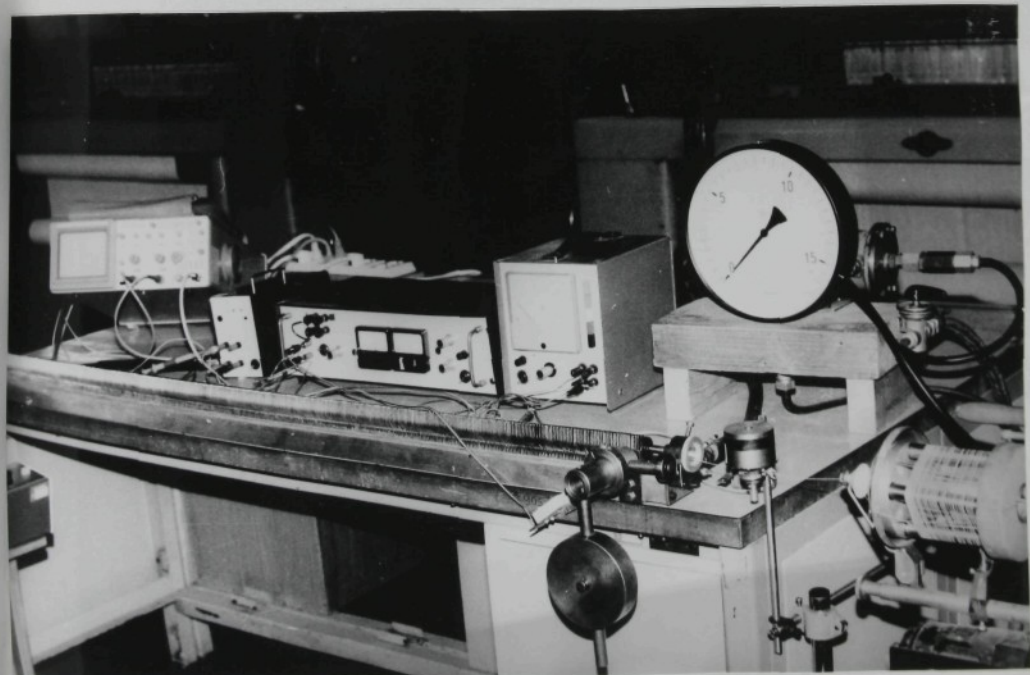
obr. 18 Experimentální zařízení k realizaci prohozu útku konfuzorem.

- |                           |   |
|---------------------------|---|
| 1 - útek                  | 8 - tryska                              |
| 2 - odvíječ               | 9 - kyvadlový pohon davkovacího ventilu |
| 3 - ovládací člen         | 10 - vzdušník s manometrem              |
| 4 - signální člen         | 11 - ventil přívodu tlakového vzduchu   |
| 5 - elektronické část     | 12 - odsévání útku                      |
| 6 - snímač polohy kyvadla |   |
| 7 - konfuzor              |   |

kčně nezávislé na šířce osnovy a druhu útkového materiálu.

#### 6.2 Popis experimentálního zařízení k realizaci prohozu útku konfuzorem

Uspořádání celého experimentálního zařízení je znázorněno na obr. 18 a detailní pohled je na obr. 19. Útek 1 odebírány ze zásoby na odvíječe 2 prochází brzdící čelistí ovládacího členu 3 a tryskou 8. Vzduch je dévkován ze vzdušníku 10 šoupátkovým ventilem ovládaným kyvadlem 9. Poloha kyvadla je pro potřeby řízení snímána snímačem 6. Při prohozu útku konfuzorem 7 dévkou vzduchu do trysky 8 je signálovým členem 4 očekáván dolet čela útku. Pro spolehlivé navedení čela útku do snímače signálního členu 4 je zavedeno odsívání vzduchu ventilátorem 12. Před prohozem je doplněn tlak vzduchu ve vzdušníku ručním ventilem 11 na přívodu tlakového vzduchu.



obr. 19 Detailní pohled experimentálního zařízení k realizaci prohozu útku konfuzorem.

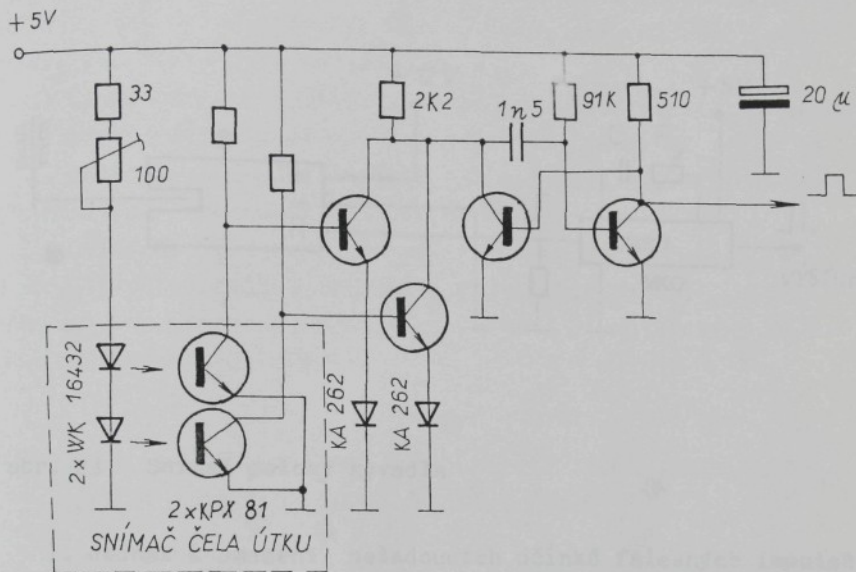
6.3 Konstrukce signálního členu včetně elektronických obvodů k úpravě signálu

Skládá se ze snímače čela útku na fotoelektrickém principu podle PV . Detaini výkresy tělessa snímače nesoucího dvě infračervené fotodiody WK 16432 a dva fototranzistory KPX 81 jsou v příloze č.1 a 2 a celkový pohled je na obr. 20 .

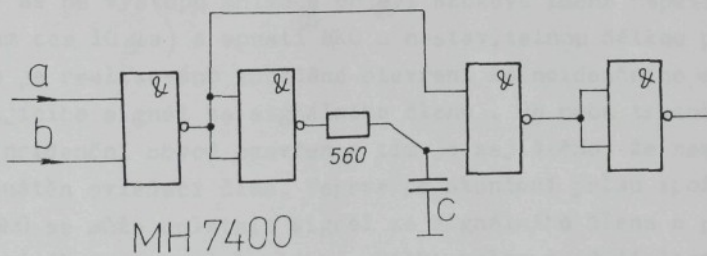


obr. 20 Pohled navrženého signálního členu

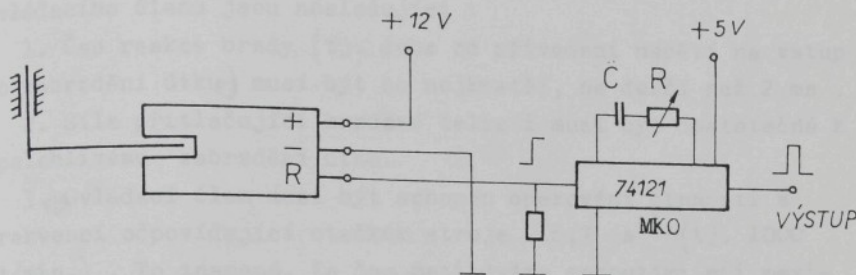
Obvody pro úpravu signálu snímače sestávají ze zesilovače signálu fototranzistoru KPX 81 , monostabilního klopného obvodu (dále MKO ) s pravoúhlým výstupním impulsem délky 0,1 ms , který je přiveden na vstup a koincidentního obvodu s prvkem MH 7400. Tento krátký puls kladné polarity projde koincidenčním obvodem pouze tehdy , je-li na vstupu b přítomen otevírací impuls,který je řízen snímačem polohy kyvadla 6 (viz obr. 18) a otevírá cestu signálu z doletového čidla pouze v době, kdy má čelo útku dosáhnout polohy snímače čela útku. Toto opatření slouží ke dvěma účelům , a to :



obr. 21 Snímač čela útku a monostabilní klopný obvod



obr. 22 Koincidenční obvod



obr. 23 Snímač polohy kyvadla

1. Jednak k omezení nežádoucích účinků falešných impulsov ze snímače , způsobených průletem čela tlakové vlny vzduchu, případně nečistot a úletů z materiálu útku .

2. Jednak jako útková zaréžka indikující nedolet útku .

Pro snímání polohy kyvadla se využívá štěrbinového snímače nasezeného na hliníkový kotouč spojený s pohybem kyvadla tak, že v okamžiku otevření ventilu přivedějícího vzduch do trysky se na výstupu snímače objeví skokové změna napětí (s náběhem cca  $10\mu s$ ) a spustí MKO s nastavitelnou délkou pulsu, kterým je realizováno zpožděné otevření koincidenčního obvodu hradlujícího signál ze signálního členu . Po dobu trvání pulsu je koincidenční obvod uzavřen a tím je zajištěno, že nemůže být spuštěn ovládací člen. Teprve po skončení pulsu zpoždovacího MKO se může uplatnit signál ze signálního členu a přes ovládací člen zastaví let útku. Délka pulsu se řídí časovou konstantou RC (viz obr. 23) . Schémata zapojení obvodů jsou na obr. 21, 22 a na obr. 23 znázorňuje snímač polohy kyvadla z obrázku 18 .

#### 6.4 Konstrukce ovládacího členu včetně elektronických obvodů

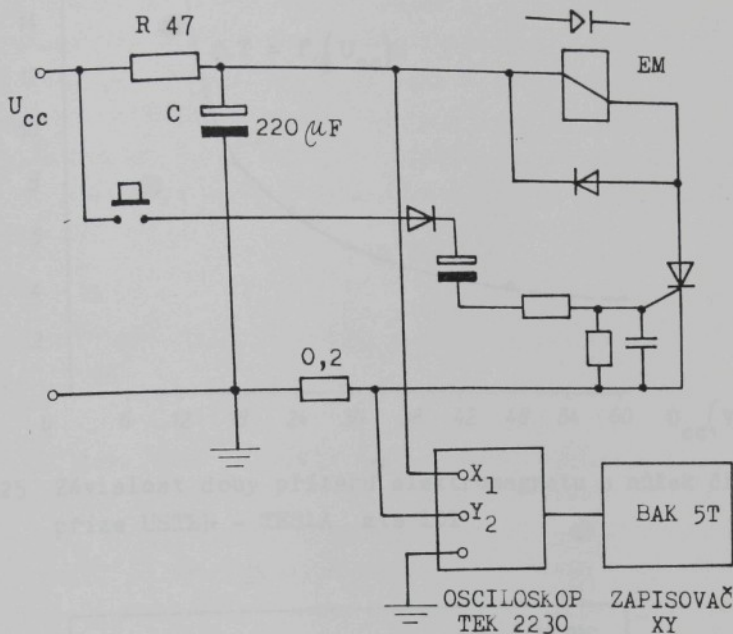
Ovládací člen je v podstatě čelistové brzdy, které uvolňuje útek na dobu průletu prošlupem a potom stiskne útek mezi čelisti tak, aby byl jeho pohyb nulový. Požadavky na vlastnosti ovládacího člena jsou následující :

1. Čas reakce brzdy (tj. doba od přivedení napětí na vstup do zábrzdění útku) musí být co nejkratší, ne delší než 2 ms .
2. Síla přitlačující brzdové čelisti musí být dostatečná k spolehlivému zábrzdění útku.
3. Ovládací člen musí být schopen opakování činnosti s frekvencí odpovídající otačkám stroje  $16,7 \text{ s}^{-1}$  (tj. 1000 ot/min.). To znamená, že čas mezi dvěma sepnutími při maximálních otačkách je 60 ms .

#### 6.4.1 Experimentální měření doby přítahu elektromagnetického pohonu u nůžek čističe USTER - TESLA

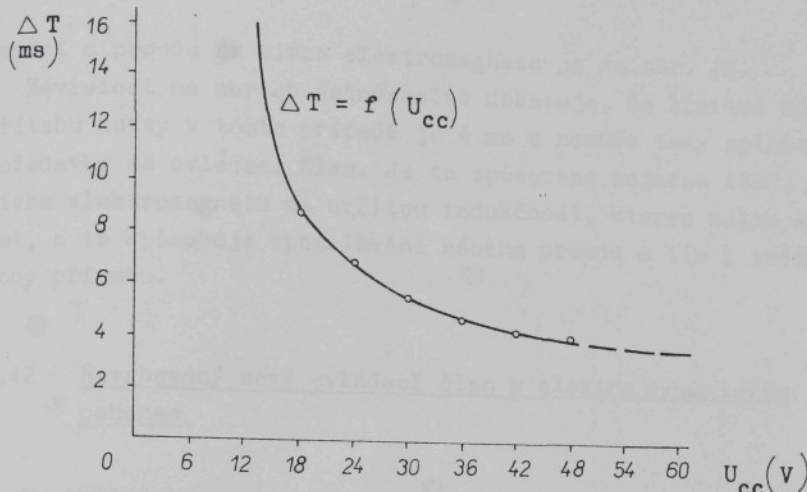
Při řešení uvedeného úkolu jsme vyšli ze zkušenosti s rychlostí funkce nůžek čističe příze . Pro experiment jímž jsme zjišťovali maximální rychlosť přítahu elektromagnetického pohonu, který je u těchto nůžek používán jsme použili obvody podle schématu na obr. 24 . Elektromagnet EM čističe příze USTER - TESLA (jeho pohled je ve příloze 3) je napájen ze zdroje stejnoměrného napětí  $U_{cc}$  přes tyristorový spínač. Pro urychlení přítahu kotvy bylo užito napětí vyššího, než odpovídá jmenovité hodnotě elektromagnetu, proto muselo být použito napájení z kondenzátoru C, který je při odpojeném elektromagnetu nabíjen přes odpor R na hodnotu napětí zdroje  $U_{cc}$ , avšak po sepnutí tyristoru se kondenzátor C rychle vybije a odpor R omezí proud do cívky elektromagnetu na jmenovitou hodnotu. Tímto způsobem je možno urychlit přítah relé velice radikálně. Přesto však jsou i zde hranice možnosti, které není možno překročit (jak dokazují výsledky tohoto experimentu) .

Je známo, že síla elektromagnetu přitahující kotvu relé je úměrné čtverci indukce ve vzduchové mezí mezi elektromagnetem a kotvou relé. Indukce je vyvolána proudem protékajícím cívkou (magnetomotorické napětí) a nepřímoúměrné

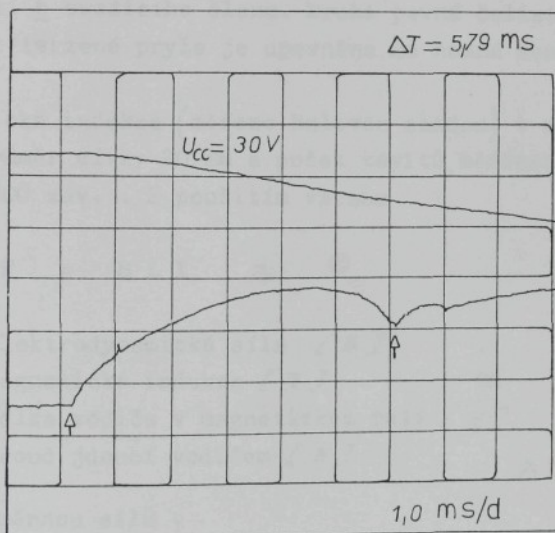


obr. 24 Schéma uspořadání experimentu pro zjišťování rychlosti činnosti elektromagnetických nůžek čističe příze USTER - TESLA

magnetickému odporu čili vzduchové mezeře. Uvážíme-li dále, že přechodový děj po připojení cívky elektromagnetu ke zdroji napětí je jednak elektrický (proud se zvyšuje vlivem indukčnosti cívky exponenciálně), jednak mechanický (vzduchové mezera se vlivem přítahu kotvy k jádru zmenšuje a tím se indukčnost obvodu zvětšuje) - bude výpočet pohybu kotvy velice složitý, ale při sledování závislosti proudu cívka na době od připojení napětí bude na křivce proudu "zub", který můžeme využít k měření doby přítahu kotvy. To jsme také provedli a výsledky měření závislosti doby přítahu kotvy elektromagnetických nůžek čističe příze USTER - TESLA jsou na obr. 25. Ukázka osciloskopu získaného zapisem záznamu uvedených časových průběhu



obr. 25 Závislost doby přítahu elektromagnetu u nůžek čističe  
příze USTER - TESLA mts 101



obr. 26 Ukázka osciloskopu průběhu napětí a proudu cívky elektromagnetu při měření doby přítahu elektromagnetu. Měření bylo pořízeno digitálním paměťovým osciloskopem TEKTRONIX 2230 a souřadnicovým zapisovačem BAK 5T.

napětí a proudu na cívce elektromagnetu je na obr. 26.

Závislost na obr. 25 jednoznačně dokazuje, že limitní doba přitahu kotvy v tomto případě je 4 ms a nemůže tedy splnit naše požadavky na ovládací člen. Je to způsobeno zejména tím, že cívka elektromagnetu má určitou indukčnost, kterou nelze snižovat, a ta způsobuje zpomalování náběhu proudu a tím i zvětšení doby přitahu.

6.42 Navrhovaný nový ovládací člen s elektro dynamickým pohonem

Navrhli jsme nový ovládací člen s elektro dynamickým pohonem. Výkres sestavy je na obr. 27. Sestává z prstencového feritového magnetu l, který napájí magnetický obvod s válcovou vzduchovou mezerou v níž je volně pohyblivě umístěna cívka z spojená s jednou čelistí 6 brzdicího členu. Druhé pevné čelist 7, které je vyrobena z tvrzené pryže je upevněna na nosné kostře ovládacího členu.

Magnetická indukce (měřeno Halovou sondou) v mezeře je 0,1 T. střední průměr cívky 20 mm a počet závitů měděného smaltovaného drátu je 700 záv. . S použitím vztahu

$$F = B L I$$

(23)

kde  $F$  - elektrodynamická síla  $\text{[N]}$

$B$  - magnetická indukce  $\text{[T]}$

$L$  - délka vodiče v magnetickém poli  $\text{[m]}$

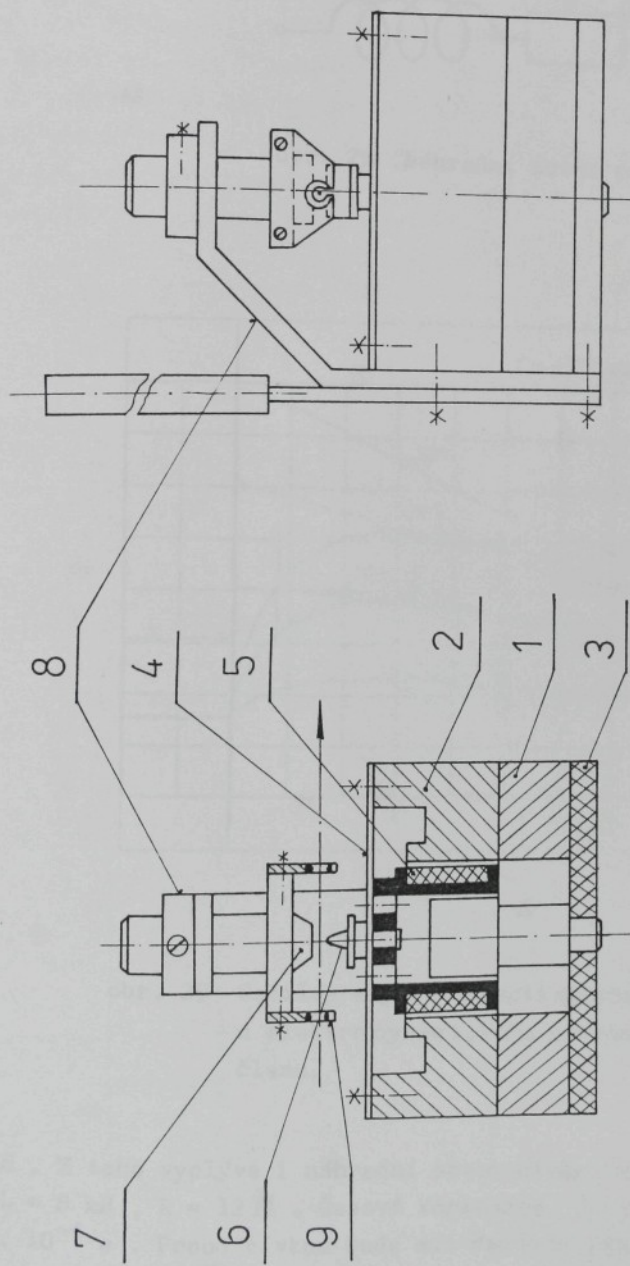
$I$  - proud jdoucí vodičem  $\text{[A]}$

dostáváme měrnou sílu :

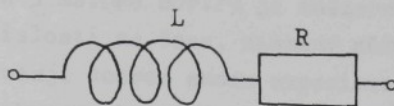
$$F / I = 0,1 \cdot 20 \cdot 10^{-3} \cdot 3,14 \cdot 700 = 4,396 \text{ N A}^{-1}.$$

Stojnoměrný odpor cívky je ve vyhřatém stavu  $R = 12 \Omega$ .

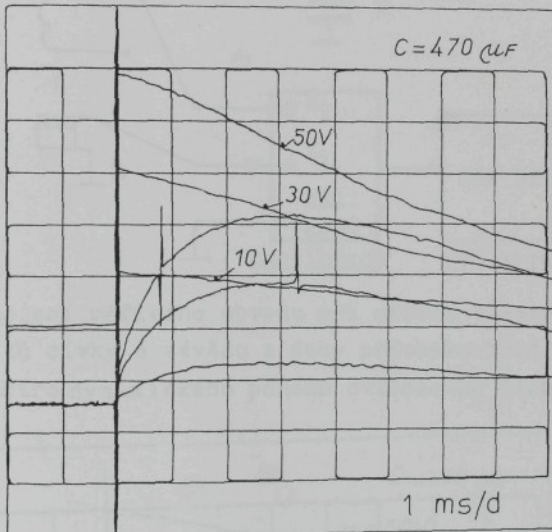
Indukčnost cívky měřením (válcové cívky Ø 20 x 20) je přibližně



obr. 27 Výkres sestavy nového ovládacího členu



obr. 28 Náhradní obvod cívky



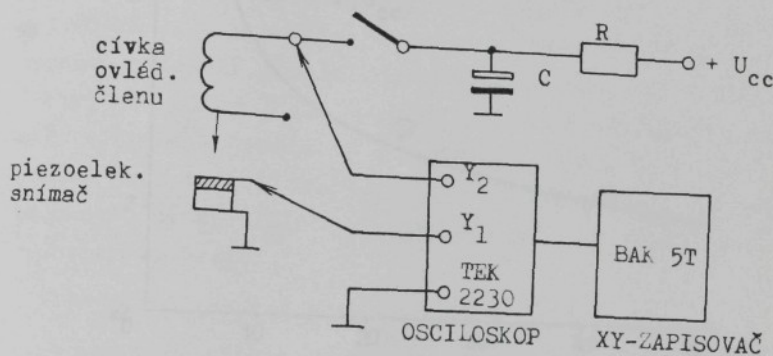
obr. 29 Oscilogramy závislosti proudu na čase  
u elektro dynamického pohonu ovládacího  
členu.

$8 \text{ mH}$ . Z toho vyplývá i náhradní obvod cívky (viz obr. 28),  
kde  $L = 8 \text{ mH}$ ,  $R = 12 \Omega$ . Časové konstanta  $\zeta = L / R =$   
 $6,6 \cdot 10^{-4} \text{ s}$ . Příjem cívky bude mít časovou závislost

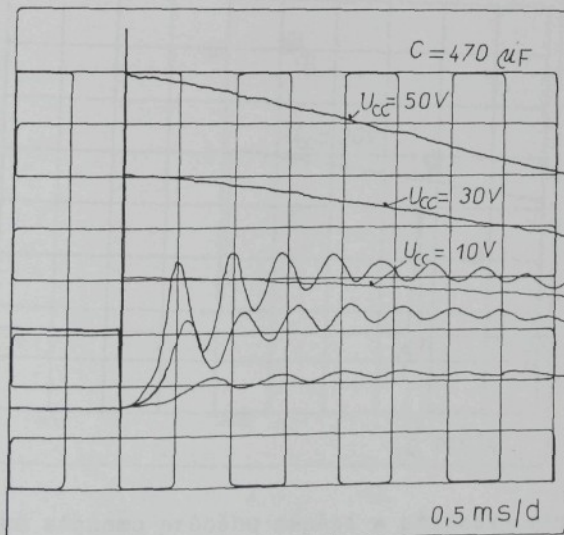
$$I = \frac{U}{R} \left( 1 - e^{-\frac{t}{\zeta}} \right) = \frac{U}{R} \left( 1 - e^{-1,515 \cdot 10^3 \cdot t} \right) \quad (54)$$

Podle vztahu (54) dojde k ustálení proudu za dobu  $5G$ , tj. pro něš případ za cca 3 ms. Na obr. 29 je znázorněn osciloskopem průběhu proudu v závislosti na čase, získaný měřením podle obr. 24. Výsledky ukazují dobrou shodu experimentu s teorií.

Měření vlastní frekvence kmitání cívky a závěsu, jakož i doba přískoku brzdicích čelistí při vzdálenosti 2 mm byla měřena pomocí snímače síly vytvořeného destičkou z piezoelektrické keramiky opatřenou stříbrnými elektrodami. Měření bylo prověděno v zapojení podle obr. 30.



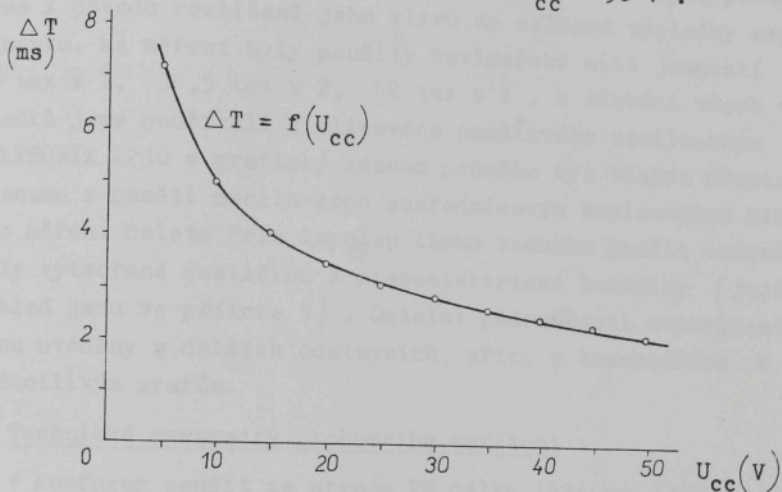
obr. 30 Zapojení měřicího obvodu při měření vlastní frekvence kmitů cívky a závěsu a doby přískoku brzdicích čelistí elektro dynamického pohonu ovlédacího členu.



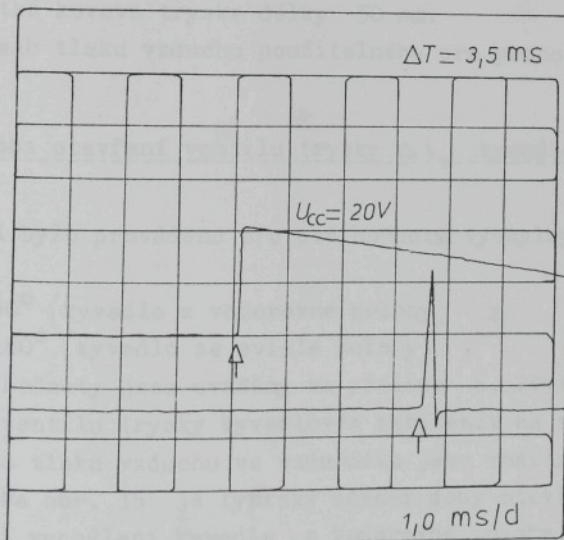
obr. 31 Osciloskopamy k zjištění vlastní frekvence kmitání cívky a závěsu. Měřeno při nulovém zdvihu čelistí .

Vlastní frekvence, která je závislá na amplitudě síly je patrná na oscilogramech v obr. 31.

Doba přískoku brzdicích čelistí v závislosti na napětí kondenzátoru C je na obr. 32 a ukázka záznamu průběhu na obr. 33. Závislost na obr. 32 ukazuje, že požadované doby přískoku 2 ms je dosaženo při napětí na kondenzátoru  $U_{cc} = 50$  V .



obr. 32 Doba přískoku brzdicích čelistí v závislosti na napětí.



obr. 33 Ukázka záznamu průběhu napětí s přískokem cívky ovládajícího člena.

## 6.5 Výsledky experimentu

### 6.51 Ověření funkce samotného prohozního zařízení

Ověření funkce samotného prohozního zařízení bylo prováděno z důvodu rozlišení jeho vlivu na celkové výsledky experimentu. ke měření byly použity bavlněřské nitě jemnosti 28 tex x 1, 38,5 tex x 2, 82 tex x 1 . K získání všech výsledků jsme používali číslicového paměťového osciloskopu TEKTRONIX 2230 a grafický záznam průběhu byl získán přepisem záznamu z paměti osciloskopu souřadnicovým zapisovačem BAK 5T. Pro měření doletu čela impulsu tlaku vzduchu použit snímače síly vytvořené destičkou z piezoelektrické keramiky (jejich pohled jsou ve příloze 5) . Ostatní podrobnosti experimentů jsou uváděny v dalších odstavcích, příp. v komentářích k jednotlivým grafům.

#### Technické parametry prohozního zařízení :

- + konfuzor použit ze stroje PN délky 1624 mm (měřeno od ústí trysky po umístění signálního členu) .
- + Kratká kovová tryska délky 50 mm.
- + Rozsah tlaku vzduchu použitelného pro prohoz 0,1 ÷ 0,5 MPa .

### 6.511 Doba otevření ventilu trysky $\Delta t_v$ kyvadlovým zařízením

Měření bylo prováděno pro dvě hodnoty výchylky kyvadla a to :

$$\alpha = 90^\circ \text{ (kyvadlo z vodorovné polohy)} \quad a$$

$$\alpha = 180^\circ \text{ (kyvadlo ze svislé polohy)} .$$

Naměřené hodnoty jsou uváděny ve příloze 6. Závislost doby otevření ventilu trysky kyvadlovým zařízením na velikosti prohozního tlaku vzduchu ve vzdušníku jsou znázorněny na obr. 34. Na obr. 35 je typický záznam doby otevření ventilu trysky při vychýlení kyvadla z vodorovné polohy  $\alpha = 90^\circ$  , tlak vzduchu ve vzdušníku  $p = 0,4$  MPa .

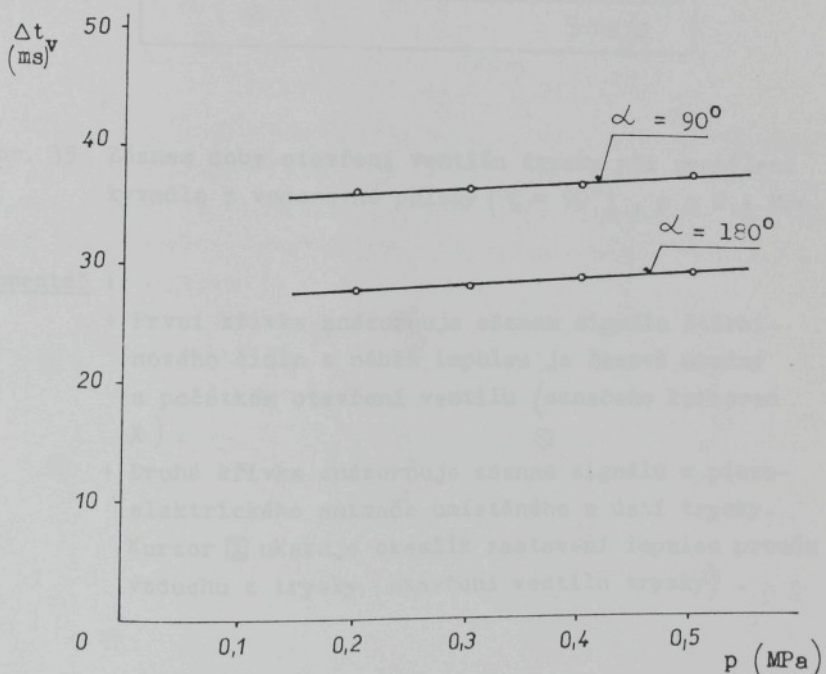
Zpracované výsledky měření jsou následující :

a) Kyvadlo z vodorovné polohy ( $\alpha = 90^\circ$ )

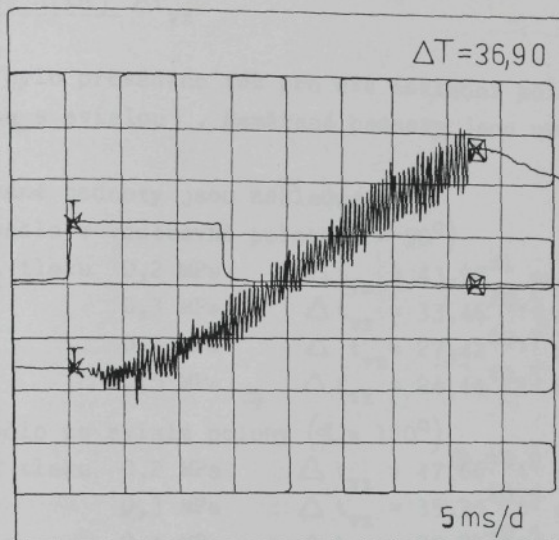
při tlaku 0,2 MPa	$\Delta t_v = 36,23 \pm 0,6$	ms
0,3 MPa	$\Delta t_v = 36,65 \pm 0,4$	ms
0,4 MPa	$\Delta t_v = 37,20 \pm 0,5$	ms
0,5 MPa	$\Delta t_v = 38,28 \pm 0,6$	ms

b) Kyvadlo ze svislé polohy ( $\alpha = 180^\circ$ )

při tlaku 0,2 MPa	$\Delta t_v = 27,90 \pm 0,4$	ms
0,3 MPa	$\Delta t_v = 28,23 \pm 0,4$	ms
0,4 MPa	$\Delta t_v = 28,63 \pm 0,2$	ms
0,5 MPa	$\Delta t_v = 29,49 \pm 0,3$	ms



obr. 34 Závislosti doby otevření ventilu trysky kyvadlovým zařízením na velikosti prohozního tlaku vzduchu ve vzdušníku.



obr. 35 Záznam doby otevření ventilu trysky při vychýlení kyvadla z vodorovné polohy ( $\alpha = 90^\circ$ ),  $p = 0,4 \text{ MPa}$ .

Komentář :

- + První křivka znázorňuje záznam signálu štěrbivového čidla a nábeh impulsu je časově shodný s počátkem otevření ventilu (označeno kurzorem X).
- + Druhé křivky znázorňuje záznam signálu z piezoelektrického snímače umístěného u ústí trysky. Kurzor X ukazuje okamžík zastavení impulsu proudu vzduchu z trysky (uzavření ventilu trysky).

6.512 Doba průletu čela tlakové vlny vzduchu konfuzorem  
(bez útku)  $\Delta t_{vz}$

Měření bylo prováděno též pro dvě základní polohy kyvadla (vodorovnou a svislou). Naměřené hodnoty jsou uváděny v příloze 7.

Zpracované hodnoty jsou následující :

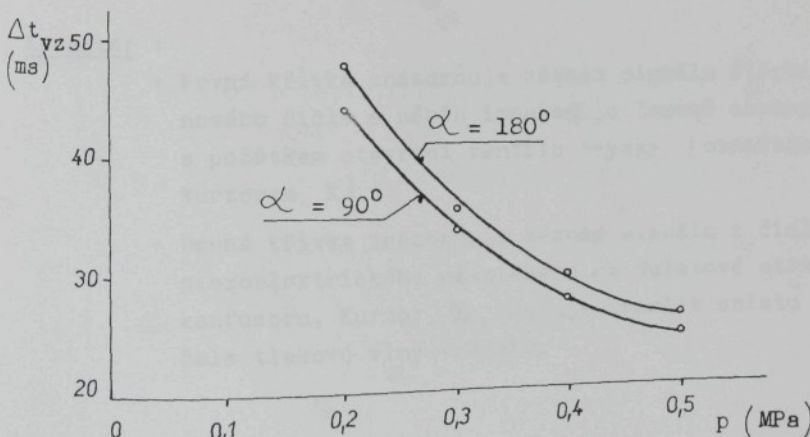
a) Kyvadlo z vodorovné polohy ( $\alpha = 90^\circ$ )

při tlaku 0,2 MPa	$\Delta t_{vz} = 43,97 \pm 1$ ms
0,3 MPa	$\Delta t_{vz} = 33,46 \pm 0,5$ ms
0,4 MPa	$\Delta t_{vz} = 27,42 \pm 0,7$ ms
0,5 MPa	$\Delta t_{vz} = 24,44 \pm 0,3$ ms

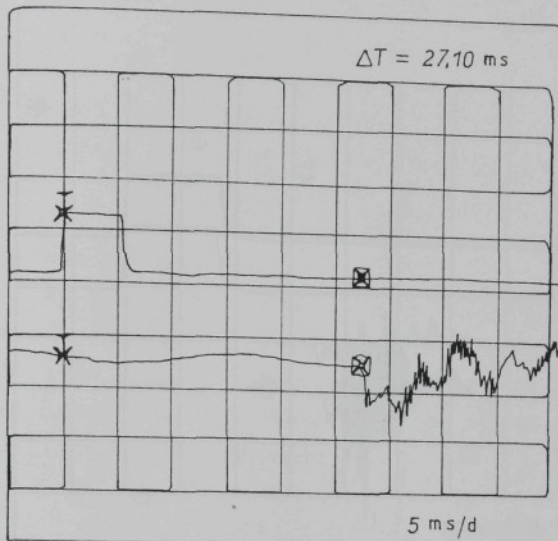
b) Kyvadlo ze svislé polohy ( $\alpha = 180^\circ$ )

při tlaku 0,2 MPa	$\Delta t_{vz} = 47,66 \pm 0,9$ ms
0,3 MPa	$\Delta t_{vz} = 35,35 \pm 0,5$ ms
0,4 MPa	$\Delta t_{vz} = 29,71 \pm 0,5$ ms
0,5 MPa	$\Delta t_{vz} = 26,11 \pm 0,3$ ms

Závislost doby průletu čela tlakové vlny vzduchu konfuzorem  $\Delta t_{vz}$  na prohozním tlaku  $p$  je na obr. 36. Obr. 37 znázorňuje seznam signálu z piezoelektrického čidla způsobeného doletem čela tlakové vlny vzduchu. Obr. 38 ukazuje signál tlakové vlny bez útku a s útkem.



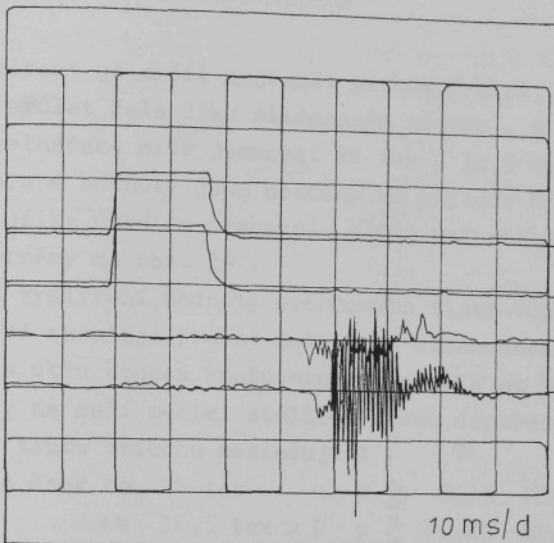
Obr. 36 Závislost doby doletu tlakové vlny na doletovou stranu konfuzoru na tlaku vzduchu ve vzdušníku.



obr. 37 Záznam doletu čela tlakové vlny na doletovou stranu konfuzoru.  $\alpha = 90^\circ$ ,  $p = 0,40 \text{ MPa}$ .

Komentář :

- + První křivka znázorňuje záznam signálu štěrbivového čidla a náběh impulsu je časově shodný s počátkem otevření ventilu trysky (označeno kurzorem X).
- + Druhé křivka znázorňuje záznam signálu z čidla piezoelektrického umístěného na doletové straně konfuzoru. Kurzor [ ] ukazuje okamžik doletu čela tlakové vlny vzduchu.



obr. 38 Záznam doletu čela tlakové vlny vzduchu bez útku  
a s útkem.

Komentář :

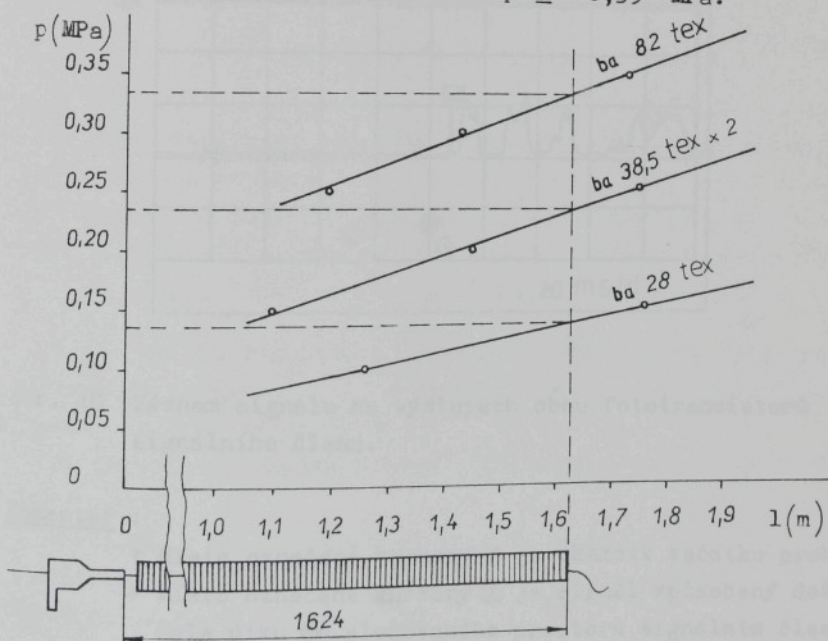
- + První a třetí křivka jsou záznamy prohozu bez útku (Jako v obr. 37)
- + Druhá a čtvrtá křivka jsou záznamy prohozu s útkem.
- + Čtvrté křivka má zřetelný nárůst signálu od okamžiku doletu čela útku. Dolet útku je za čelem tlakové vlny zpožděn.

6.513 Prohozené délka útku v závislosti na prohozním tlaku vzduchu ve vzdušníku

Cílem měření je určit nejmenší prohozní tlak, který ještě umožňuje průlet čela útku sledovaným místem. K měření byly použity bavlnářské nitě jemností 28 tex, 38,5 tex x 2, 82 tex. Naměřené hodnoty jsou uváděny ve příloze 8. Závislosti prohozené délky útku na prohozním tlaku vzduchu ve vzdušníku jsou znázorněny na obr. 39.

Z grafů vyplývají hodnoty prohozního tlaku vzduchu ve vzdušníku, které zaručují průlet čela útku sledovaným místem. Pro průlet čela útku koncem konfuzoru délky 1624 mm (měřeno od ústí trysky na naší měřicí stolici) jsou doporučované hodnoty prohozního tlaku vzduchu následující:

pro útek ba 28 tex	$p \geq 0,15 \text{ MPa}$
ba 38,5 tex x 2	$p \geq 0,25 \text{ MPa}$
ba 82 tex	$p \geq 0,35 \text{ MPa}$

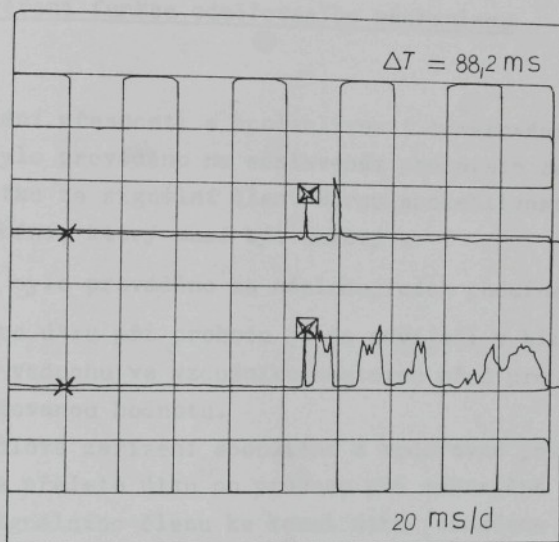


obr. 39 Prohozní délka útku v závislosti na prohozním tlaku vzduchu ve vzdušníku.

### 6.514 Výstupní signál signálního členu

Obr. 40 ukazuje zéznam typického průběhu signálu z výstupu signálního čidla, které je tvořeno dvěma diodami WK16432 sloužícími jako zdroj IČ záření, který prosvětluje prostor doletu útku a dvěma fototranzistory KPX 81, které hlídají světelné poměry v tomto prostoru. Na obrázku je sledován signál z každého z obou tranzistorů samostatně, ale při stejně časové ose.

Spolehlivost záchrany průchodu čela útku doletovým prostorem



obr. 40 Zéznam signálu na výstupech obou fototranzistorů signálního členu.

Komentář :

- + Místo označené kurzory X je okamžík začátku prohozu.
- + Místo označené kurzory  $\boxtimes$  je signál způsobený doletem čela útku do sledovaného prostoru signálním členem. Další průběh signálu je způsoben vlněním útku při průletu signálním členem.

byla hodnocena při 100 x opakovaném prohozu, sledováním signálu z fototranzistorů, přičemž byla zjištěna 100 % spolehlivost zaznamenání průchodu čela útku signálním (doletovým) prostorem. Nebyl zaznamenaván žádný falešný impuls pocházející od jiných příčin než je dolet útku. Při nedoletu útku (ve 2 případech ze 100) nebyl zaznamenán žádný signál, příčinou nedoletů bylo v obou případech zadrhnutí útku na vstupu do trysky, způsobené kličkou na nit.

#### 6.52 Ověření funkce odměřovacího mechanismu

Ověřování přesnosti a spolehlivosti odměřování útku při prohozu bylo prováděno na sestaveném prohozním zařízení měřením přeletu útku za signální člen. Mírou spolehlivosti přitom je počet selhání, který musí být nulový.

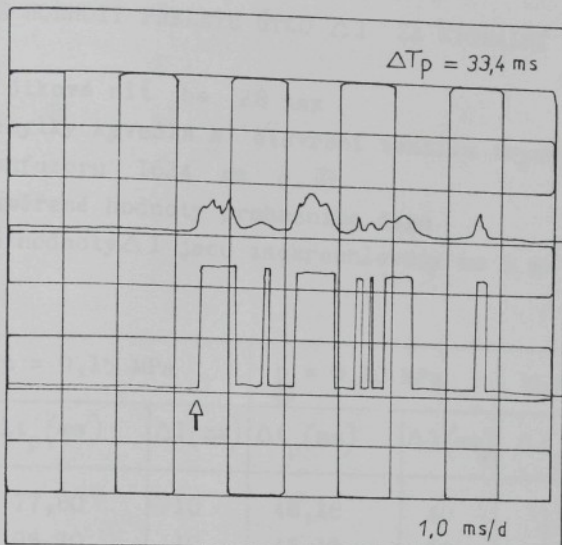
Měření bylo prováděno za následujících podmínek :

- + Zésoba útku při prohozu je na odvíječi v klidu.
- + Tlak vzduchu ve vzdušníku nastaven před prohozem na požadovanou hodnotu.
- + Kyvadlové zařízení spouštěno z vodorovné polohy ( $\alpha = 90^\circ$ ).
- + Délka přeletu útku po prohozu při zábrzděné niti měřena od signálního členu ke konci útku (označena  $\Delta l$ ) .

Výsledky zkoušek nového způsobu odměřování útku jsou sestaveny do tabulek 2, 3, 4 a graficky zpracovány jako histogramy na obr. 42 ÷ 50.

Na obr. 41 je ukázka záznamu funkčního signálu odměřovacího mechanismu.

Současně s měřením přeletu útku za signální člen bylo prováděno také měření doby průletu čela útku signálním členem (prohozního času)  $\Delta t_p$  (viz tab. 2, 3, 4) .



obr. 41 Záznam funkčního signálu odměřovacího mechanismu .

Komentář :

- + První křivka znázorňuje záznam signálu z signálního člena.
- + Druhé křivky znázorňuje záznam zpracovaného signálu, kterým je realizovéno přes ovládací člen zastavení letu útku.
- + Místo označené šipkovým kurzorem je okamžik zastavení letu útku.

Tab. 2

NAMĚŘENÉ HODNOTY PŘELETU ÚTKU  $\Delta l$  ZA SIGNÁLNÍ ČLEN

Použitá útková niť je 28 tex

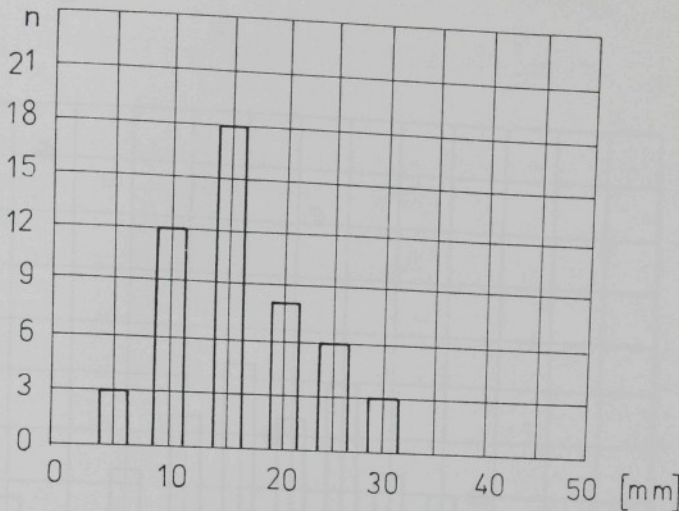
úhel výchylky kyvadla k otevření ventilu trysky  $\alpha = 90^\circ$   
Délka konfuzoru 1624 mm

$\Delta t_p$  - Naměřené hodnoty prohozního času

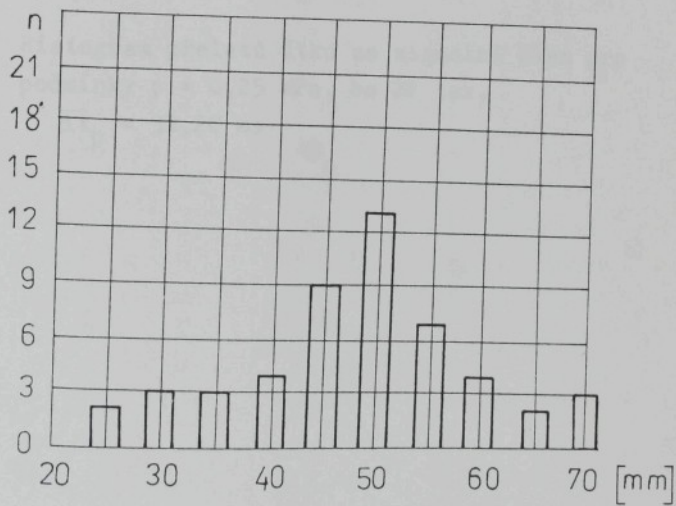
Naměřené hodnoty  $\Delta l$  jsou zaokrouhleny na 5 mm

n	$p = 0,15 \text{ MPa}$		$p = 0,20 \text{ MPa}$		$p = 0,25 \text{ MPa}$	
	$\Delta t_p (\text{ms})$	$\Delta l (\text{mm})$	$\Delta t_p (\text{ms})$	$\Delta l (\text{mm})$	$\Delta t_p (\text{ms})$	$\Delta l (\text{mm})$
1	77,80	10	48,18	40	33,40	85
2	95,30	10	45,10	60	33,00	80
3	104,20	5	45,10	65	32,76	85
4	86,30	10	48,16	40	33,20	100
5	72,25	15	43,66	50	30,90	80
6	93,80	10	45,76	35	31,30	90
7	78,75	30	45,44	45	32,70	80
8	85,30	10	44,00	50	33,44	70
9	102,20	5	43,92	50	32,69	100
10	69,40	15	45,58	25	30,57	90
11	68,85	15	43,89	50	31,51	80
12	75,90	10	44,60	50	30,49	95
13	80,75	15	42,86	55	34,11	70
14	66,55	15	48,90	45	31,23	95
15	64,15	30	50,14	25	30,03	100
16	75,70	10	43,84	55	31,02	100
17	64,50	15	44,38	45	31,21	95
18	67,75	10	48,64	30	30,46	95
19	65,90	15	46,40	40	31,41	90
20	64,50	15	42,92	50	31,36	90
21	66,55	15	44,26	45	32,60	90
22	70,55	20	40,54	55	29,80	115

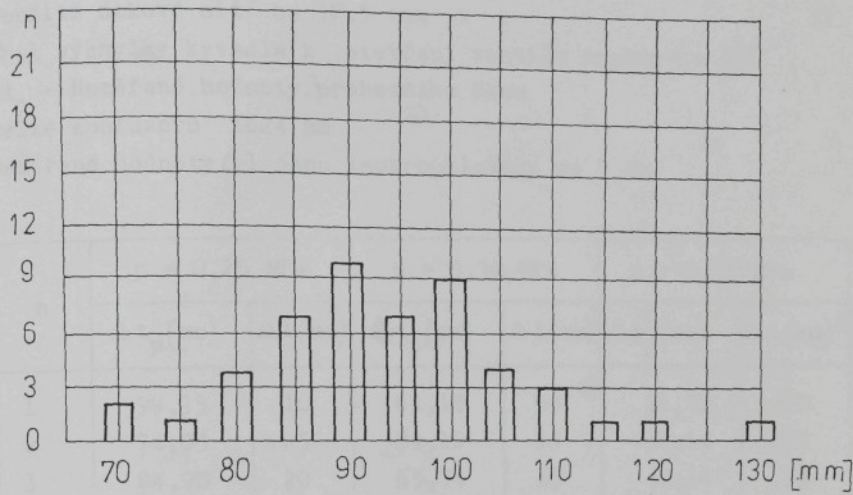
n	p = 0,15 MPa		p = 0,20 MPa		p = 0,25 MPa	
	$\Delta t_p$ (ms)	$\Delta l$ (mm)	$\Delta t_p$ (ms)	$\Delta l$ (mm)	$\Delta t_p$ (ms)	$\Delta l$ (mm)
23	68,88	20	41,60	60	30,40	85
24	83,90	10	39,62	45	30,92	85
25	84,90	10	42,52	55	29,76	110
26	88,60	20	42,70	55	30,55	85
27	85,83	20	45,30	30	29,49	105
28	105,20	5	45,28	50	33,32	90
29	98,65	10	45,26	50	31,34	120
30	65,45	30	42,44	55	30,70	105
31	78,35	10	39,58	55	31,68	100
32	86,20	15	44,48	35	30,77	90
33	79,00	15	38,36	70	35,92	90
34	74,20	25	40,76	50	32,91	110
35	76,75	15	46,32	30	30,53	105
36	86,75	15	43,64	50	30,11	85
37	77,05	15	46,20	45	29,63	110
38	64,87	25	43,96	50	29,81	100
39	76,50	15	41,06	60	33,39	90
40	78,20	15	40,32	60	30,13	100
41	63,15	25	43,40	45	29,72	100
42	64,50	25	42,56	45	30,29	85
43	75,60	20	39,08	65	29,89	95
44	74,20	20	38,44	70	30,75	90
45	79,00	15	39,54	70	30,65	100
46	62,59	25	43,20	45	30,00	75
47	73,29	20	43,82	40	30,72	95
48	82,00	15	40,56	50	30,28	105
49	63,50	25	39,22	35	30,98	130
50	76,50	20	37,48	50	30,30	95



obr. 42 Histogram přeletů útku za signální člen pro podmínky  
 $P = 0,15 \text{ MPa}$ , ba 28 tex .  $\bar{\Delta t}_p = 77,41 \text{ ms}$



obr. 43 Histogram přeletů útku za signální člen pro podmínky  
 $p = 0,20 \text{ MPa}$ , ba 28 tex .  $\bar{\Delta t}_p = 43,46 \text{ ms}$



obr. 44 Histogram přeletů útku ze signální člen pro podmínky  $p = 0,25 \text{ MPa}$ , ba 2E tex.

$$\bar{\Delta t}_p = 31,28 \text{ ms}$$

Tab. 3

NAMĚŘENÉ HODNOTY PŘELETU ÚTKU  $\Delta l$  ZA SIGNÁLNÍ ČLEN

Použitá útková niť ba 38,5 tex x 2

Úhel výchylky kyvadla k otevření ventilu trysky  $\alpha = 90^\circ$

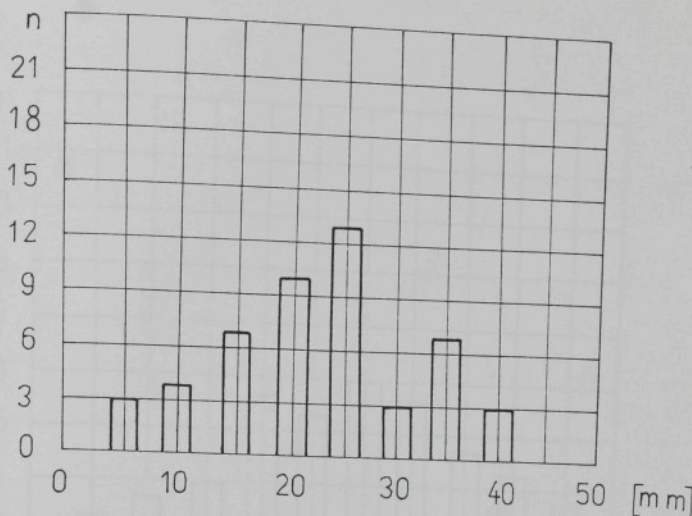
$\Delta t_p$  - Naměřené hodnoty prohozního času

Délka konfuzoru 1624 mm

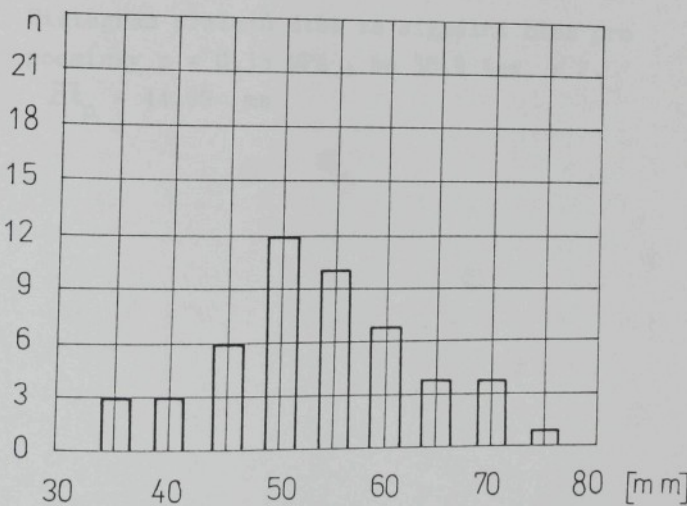
Naměřené hodnoty  $\Delta l$  jsou zaokrouhleny na 5 mm

n	$p = 0,25 \text{ MPa}$		$p = 0,30 \text{ MPa}$		$p = 0,35 \text{ MPa}$	
	$\Delta t_p (\text{ms})$	$\Delta l (\text{mm})$	$\Delta t_p (\text{ms})$	$\Delta l (\text{mm})$	$\Delta t_p (\text{ms})$	$\Delta l (\text{mm})$
1	99,35	10	61,18	50	38,70	80
2	74,05	25	54,18	55	38,64	105
3	84,90	20	65,74	45	42,14	95
4	85,00	20	55,30	50	44,30	90
5	99,25	15	61,38	50	51,76	65
6	73,65	25	50,25	45	41,94	110
7	105,90	5	56,70	50	39,58	85
8	80,55	35	59,80	75	46,88	75
9	73,35	25	63,76	50	40,84	105
10	65,05	20	61,82	50	43,00	95
11	72,00	20	62,96	55	44,08	90
12	84,90	15	50,12	70	49,62	85
13	86,85	25	65,86	60	45,98	110
14	78,90	25	66,18	35	46,18	90
15	89,75	40	65,12	50	53,84	100
16	92,30	35	64,40	60	53,14	90
17	68,25	35	65,30	40	50,10	100
18	60,60	25	59,76	55	36,68	100
19	78,40	20	57,44	70	39,28	115
20	72,80	35	48,28	70	47,94	80
21	85,30	35	58,80	45	47,72	85
22	100,70	15	62,30	40	41,24	95

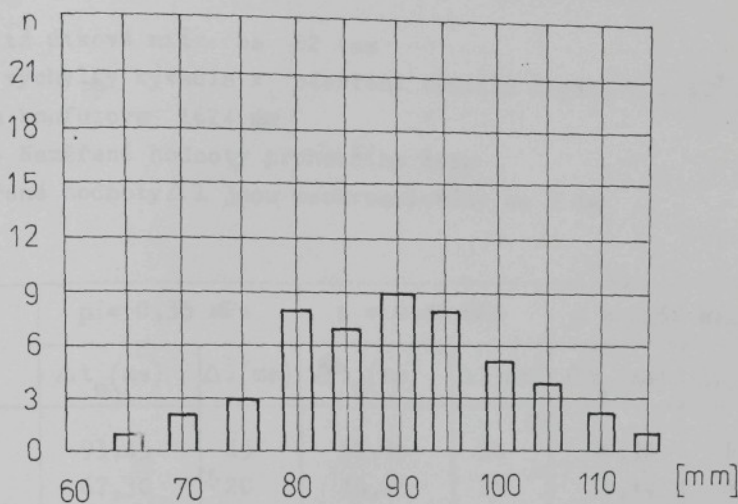
n	p = 0,25 MPa		p = 0,30 MPa		p = 0,35 MPa	
	$\Delta t_p$ (ms)	$\Delta l$ (mm)	$\Delta t_p$ (ms)	$\Delta l$ (mm)	$\Delta t_p$ (ms)	$\Delta l$ (mm)
23	69,75	35	66,36	55	44,18	105
24	88,75	30	63,96	60	41,62	85
25	113,95	5	57,14	35	40,38	80
26	100,80	10	67,04	65	48,04	75
27	65,55	30	58,18	50	43,80	90
28	82,05	30	69,80	60	46,88	105
29	105,35	15	64,92	45	47,76	95
30	118,00	5	67,94	55	47,68	95
31	84,10	15	46,54	65	47,54	80
32	94,15	10	62,00	60	44,92	90
33	89,50	35	60,80	45	44,68	95
34	114,20	10	66,22	60	50,06	90
35	90,30	40	65,10	55	38,74	100
36	72,90	25	48,88	70	37,80	100
37	73,45	25	60,90	55	41,16	80
38	87,45	15	55,98	50	41,50	70
39	77,15	40	65,36	55	42,04	85
40	100,10	20	67,46	35	43,72	95
41	80,80	25	44,58	65	49,54	90
42	90,80	15	54,50	45	47,22	85
43	65,95	25	64,12	50	44,38	80
44	71,90	20	68,39	40	42,46	80
45	65,05	25	61,08	55	46,46	95
46	78,90	20	56,14	60	46,22	80
47	80,10	20	70,32	65	45,92	90
48	71,90	25	66,88	55	55,06	70
49	88,70	20	55,70	50	46,66	85
50	76,50	25	70,86	50	49,26	75



obr. 45 Histogram přeletů útku za signální člen pro podmínky  $p = 0,25 \text{ MPa}$ ,  $ba 38,5 \text{ tex} \times 2$ .  
 $\bar{\Delta t}_p = 64,20 \text{ ms}$



obr. 46 Histogram přeletů útku za signální člen pro podmínky  $p = 0,30 \text{ MPa}$ ,  $ba 38,5 \text{ tex} \times 2$ .  
 $\bar{\Delta t}_p = 60,88 \text{ ms}$



obr. 47 Histogram přeletů útku za signální člen pro podmínky  $p = 0,35 \text{ MPa}$ ,  $ba = 38,5 \text{ tex} \times 2$ .

$$\bar{\Delta t}_p = 44,99 \text{ ms}$$

Tab. 4

NAMĚŘENÉ HODNOTY PŘELETU ÚTKU  $\Delta l$  ZA SIGNÁLNÍ ČLEN

Použitá útková niť ba 82 tex

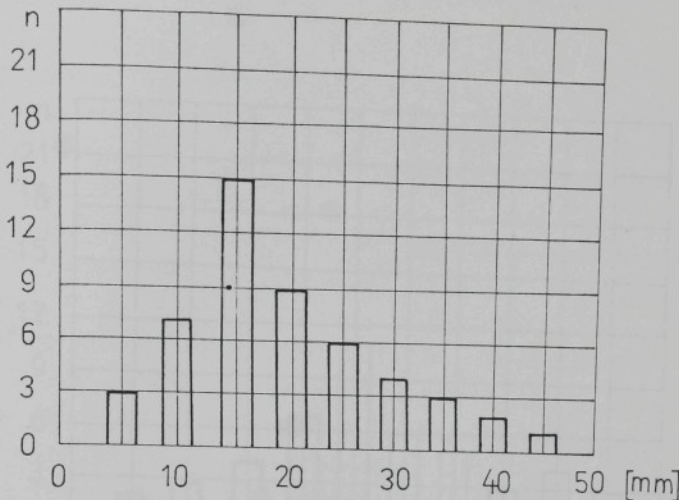
Úhel výchylky kyvadla k otevření ventilu trysky  $\alpha = 90^\circ$   
Délka konfuzoru 1624 mm

$\Delta t_p$  - Naměřené hodnoty prohozního času

Naměřené hodnoty  $\Delta l$  jsou zaokrouhleny na 5 mm

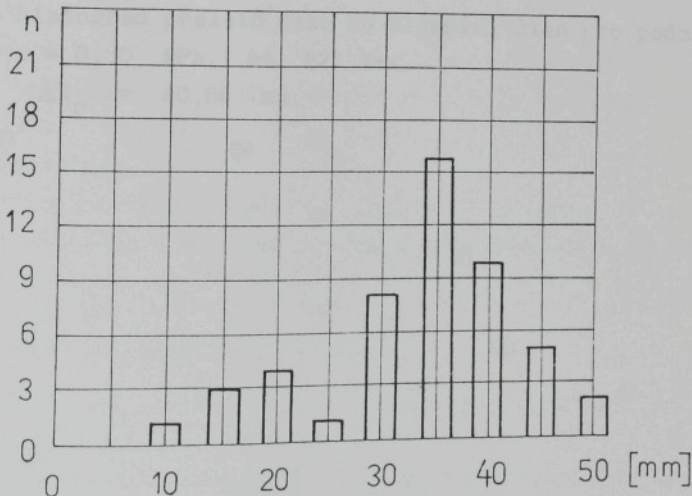
n	$p = 0,35 \text{ MPa}$		$p = 0,40 \text{ MPa}$		$p = 0,50 \text{ MPa}$	
	$\Delta t_p (\text{ms})$	$\Delta l (\text{mm})$	$\Delta t_p (\text{ms})$	$\Delta l (\text{mm})$	$\Delta t_p (\text{ms})$	$\Delta l (\text{mm})$
1	93,45	15	57,95	30	36,36	65
2	67,30	20	45,65	35	38,44	45
3	74,50	30	63,50	35	46,70	55
4	96,90	15	64,20	45	33,46	70
5	102,00	30	65,35	25	38,14	45
6	117,70	15	57,85	35	42,24	45
7	71,90	20	57,75	45	40,14	55
8	88,50	15	75,70	40	45,10	35
9	83,60	15	63,05	20	47,28	55
10	91,70	10	61,75	35	37,26	70
11	81,40	25	71,70	35	42,70	60
12	76,55	15	46,20	40	36,18	65
13	104,60	15	50,30	20	35,32	80
14	106,90	10	65,30	35	43,48	40
15	76,85	20	61,45	35	40,72	45
16	87,45	10	66,40	45	49,14	50
17	73,40	35	68,70	35	36,64	40
18	65,30	20	59,10	40	38,60	80
19	106,80	10	52,90	40	47,04	55
20	62,90	5	49,90	15	36,84	80

n	p = 0,35 MPa		p = 0,40 MPa		p = 0,50 MPa	
	$\Delta t_p$ (ms)	$\Delta l$ (mm)	$\Delta t_p$ (ms)	$\Delta l$ (mm)	$\Delta t_p$ (ms)	$\Delta l$ (mm)
21	93,85	15	56,50	35	41,40	60
22	110,0	5	80,00	30	47,90	55
23	92,20	35	47,05	40	43,30	55
24	66,60	25	62,85	35	44,14	55
25	60,40	25	53,00	20	34,02	85
26	87,45	10	57,40	40	41,48	50
27	90,50	20	65,90	15	40,52	55
28	75,35	15	57,15	40	38,00	65
29	84,80	15	74,90	35	37,98	85
30	77,95	30	82,35	15	35,68	60
31	65,55	35	60,20	40	40,78	75
32	115,75	15	50,10	40	41,70	60
33	68,70	5	63,20	35	39,94	50
34	101,90	20	63,45	30	44,54	60
35	89,25	15	60,10	30	36,48	50
36	74,75	25	52,60	20	36,52	75
37	78,25	10	67,30	40	38,10	65
38	79,90	40	58,55	35	40,92	40
39	73,60	20	48,30	30	45,10	35
40	79,10	20	52,05	45	45,10	55
41	64,40	30	55,85	30	41,22	50
42	69,55	25	59,05	35	38,36	75
43	81,35	40	47,00	45	46,04	55
44	88,90	10	47,70	30	36,94	50
45	104,70	15	64,85	35	41,52	60
46	103,10	15	78,20	10	46,76	50
47	70,35	20	75,30	50	36,02	75
48	95,05	15	79,70	50	38,48	70
49	101,75	45	54,10	35	39,40	65
50	80,35	25	79,25	30	40,02	55



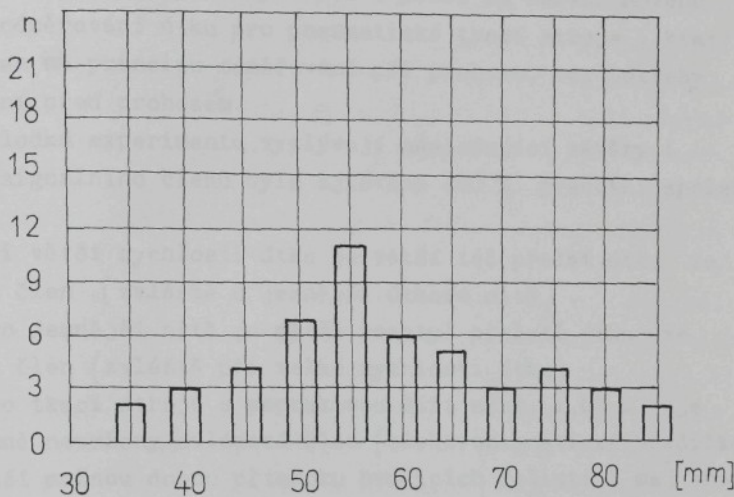
obr. 48 Histogram přeletů útku za signální člen pro podmínky  $p = 0,35 \text{ MPa}$ ,  $ba = 82 \text{ tex}$ .

$$\overline{\Delta t}_p = 85,08 \text{ ms}$$



obr. 49 Histogram přeletů útku za signální člen pro podmínky  $p = 0,40 \text{ MPa}$ ,  $ba = 82 \text{ tex}$ .

$$\overline{\Delta t}_p = 61,17 \text{ ms}$$



obr. 50 Histogram přeletu útku za signální člen pro podmínky  
 $p = 0,50 \text{ MPa}$ ,  $ba = 82 \text{ tex}$ .

$$\bar{\Delta t}_p = 40,06 \text{ ms}$$

## 6.6 Analýza získaných poznatků s konkretní závěr pro realizaci

V této statí byl podán přehled o práci na řešení nového způsobu odměřování útku pro pneumatické tkací stroje, který je založen na principu odměřování při prohozu, bez potřeby odměřování před prohozem.

Z výsledků experimentu vyplývají následující závěry :

1. U signálního členu byla zjištěna 100 % pracovní spolehlivost.

2. Při větší rychlosti útku je větší též přelet útku za signální člen (zvláště u jemnější útkové nitě).

3. Pro jemnější nitě je větší rozptyl přeletů útku za signální člen (zvláště při velké rychlosti útku).

4. Pro tkací stroje s paprskovou šíří např. 1,65 m je prozatím navržený ovládací člen (elektromagnetické brzdíčka s nejmenší možnou dobou přískoku brzdicích čelistí 2 ms) vhodný pro pracovní rychlosť do 600 ot/min.

K sledování vlastnosti zařízení k realizaci toho způsobu odměřování, bylo třeba připravit zkušební "lavici", prověřit její vlastnosti a potom ji využít k vlastnímu měření.

Pro realizaci samotného zařízení, které je převážně elektrického nebo elektronického charakteru, byly vyvinuty a odzkoušeny :

- elektronické obvody
- signální člen pro sledování doletu čela útku
- ovládací člen s rychlou reakcí k zabrzdění útku na vstupní straně prošlupu.

## 6.7 Návrh na další postup vývoje

Stručně je zde nastíněn další postup vývoje, který je vzhledem k získaným poznatkům reálný :

1. Zdokonalovat ovládací člen pro rychlosť menší než 2 ms.
2. Optimalizovat elektronické obvody pro rychlosť do 1000 ot/min.
3. Vyvinout doletový snímač pro bezkonfuzorový prohoz.
4. Postavit zkušební lavici bez konfuzoru s profilovým paprskem a přifukovacími tryskami.

## 7. SHRNUTÍ NOVÝCH POZNATKŮ

Disertační práce byla členěna do dvou hlavních částí. První část byla zaměřena na řešení pohybu útku při prohozu na vzduchových konfuzorových tkacích strojích. Zavedení zjednodušujících matematických modelů approximujících proces prohozu útku bylo provedeno po prostudování teoretických a experimentálních prací různých autorů, po analýze různých charakteristik jednotlivých prvků prohozního ústrojí, rovněž jejich rozhodujících technologických vazeb.

Uvedené matematické modely umožnuje vyhodnotit mj. dva důležité faktory jak z hlediska technologického tak konstrukčního, tj. činitel poklesu rychlosti proudu vzduchu ve vzduchovém kanálu (konfuzoru) a koeficient odporu proti pohybu útku prohozním médiem.

Výsledky teoretické analýzy získané při řešení případu prohozu s ba-útkem 28 tex dají dobré informace o charakteristikách prohozního ústrojí a pro dané předpoklady jsou srovnatelné s experimentálními zjištěnými hodnotami.

Výsledky lze využít jako jedny z výchozích poznatků při řešení vědeckovýzkumných úkolů např. v oblasti automatického řízení prohozního procesu, zvyšování produkce a produktivity práce.

Druhá část práce byla zaměřena na návrh modelového zařízení pro ověřování nového způsobu odměrování útku na pneumatických tkacích strojích.

Návrh na nové prvky nového odměrovacího mechanismu vycházel z principu, popsaném v patentové přihlášce. Jsou vlastně tři nejdůležitější prvky : signální člen, ovládací člen a elektronický obvod ke zpracování signálů ze snímačů.

Signální člen je v podstatě doletový snímač pracující na základě fotoelektrického principu. Spolehlivost záchytu doletu čela útku byla zjištěna dostatečná při použití dvou světelných zdrojů.

Ovládací člen je v podstatě čelisťové brzda s elektrodynamickým pohonem. Návrh na ovládací člen vycházel ze zkušenosti z rychlostní funkce nůžek čističe příze USTER-TESLA. Nejdůležitější požadavek na vlastnosti ovládacího členu je, aby čas reakce

brzdy byl co nejkratší, ne délší než 2 ms. U nového navrženého ovládacího členu je již tento požadavek splněn.

Elektronické obvody ke zpracování signálů byly sestaveny z zesilovačů signálu, monostabilních obvodů a koincidentního obvodu.

Navržené prvky byly experimentálně ověřeny na experimentálním zařízení simulujícím vzduchový konfuzorový prohoz.

Nejprve byly sledovány vlastnosti samotného prohozního zařízení. Byly na experimentálním zařízení sledovány závislosti :

+ Závislost doby otevření ventilu trysky na prohozním tlaku při dvou základních polohách kyvadla (z vodorovné a svislé polohy)

+ Závislost doby průletu čela tlakové vlny vzduchu konfuzorem na prohozním tlaku při též dvou základních polohách kyvadla.

+ Závislost prohozených délek útku na prohozním tlaku při vyklopení kyvadla z vodorovné polohy.

Na experimentálním zařízení byla sledována též spolehlivost záchytů doletu čela útku signálním členem.

Vlastní ověřování přesnosti a spolehlivosti odměřování útku při prohozu bylo prováděno na sestaveném experimentálním zařízení měřením přeletů útku ze signální člen.

Experimenty byly prováděny pro bavlněné nitě 2E tex, 3E,5 tex x 2, E2 tex. Při každém prohozu byl sledován vliv tlaku ve vzdušníku na přelet útku za signální člen, dle vliv rychlosti útku, byla sledována současně spolehlivost zachytů čela útku signálním členem stejně jako spolehlivost zebrzdění pohybu útku ovládacím členem.

Získané poznatky při ověřování nového odměřovacího mechanismu budou použity při dalším zdokonalování funkčního modelu popř. při realizaci na tkacím stroji.

## 8. ZÁVĚR

Hlavní náplní předložené práce je problém ověření nového způsobu odměřování útku během jeho průletu prošlupem na pneumatickém tkacím stroji. Přínosem práce k řešení problematiky je nakonec realizováno modelové zařízení pro ověřování funkční schopnosti tohoto nového způsobu odměřování útku a jeho funkce vyzkoušena. Výsledky (viz obr. 42 ÷ 50) ukazují, že tato cesta je schůdné a bude možno pokračovat ve zdokonalování funkčního modelu s eventuální realizací na tkacím stroji.

Řešení v rámci disertační práce bylo prověděno na experimentálním zařízení simulujícím vzduchový konfuzorový prohoz. Úpravou signálního členu by bylo možné realizovat i pro bezkonfuzorový prohoz např. pro prohoz s profilovým paprskem a přifukovacími tryskami.

Analytické řešení pohybu útku v konfuzoru je jako dalším příspěvkem práce. Lze říci, že tento problém není ještě zcela vyřešený. V předložené disertaci je odvozen jeden z možných přibližných vyjádření zahrnujících i vliv odporových sil, které umožňuje poměrně jednoduchou sproximaci pohybu útku, z něhož vyplývají různé parametry potřebné pro posouzení konkrétního prohozního ústrojí.

Získané výsledky by mohly být využity při řešení problematiky optimalizace stroje PN za účelem zvýšení jeho otéček a výkonu.

POUŽITÁ LITERATURA

1. ABRAMOVIC, H. N. : Teorijsa turbulentnych struj . Mockva 1960
2. ANTAL, Š., HORÁK, M. : Termomechanika, zbierka příkladov. ALFA Bratislava 1982
3. ANDERSON, S. L., STUBBLE, R.: Journal of the textile institute 49, T.53 /1958/
4. BROUČEK, V., PRÁŠIL, V., SVATÝ, V.: Odměřovač ZN JUTA
5. DUXBURY, V., LORD, P. R., VASWANI, T. B.: A study of some factors involved in pneumatic weft propulsion. Journal of the textile institute, proceedings N 10, 1959, str.558-573.
6. EGRT, F.: Fotoelektrické měření rychlosti pohybu útku v konfuzoru pneumatického tkacího stroje. Sborník prací VŠST v Liberci 1979
7. FENIK, M.: Špičkové textilní stroje, ITMA 1983, str.121-126
8. HRUŠ, M.: Metoda pro vyhođnocování konfuzoru, ELITEX, KVÚ Liberec - podník. tém. úkol č. 11/17 - 83
9. CHIEN, L. H.: Odměřování a měchání útku na pneumatických tkacích strojích. Písemná práce k odborné zkoužce, VŠST v Liberci 1986
10. ITMA 1987 : Špičkové textilní stroje. ČSVTS ELITEX Liberec
11. JANSA, M.: Teoretické úvahy o průhozu tryskových stavů. Sborník přednášek ČSVTS Liberec 1967, str. 8-15
12. KLOČKOVA, G. M.: O pnevmatičeskoj proklađke utočnoj niti na tkackom stanke. IVUZ No 6 / 73 /. Technologija tekstilnoj promyšlennosti 1969, str. 98 - 102
13. KOLOC, Z.: Řešení pneumatického průhozu útku dodáváného odvíječem. Výzkumné zpráve SVÚT Liberec 1983
14. KRAUSE, H. W.: Přítomnost a budoucnost pneumatických tkacích strojů. Informativní přehled VÚB č.3 1981
15. LJUBOVICKIJ, V. P., AKAJEV, A. A.: Dinamika niti konečnych razmerov v gazovom potoke pneumaticeskogo tkackogo stanka P - 105. Technologija tekstilnoj promyšlennosti, No 5 , 1970, str. 50 - 56
16. MACK, C., SMART, J. L.: Journal of the textile institute 45, T.349 / 1954 /

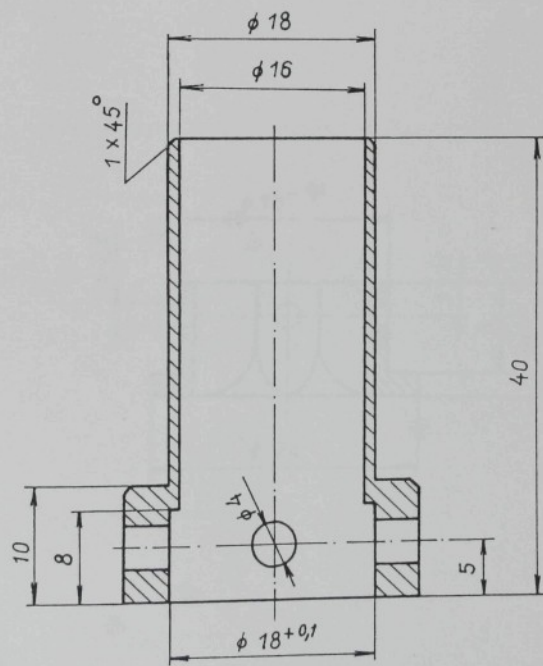
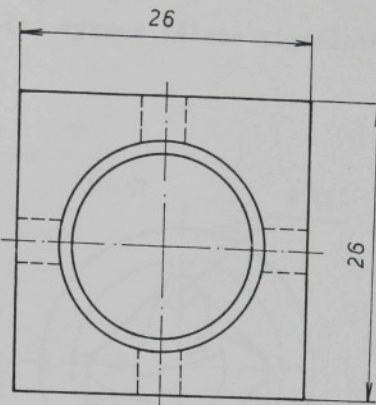
17. MINORY UNO : A study of air-jet looms . Journal of the textile machinery society of Japan No 2, 1972
18. NAM, T. M.: Studie procesu prohozu útku na pneumatickém tkacím stroji metodou simulatoru prohozu. Kandidátská disertační práce , VŠST v Liberci,1984
19. NOSEK, S.: Tryskové prohozy . 14. mezinárodné tkáčské konferencia 2.-4. Júna 1982 , ČSVTS
20. NOSEK, S.: Fyzikální zákonitosti energetické náročnosti tkací techniky . Textil č.10, 1984
21. PILIPENKO, V. A.: Pnevmatičeskie mechanizmy prokladovyaniya niti. Legkaja industrije, 1977
22. PILIPENKO, V. A.: K issledovaniju skorosti dviženija utočnoj niti na pnevmatičeskem tkackom stanke. IVUZ 1/38/, Technologija tekstilnoj promyslennosti 1964, str.121-126
23. PILIPENKO, V. A.: Issledovaniye vozdušnogo potoka v kanale pnevmatičeskogo tkackogo stanka. Technologija tekstilnoj promyšlennosti No 2 /45/, 1965, str. 138 - 142
24. PILISI, J.: L Industrie textile 1984 únor č. 1141, str. 129 - 138
25. POPOV, S.G.: O prodolnoj tijage niti vozdušnoj strujej. Tekstilnaja promyšlennost No 5, 1961, str. 57 - 59
26. POPOV, S. G., BALČENKO, V. I., NIKITINA, H. V.: O prodolnoj tijage niti vozdušnoj strujej. Tekstilnaja promyšlennost No 10, 1961, str. 47 - 49
27. POPOV, S. G., JAKOLEV, L. S.: O prodolnoj tijage niti vozdušnoj strujej. Tekstilnaja promyšlennost No 9, 1963, str. 82 - 87
28. POPOV, S. G., JAKOLEV, L. S.: Někotoryje slučaje sloučeníja niti vdol osy v podolnom potoku. Tekstilnaja promyšlennost No 6, 1966
29. PRÁŠIL, V.: Rozbor a optimalizace procesu odvíjení útkové nitě na tkacích strojích. Doktorské disertační práce, VŠST v Liberci 1982
30. PRÁŠIL, V., MRÁZEK, J., VITAMVÁS, Z., HRUŠ, M.: Výzkumná zpráva VHČ č. 68008/390. Řešení tuhosti rámu a nového způsobu odměřování a zanášení útku na stroji PN. Liberec 11/ 1988

31. SELWOOD : Journal of the textile institute 53, T. 576 / 1962/
32. SCHLICHTER, S., WAHHOUD, A.: Stav a směry technického rozvoje u tkacích strojů. Informativní přehled VÚB č.6, 1986, str. 22 - 36
33. ŠKOP, P.: Kontrolní, informační a řídící systémy prohozních ústrojí vzduchových tryskových tkacích strojů. Kandidátská disertační práce, VŠST v Liberci, 1985
34. VAŠÍČEK, V.: Československé vzduchové tkací stroje a jejich perspektiva . Textil 38 / 1983 /, č.4, str. 128-132 a výzkumné zprávy VVÚ ZVS Brno.
35. VITAMVÁS, Z., SVATÝ, V., PRÁŠIL, V.: AO 251623. Textil 43 / 1988 /, č.12, str. 469
36. WAHHOUD, A.: Vzduchové tryskové tkací stroje - zpětný pohled, současný stav rozvoje a budoucí výhledy. Informativní přehled VÚB č.2, 1982

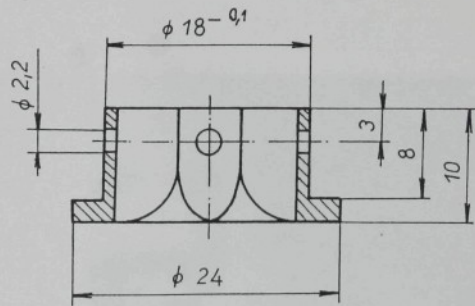
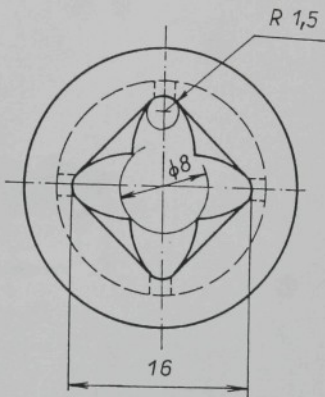
## SEZNAM PŘÍLOH

- Příloha 1 : Detajný výkres tělesa signálního snímače.
- Příloha 2 : Detajný výkres tělesa signálního snímače.
- Příloha 3 : Pohled čističe příze USTER - TESLA
- Příloha 4 : Pohled navrženého ovládacího členu.
- Příloha 5 : Pohled piezoelektrických snímačů.
- Příloha 6 : Naměřené hodnoty doby otevření ventilu trysky  
kyvadlovým zařízením.
- Příloha 7 : Naměřené hodnoty doby průletu čela tlakové  
vlny vzduchu konfuzorem / bez útku /.
- Příloha 8 : Naměřené hodnoty prohozených délek útku v  
závislosti na prohozním tlaku vzduchu ve  
vzdušníku.
- Příloha 9 : Úkazky záznamů signálu z piezoelektrického a  
štěrbinového snímače z paměti osciloskopu  
TEKTRONIX 2230.

Příloha 1 : Detailní výkres tělesa signálního snímače



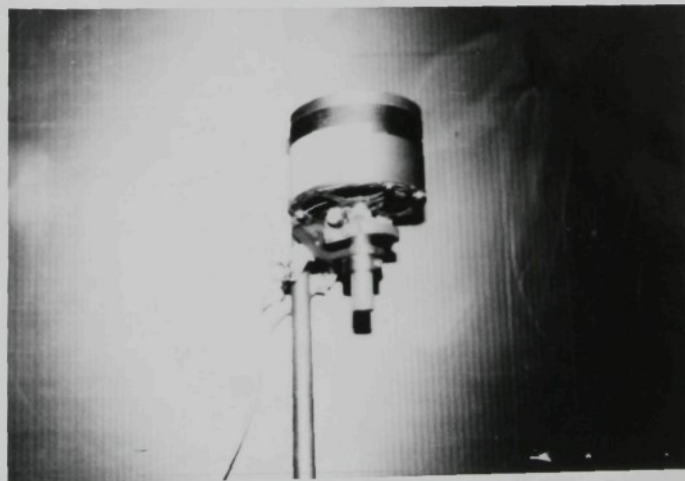
Příloha 2 : Detailní výkres tělesa signálního snímače



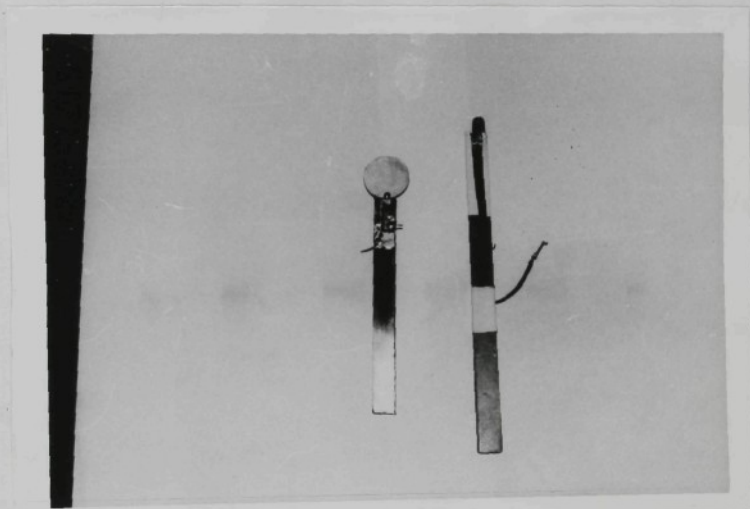
Příloha 3 : Pohled čističe příze USTER - TESLA



Příloha 4 : Pohled navrženého ovládacího členu



Příloha 5 : Pohled piezoelektrických snímačů



Příloha 6 :

NAMĚŘENÉ HODNOTY DOBY OTEVŘENÍ VENTILU TRYSKY  
KYVADLOVÝM ZARÍZENÍ ( $\Delta t_v$  (ms))

1. Kyvadlo z vodorovné polohy ( $\alpha = 90^\circ$ )

$p = 0,5 \text{ MPa}$	38,65	38,50	38,35	38,55	38,40	$\bar{x} = 38,28$ $s = 0,2228$
	37,70	38,20	38,30	38,15	38,39	
	38,55	38,35	38,30	38,30	38,45	
	37,82	37,92	38,35	38,33	38,31	
	37,95	38,25	38,15	38,37	38,31	
$p = 0,4 \text{ MPa}$	37,19	37,25	37,65	37,20	37,23	$\bar{x} = 37,20$ $s = 0,2386$
	37,20	36,90	37,18	37,20	36,80	
	37,70	37,22	37,22	37,25	36,92	
	36,70	37,25	37,50	37,22	37,25	
	37,19	36,85	37,15	37,60	37,27	
$p = 0,3 \text{ MPa}$	37,00	36,99	36,50	36,55	36,70	$\bar{x} = 36,65$ $s = 0,1502$
	36,40	36,55	36,80	36,60	36,69	
	36,95	36,60	36,58	36,62	36,72	
	36,65	36,58	36,68	36,66	36,54	
	36,50	36,45	36,65	36,56	36,62	
$p = 0,2 \text{ MPa}$	36,80	36,28	36,20	36,25	36,25	$\bar{x} = 36,23$ $s = 0,1736$
	35,95	36,27	36,17	36,50	36,28	
	36,35	36,27	36,30	35,95	36,28	
	36,25	36,10	35,97	36,18	36,15	
	36,35	36,19	36,00	36,22	36,20	

Příloha 6 / pokračování /

2. Kyvadlo z svislé polohy ( $\alpha = 180^\circ$ )

$p = 0,5 \text{ MPa}$	29,30	29,67	29,60	29,46	29,48	$\bar{x} = 29,49$ $s = 0,1341$
	29,80	29,55	29,56	29,71	29,45	
	29,25	29,45	29,70	29,35	29,27	
	29,40	29,47	29,41	29,52	29,47	
	29,40	29,57	29,55	29,49	29,40	
$p = 0,4 \text{ MPa}$	28,70	28,65	28,65	28,62	28,65	$\bar{x} = 28,63$ $s = 0,0738$
	28,80	28,57	28,68	28,60	28,65	
	28,55	28,53	28,59	28,59	28,71	
	28,58	28,61	28,85	28,57	28,58	
	28,60	28,60	28,57	28,68	28,58	
$p = 0,3 \text{ MPa}$	28,40	28,45	28,20	28,27	28,95	$\bar{x} = 28,23$ $s = 0,1551$
	28,50	28,30	28,18	28,30	28,10	
	27,85	28,35	28,22	28,31	28,18	
	27,97	28,40	28,25	28,27	28,28	
	28,00	28,15	28,31	28,29	28,17	
$p = 0,2 \text{ MPa}$	28,25	27,89	27,95	27,85	27,85	$\bar{x} = 27,90$ $s = 0,1303$
	27,65	27,79	27,89	27,88	27,69	
	27,75	27,87	27,91	27,91	27,90	
	27,90	27,73	28,12	27,95	27,93	
	27,95	27,92	28,15	27,88	27,97	

Příloha 7 :

NAMĚŘENÉ HODNOTY DOBY PRŮLETU ČELA TLAKOVÉ VLNY  
VZDUCHU KONFUZOREM / BEZ ÚTKU /  $\Delta t_{vz}$  (ms)

1. Kyvadlo z vodorovné polohy ( $\alpha = 90^\circ$ )

$p = 0,5 \text{ MPa}$	24,70	24,62	24,35	24,47	24,50	$\bar{x} = 24,44$ $s = 0,1115$
	24,65	24,65	24,37	24,40	24,35	
	24,30	24,31	24,60	24,40	24,40	
	24,45	24,40	24,40	24,35	24,42	
	24,35	24,42	24,45	24,37	24,37	
$p = 0,4 \text{ MPa}$	26,70	27,20	27,25	27,45	27,58	$\bar{x} = 27,42$ $s = 0,2314$
	27,95	27,57	27,20	27,47	27,60	
	27,55	27,60	27,38	27,30	27,45	
	27,57	27,57	27,35	27,35	27,46	
	27,00	27,45	27,50	27,45	27,57	
$p = 0,3 \text{ MPa}$	33,55	33,58	33,45	33,47	33,55	$\bar{x} = 33,46$ $s = 0,2150$
	33,10	33,55	33,45	33,55	33,46	
	33,90	33,10	33,50	33,60	33,45	
	33,15	33,00	33,47	33,80	33,70	
	33,20	33,25	33,44	33,66	33,50	
$p = 0,2 \text{ MPa}$	44,95	44,25	43,96	44,25	43,80	$\bar{x} = 43,97$ $s = 0,3861$
	43,90	43,97	43,89	44,30	43,90	
	43,25	43,80	43,85	43,89	43,50	
	43,35	44,00	43,90	43,86	43,55	
	44,20	44,50	43,88	43,85	43,70	

Příloha 7 / pokračování /

2. Kyvadlo ze svislé polohy ( $\alpha = 180^\circ$ )

$p = 0,5 \text{ MPa}$	25,90	26,10	26,25	26,22	26,15	$\bar{x} = 26,11$ $s = 0,1374$
	26,35	26,15	26,15	26,30	26,25	
	25,95	25,98	26,17	26,35	26,17	
	25,97	25,97	26,30	26,15	25,99	
	25,99	25,95	25,97	25,97	26,11	
$p = 0,4 \text{ MPa}$	29,35	29,77	29,69	29,77	29,60	$\bar{x} = 29,71$ $s = 0,1379$
	29,65	29,67	29,71	29,74	29,70	
	30,15	29,70	29,78	29,40	29,73	
	29,70	29,79	29,80	29,73	29,75	
	29,75	29,65	29,75	29,75	29,70	
$p = 0,3 \text{ MPa}$	35,65	35,00	35,35	35,33	35,25	$\bar{x} = 35,35$ $s = 0,1574$
	35,60	35,40	35,37	35,38	35,32	
	34,90	35,42	35,50	35,37	35,45	
	35,30	35,37	35,55	35,15	35,31	
	35,35	35,30	35,38	35,38	35,37	
$p = 0,2 \text{ MPa}$	47,00	47,75	47,65	47,67	48,00	$\bar{x} = 47,66$ $s = 0,3511$
	47,15	47,80	47,55	47,78	47,90	
	48,60	47,65	46,90	47,65	47,69	
	47,80	47,70	47,58	47,72	47,76	
	48,10	47,77	47,58	47,00	47,75	

Příloha 8

NAMĚŘENÉ HODNOTY PROHOZENÝCH DÉLEK ÚTKU V ZÁVISLOSTI NA  
PROHOZNÍM TLAKU VE VZDUŠNÍKU  $l$  (mm)

1. Útkový materiál : ba 28 tex

Výchylka kyvadla k otevření ventilu trysky  $\alpha = 90^\circ$

$p = 0,10 \text{ MPa}$	1380	1270	1255	1240	1170	$\bar{x} = 1260,0$ $s = 46,54$
	1280	1280	1255	1260	1240	
	1280	1320	1255	1220	1255	
	1335	1310	1240	1180	1210	
	1245	1290	1210	1220	1300	
$p = 0,15 \text{ MPa}$	1630	1700	1720	1780	1730	$\bar{x} = 1757,60$ $s = 57,43$
	1800	1740	1750	1790	1880	
	1850	1660	1800	1840	1750	
	1730	1810	1780	1720	1700	
	1820	1760	1710	1750	1740	

Příloha 8  
/ pokračování /

2. Útkový materiál : ba 38,5 tex x 2.

Výchylka kyvadla k otevření ventilu trysky  $\alpha = 90^\circ$

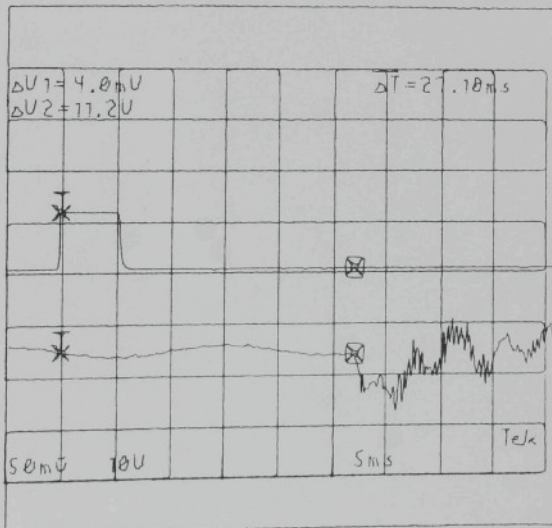
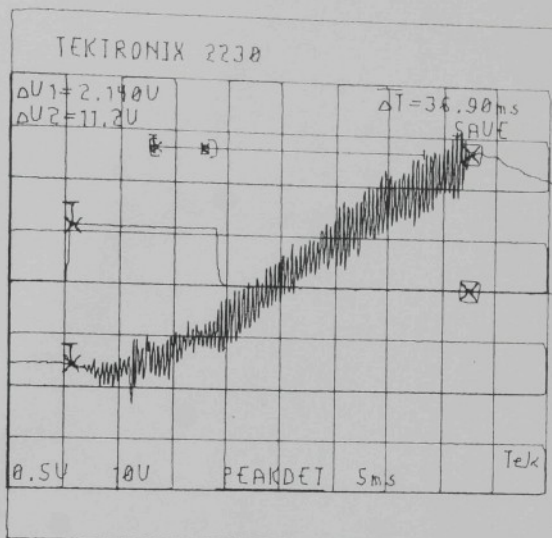
$p = 0,15 \text{ MPa}$	1060	1090	1090	1030	1110	$\bar{x} = 1115,20$ $s = 54,06$
	1190	1100	1130	1220	1090	
	1130	1140	1155	1080	1120	
	1120	1120	990	1150	1165	
	1070	1200	1180	1030	1120	
$p = 0,20 \text{ MPa}$	1520	1470	1470	1350	1440	$\bar{x} = 1441,0$ $s = 56,04$
	1480	1450	1390	1390	1430	
	1560	1440	1330	1430	1530	
	1510	1455	1430	1360	1370	
	1460	1455	1440	1480	1395	
$p = 0,25 \text{ MPa}$	1740	1700	1710	1720	1750	$\bar{x} = 1756,40$ $s = 58,85$
	1760	1770	1700	1800	1800	
	1820	1740	1640	1850	1870	
	1680	1740	1800	1700	1750	
	1780	1750	1670	1810	1860	

Příloha 8  
/ pokračování /

3. Útkový materiál : ba 82 tex

Výchylka kyvadla k otevření ventilu trysky  $\alpha = 90^\circ$

$p = 0,25 \text{ MPa}$	1160	1250	1230	1210	1210	$\bar{x} = 1194,8$ $s = 53,30$
	1220	1100	1280	1200	1200	
	1150	1170	1170	1280	1290	
	1080	1140	1190	1150	1120	
	1250	1180	1200	1230	1210	
$p = 0,30 \text{ MPa}$	1490	1400	1420	1420	1430	$\bar{x} = 1433,6$ $s = 52,68$
	1500	1410	1470	1370	1520	
	1440	1430	1530	1400	1310	
	1450	1450	1460	1350	1370	
	1470	1430	1510	1400	1410	
$p = 0,35 \text{ MPa}$	1770	1760	1780	1740	1635	$\bar{x} = 1733,0$ $s = 59,04$
	1860	1690	1740	1740	1720	
	1800	1680	1760	1710	1745	
	1740	1750	1660	1690	1610	
	1740	1650	1710	1830	1815	



Ukázky záznamů signálu z piezoelektrického a štěrbinového snímače z paměti osciloskopu TEKTRONIX 2230.

- + První je záznam signálů k měření doby otevření ventilu trysky pro podmínky  $p = 0,40 \text{ MPa}$ ,  $\alpha = 90^\circ$ .
- + Druhý je záznam signálů k měření doby průletu čela tlakové vlny vzduchu konfuzorem pro podmínky  $p = 0,40 \text{ MPa}$ ,  $\alpha = 90^\circ$ .